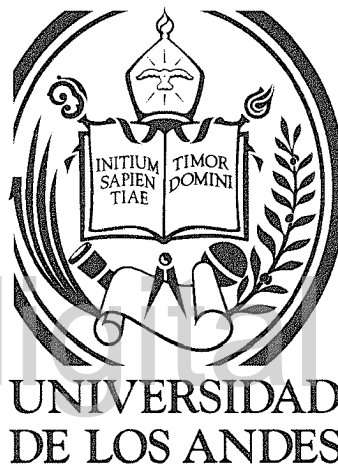


QA76.76
D47L4

**Desarrollo de una Herramienta Libre para la Simulación
Rigurosa de Columnas de Destilación en Estado
Estacionario**



www.biblioteca.ula.ve

Gustavo A. León Díaz

Facultad de Ingeniería, Postgrado de Ingeniería Química
Universidad de Los Andes

Trabajo presentado como requisito parcial para obtener el grado de

Magister Scientiae

Junio 2014

Resumen

Desde el punto de vista de la ingeniería química, se puede decir que La Simulación es una técnica para evaluar en forma rápida un proceso químico con base en una representación del mismo mediante modelos matemáticos para tener un mejor conocimiento de su comportamiento. La solución de estos modelos se lleva a cabo por medio de programas de computadora denominados simuladores de procesos que facilitan la evaluación, control y optimización, especialmente en el caso de procesos complejos tal como los que se encuentran en la industria petrolera. No obstante, los simuladores de proceso utilizados actualmente se adquieren a través de una autorización formal con carácter contractual denominada licencia, teniendo solo el derecho a ejecutar el simulador bajo ciertas condiciones, comúnmente fijadas por el proveedor. Este tipo de licencias implican por lo general restricciones ya sea para su uso, estudio, modificación y/o distribución, por lo que el desarrollo del simulador depende totalmente de la empresa propietaria. Ante esta situación, se identificó DWSIM, un software bajo Licencia Pública General versión 3 (GPL v3, por sus siglas en inglés) para la simulación de procesos químicos, que cuenta con una estructura tecnológica y funcional semejante a los simuladores comerciales existentes. Por ser un programa con licencia libre, a diferencia de los programas propietario, respeta la libertad de los usuarios sobre el simulador y, por tanto, una vez obtenido puede ser usado, copiado, estudiado, modificado y redistribuido libremente. Además DWSIM posee una arquitectura flexible que permite incorporar componentes de terceros utilizando los estándares abiertos para simulación de procesos químicos CAPE-OPEN. Con el soporte de la libertad de modificación de código que brinda la licencia de DWSIM y su compatibilidad con los estándares abiertos CAPE-OPEN. En el presente estudio se logró su adaptación para el modelado de columnas de destilación en estado estacionario. Para su validación se utilizaron tanto datos experimentales disponibles en la literatura como datos operacionales de unidades de destilación de la industria petrolera nacional. En ambos casos los resultados obtenidos se mostraron en concordancia con los datos de validación obteniéndose porcentajes de desviación por debajo del 5%.

Palabras Clave: Simulación de procesos, Destilación, CAPE-OPEN , Software Libre, DWSIM

A mi esposa *Claudina*, quien es impulso y el pilar principal de mi vida y carrera. Amiga, consejera, compañera, guerrera inseparable. Fuente de sabiduría, calma y consejo en todo momento. quien a pesar de las distancias momentáneas siempre me ha brindado su apoyo constante y amor incondicional.

A mi hermana Ysabel , por ser ejemplo de lucha, voluntad y éxito le hago el honor de este logro.

A mi sobrino Salvador, que Dios lo tenga en su gloria, angelito que encendió la vida de alegría.

www.bdigital.ula.ve

Agradecimientos

A mis padres Ligia y Felipe, las personas que me dieron la oportunidad de vivir y que con su gran sabiduría y amor me han llevado a ser lo que soy.

A mi Amada Esposa Claudina, por su amor, paciencia y motivación a lo largo de estos años de vida que hemos compartido.

A la Ilustre Universidad de Los Andes, por brindarme la oportunidad de realizar mis estudios de postgrado, para llevar a cabo el presente trabajo especial de grado.

A Daniel Wagner, por su incondicional ayuda y brindarme la oportunidad de formar parte del gran proyecto de DWSIM.

A César Pernalete, que con su gran apoyo, experiencia y consejos, colaboró de manera importante a la elaboración del presente trabajo especial de grado,

A mi primo Javier Rincón, por siempre creer siempre en mi y su excelente apoyo en el camino de ser un mejor programador.

Al personal de las Gerencias de RIRF y RIVC de Intevep Norte 3 Piso 4, por hacerme sentir como uno más del equipo.

A La Profesora Yezabel Rivera, por su orientación, su apoyo incondicional y consideración.

A Mis Compañeros de Postgrado Yanira, Aram, Glenda por su gran apoyo y ayuda con quienes compartí una vida post-universitaria llenas de excelentes y gratas experiencias.

A Marbeth le agradezco enormemente su maravillosa y excelente atención, calidez humana y comprensión desde el inicio de mis estudios de postgrado.

A Luís, Anggy, Deivis y Jorge por ser parte significativa en mi estadía en Los Téques, y por haber hecho el papel de familia, gracias por su apoyo y amistad.

Índice General

| | |
|---|-----------|
| Índice General | IV |
| Índice de Figuras | VI |
| Índice de Tablas | VIII |
| 1. Introducción | 1 |
| 1.1. La Simulación en la Ingeniería Química | 2 |
| 1.2. El Simulador de Procesos | 4 |
| 1.2.1. Reseña Histórica | 4 |
| 1.2.2. Clasificación de los Simuladores | 6 |
| 1.2.3. Arquitectura general de un simulador de procesos y CAPE-OPEN | 11 |
| 1.3. Simulación del Proceso de Destilación | 14 |
| 1.4. Objetivos y Alcance de esta tesis | 16 |
| 1.5. Estructura de la Tesis | 17 |
| 2. Modelado y Simulación del Proceso de Destilación | 19 |
| 2.1. Descripción del Modelo de Columna | 19 |
| 2.1.1. Modelo de Etapa de Equilibrio | 19 |
| 2.1.2. Ecuaciones MESH | 22 |
| 2.1.3. Grados de Libertad | 24 |
| 2.2. Métodos Rigurosos de Columnas de Destilación | 25 |
| 2.2.1. Clasificación de Los Métodos Rigurosos | 27 |
| 2.3. Método INSIDE-OUT de Russell (1983) | 35 |
| 2.3.1. Ecuaciones MESH para el método <i>Inside-Out</i> | 37 |
| 2.3.2. Modelos aproximados de propiedades termodinámicas | 39 |
| 2.3.3. Algoritmo <i>Inside-Out</i> | 41 |

| | |
|---|------------|
| 3. Arquitectura del Simulador de Procesos DWSIM | 49 |
| 3.1. Vista Arquitectónica General | 50 |
| 3.2. Arquitectura del Ejecutivo del Simulador | 52 |
| 3.2.1. Diagrama de Clases del Ejecutivo del Simulador | 52 |
| 3.2.2. Diagrama de Objetos de Columna de Destilación | 55 |
| 3.3. Breve Descripción del Código Fuente de DWSIM | 58 |
| 4. Casos de Estudio | 62 |
| 4.1. Casos de Estudio de Literatura | 62 |
| 4.2. Casos de Estudio Operacionales | 69 |
| 5. Conclusiones y Recomendaciones | 78 |
| Referencias Bibliográficas | 80 |
| A. Métodos Numéricos | 85 |
| A.1. Método de Matriz Tridiagonal | 85 |
| A.2. Método de Newton-Raphson | 88 |
| B. Diagramas de Actividades del Método Inside-Out Russell (1983) | 91 |
| B.1. Diagramas de Actividades Capa-A | 91 |
| B.2. Diagramas de Actividades Capa-B | 93 |
| B.3. Diagramas de Actividades Capa-C | 97 |
| B.4. Diagramas de Actividades Capa-D | 105 |
| B.5. Diagramas de Actividades Capa-E | 109 |
| C. Diagrama de Clases de DWSIM 3 | 111 |
| D. Tablas de Valores para Gráficas de Paridad de Simulaciones | 112 |
| D.1. Caso de Literatura 6 | 113 |
| D.2. Casos Operacionales | 114 |
| E. Archivos de Código Fuente Modificados de DWSIM | 116 |
| E.1. Archivo <i>Script parcial RigorousColumn.vb</i> | 116 |
| E.2. Archivo <i>Script parcial RigorousColumnSolver.vb</i> | 125 |

Índice de Figuras

| | |
|--|----|
| 1.1. El nuevo paradigma de la Ingeniería de Procesos: La simulación como actividad principal en investigación y desarrollo, diseño y operación | 3 |
| 1.2. Esquema general del modelo de unidad de operación | 8 |
| 1.3. Enfoque conceptual CAPE-OPEN | 13 |
| 1.4. Figura esquemática del proceso de destilación | 15 |
| 2.1. Diagrama conceptual de una etapa de equilibrio.(Wilson et al., 2000) | 20 |
| 2.2. Modelo generalizado para columna múltiples etapas (Seader et al., 2011) . | 21 |
| 2.3. Pasos involucrados en un método riguroso (Kister, 1992). | 26 |
| 2.4. Algoritmo de Método <i>BP</i> por Wang–Henke (Seader et al., 2011) | 29 |
| 2.5. Algoritmo del método <i>SR</i> de Burningham & Otto (Seader et al., 2011) . . | 31 |
| 2.6. Incorporación de correlaciones termodinámicas en bucles interactivos (Seader et al., 2011) | 36 |
| 2.7. Selección de variables de iteración para distintas configuraciones | 43 |
| 2.8. Diagrama de flujo general del algoritmo INSIDE-OUT de RUSSELL (1983) . | 47 |
| 3.1. Arquitectura General de DWSIM | 51 |
| 3.2. Diagrama de Clases Simplificado de DWSIM | 54 |
| 3.3. Clase DistillationColumn | 56 |
| 3.4. Instantánea fotográfica del explorador de solución para DWSIM 3 en <i>SharpDevelop 4</i> | 59 |
| 3.5. Localización de archivos <i>Scripts RigorousColumn.vb</i> y <i>RigorousColumnSolver.vb</i> dentro del proyecto DWSIM del código fuente | 60 |
| 4.1. Comparación Temperaturas para Casos de Literatura | 64 |
| 4.2. Comparación Flujos de Calor para Casos de Literatura | 64 |
| 4.3. Número de Iteraciones de Casos de Literatura | 66 |
| 4.4. Diagramas de paridad de las fracciones molares de productos del caso literatura 6 | 68 |

| | |
|---|----|
| 4.5. Instantánea fotográfica de ventana de configuración del paquete termodinámico CAPE-OPEN TEA en DWSIM | 70 |
| 4.6. Diagramas de Paridad para Caso Operacional 1 Escenario 1 | 72 |
| 4.7. Diagramas de Paridad para Caso Operacional 1 Escenario 2 | 73 |
| 4.8. Diagramas de Paridad para Caso Operacional 2 | 76 |

www.bdigital.ula.ve

Índice de Tablas

| | |
|---|-----|
| 1.1. Ventajas y desventajas de los simuladores de procesos globales u orientados a ecuaciones | 6 |
| 1.2. Ventajas y desventajas de los simuladores de procesos secuenciales modulares | 8 |
| 1.3. Ventajas y desventajas de los simuladores de procesos químicos bajo licencia privativa | 10 |
| 1.4. Ventajas y desventajas de los simuladores de procesos químicos bajo licencia libre | 11 |
| 2.1. Clasificación de los Métodos Rigurosos de Resolución (King, 1980) | 28 |
| 2.2. Funciones Alternas para H_1 y H_N | 39 |
| 3.1. Funciones de las clases que interactúan con <i>DistillationColumn</i> | 57 |
| 3.2. Métodos miembro de la clase RUSSELLMETHOD | 58 |
| 4.1. Características de Casos de Estudio de Literatura | 63 |
| 4.2. Perfiles de flujos de componentes para productos de tope y fondo | 65 |
| 4.3. Características de Caso de Estudio Operacional 1 | 71 |
| 4.4. Porcentajes de desviación de variables para Caso Operacional 1 | 74 |
| 4.5. Características de Caso de Estudio Operacional 2 | 75 |
| 4.6. Porcentajes de desviación de variables para Caso Operacional 2 | 77 |
| D.1. Valores de fracciones molares para caso de literatura 6 | 113 |
| D.2. Valores de fracciones molares para caso operacional 1 escenario 1 | 114 |
| D.3. Valores de fracciones molares para caso operacional 1 escenario 1 | 115 |
| D.4. Valores de fracciones másicas para caso operacional 2 | 115 |

Capítulo 1

Introducción

Los procesos químicos en la industria petrolera, como tecnologías destinadas al procesamiento del petróleo y sus derivados, poseen un grado de complejidad alto en comparación con los procesos de otras industrias químicas (Luque & Vega, 2005). Los procesos en la industria petrolera se han diseñado de acuerdo a las características de los crudos disponibles en el mercado y las especificaciones de calidad de sus productos. En cuanto a las propiedades de los crudos, es bien conocido el decrecimiento de la disponibilidad mundial de petróleo convencional, trayendo como consecuencia la necesidad de considerar crudos con mayor viscosidad, densidad, heteroátomos y compuestos de alto peso molecular. Por esta razón se hace indispensable la utilización de nuevos procesos de tratamiento y transformación para satisfacer la demanda y cumplir con los estándares de calidad de producto (PDVSA, 2005; MathPro, 2011).

Debido a los nuevos desafíos que se presentan con este tipo de crudo, especialmente en el depósito, transporte y procesamiento, a causa de sus propiedades fisicoquímicas (Speight, 2008), la disponibilidad de herramientas que faciliten el diseño, evaluación y optimización de estos procesos es imperativa. Una de estas herramientas son los simuladores de procesos químicos, los cuales ahorran considerablemente el tiempo en cálculos prolongados y repetitivos, considerando así a la simulación de procesos una actividad fundamental en la ingeniería de procesos químicos (Dimian, 2003). Un caso de estudio concreto y típico en la industria petrolera, es el modelado y simulación de columnas de destilación, teniendo en cuenta a la destilación como una de las operaciones más importantes en la industria petrolera, tanto en el acondicionamiento previo de los crudos como en la separación de los productos obtenidos en refinerías.

Los simuladores de uso general en ingeniería de procesos, cuentan con las funcionalidades y características necesarias para el análisis de columnas de destilación mediante la configuración de diagramas de flujo de proceso y las operaciones unitarias que las conforman (Finlayson, 2006). No obstante, los simuladores utilizados actualmente en la in-

dustria petrolera nacional se adquieren a través de una autorización formal con carácter contractual denominada licencia mediante un pago recurrente, teniendo solo el derecho a ejecutar el *software* bajo ciertas condiciones, comúnmente fijadas por el proveedor. Este tipo de licencias establecen por lo general restricciones de uso, estudio, modificación o de distribución (Abella et al., 2003).

En este sentido al presentarse dificultades técnicas en relación con el modelado y simulación de columnas de destilación en función de nuevos requerimientos a nivel nacional e internacional, y dada las restricciones mencionadas, se incurre en la dependencia hacia fabricante del *software* a responder por una solución, lo que constituye un obstáculo a la industria para profundizar en los aspectos técnicos de la herramienta, limitando la incorporación de funcionalidades o mejoras orientadas a la representación más exacta de esta operación unitaria.

En este trabajo se propone desarrollar una herramienta para la simulación rigurosa de columnas de destilación en estado estacionario a partir de un *software* para la simulación de procesos químicos denominado DWSIM, aprovechando principalmente, su característica de código abierto bajo la Licencia Pública General de GNU y en segundo lugar, su compatibilidad con los estándares de interfaz CAPE-OPEN, un conjunto disponible de estándares que permite la comunicación entre componentes de *software* de ingeniería química.

1.1. La Simulación en la Ingeniería Química

Partiendo del concepto de simulación desde el punto de vista de la ingeniería química, los sistemas considerados son los procesos físicoquímicos, en este sentido se define la simulación como una técnica para evaluar en forma rápida un proceso químico con base en una representación del mismo mediante modelos matemáticos para tener un mejor conocimiento de su comportamiento. La solución de estos modelos se lleva a cabo por medio de programas de computadora debido al número de variables involucradas y la no linealidad de estos modelos, las cuales se reflejan en las ecuaciones de balance de materia y energía (Martínez, 2000; Braunschweig & Gani, 2002).

En los últimos años debido a los avances en la tecnología de la información, la simulación de procesos ha tenido un impacto significativo en la ingeniería química, tanto que ésta ha llegado a ser una técnica de apoyo imprescindible para la solución adecuada de los problemas en la ingeniería de procesos. De esta forma se creó un nuevo paradigma donde la simulación está involucrada en todas las etapas del ciclo de vida de un proceso, desde los experimentos de laboratorio preliminares, durante el escalado a diferentes niveles, hasta finalmente el diseño del proceso y operación de una planta. La Figura 1.1 ilustra este

nuevo enfoque colocando a la simulación en el centro de las tres actividades principales de ingeniería de procesos.

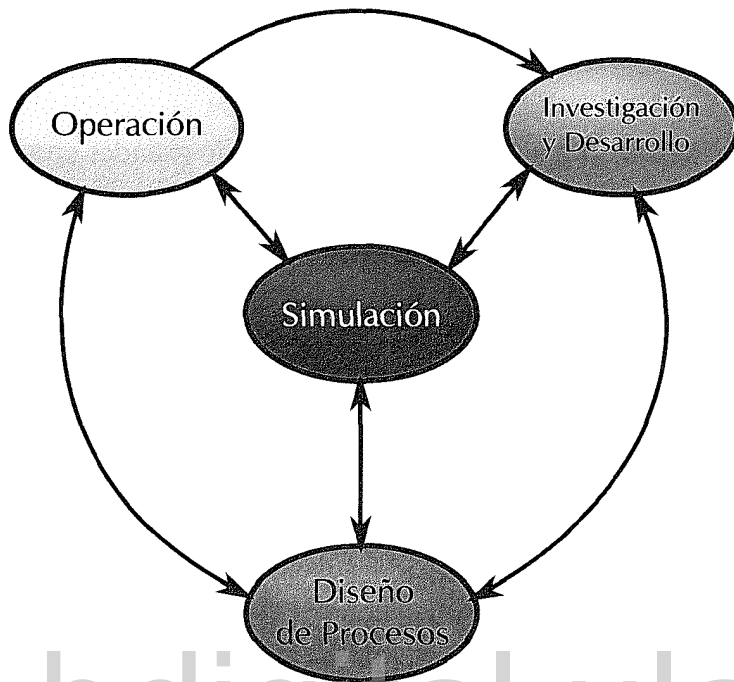


Figura 1.1: El nuevo paradigma de la Ingeniería de Procesos: La simulación como actividad principal en investigación y desarrollo, diseño y operación

Fuente: Dimian (2003)

En el área de la investigación y desarrollo, en particular en el campo de la termodinámica. Los modelos incorporados en paquetes de simulación sacan partido de la investigación experimental. Por ejemplo, por un lado se pueden utilizar experimentos de Equilibrio Vapor-Líquido (EVL) en el laboratorio que proveen datos para la obtención de valores de los parámetros en formas matemáticas para la construcción de un modelo termodinámico. Así, los modelos resultantes se pueden usar en diversas aplicaciones, incluyendo cálculos de equilibrios químicos de reacción, que son importantes para el diseño de reactor químico y cálculos de equilibrio de fases, que se emplean en la destilación, extracción con disolventes y la cristalización (O'Connell & Haile, 2005). Por otra parte, las mediciones EVL industriales se pueden usar para calibrar los modelos termodinámicos incorporados en un simulador cuando la información experimental es limitada o no se encuentre disponible(Dimian, 2003).

Dentro del marco de diseño, se presentan los retos de diseñar los procesos con mayor eficiencia, flexibilidad y capacidad de respuesta a la dinámica del mercado. En este sentido,

la simulación de procesos trae contribuciones significativas en el desarrollo de nuevas tecnologías sostenibles con el objetivo de minimizar el uso de energía, materias primas, así como también la minimización de residuos y contaminantes y la mejora continua de las tecnologías existentes, por renovación y eliminación de cuellos de botella a nivel operacional (Martínez, 2000).

En el ámbito operacional, la llegada de la optimización en tiempo real y la fabricación integrada computarizada en la década de los noventa abrió grandes oportunidades para la aplicación de la simulación directamente en el proceso de fabricación. Además del control de proceso basado en modelos, podemos mencionar el mantenimiento preventivo de equipo de vigilancia sistemática del rendimiento del equipo. La integración de la fabricación con la cadena de suministro sólo se puede lograr mediante la creación de un sistema informático complejo, en el que la simulación juega un papel central (Braunschweig & Gani, 2002; Pernalete, 2013).

Aunado a esto es muy grande la variedad de aplicaciones de los simuladores de procesos, estos anteriormente estaban destinados a la ingeniería de procesos, ahora son manejados en ramas de ingeniería ambiental, seguridad industrial y distintos procesos de manufactura de productos cotidianos. Además, se emplean tanto para el estudio de la factibilidad técnica y económica en el desarrollo de un proyecto, así como también en la toma crítica de decisiones cuando se prueban diferentes opciones de procesos y condiciones de operación (Dimian, 2003; Martínez, 2000).

1.2. El Simulador de Procesos

La simulación de procesos químicos como técnica requiere de un programa de *software* denominado simulador de procesos. El simulador se puede definir como una aplicación de computador basadas en diagramas de flujo de proceso, vinculadas al cálculo de sus balances de materia y energía, partiendo de la descripción sistemática de sus corrientes de materia, energía y operaciones unitarias, con el objetivo de diseñar una nueva planta o evaluar una ya existente para mejorar su rendimiento (Martínez, 2000).

1.2.1. Reseña Histórica

Según Zeigler et al. (2000) el comienzo de los simuladores se encuentra en las universidades antes de los años 60. Sin embargo, los simuladores de procesos químicos surgieron a mediados de los años 60 con la comercialización de un *software* genérico para simular columnas de destilación en estado estacionario por parte de la compañía estadounidense *Simulation Science* el cual usaron para desarrollar *PROCESS*. Años más tarde *ChemShare*

presentó *DESIGN 2*, un programa para simular procesos de gas y petróleo. En ese momento la expansión de la industria de refinación y petroquímica motivó la llegada de los paquetes de computación (Dimian, 2003).

La crisis mundial de petróleo en 1973 estimuló el interés en la simulación de procesos con materias primas alternativas, como el carbón y la biomasa. El advenimiento de los sistemas de computación de alta velocidad impulsaron el negocio de pequeñas empresas especializadas en el modelado y la simulación de procesos. En líneas generales, la computación científica evolucionó a partir de los programas individuales hacia grandes paquetes diseñados como productos industriales (Luque & Vega, 2005).

Para los años 80 el cálculo científico llegó a su edad de oro, ya que se desarrollaron métodos que forman parte de los algoritmos utilizados en la actualidad. El lenguaje de programación *FORTRAN* se hizo muy popular entre los científicos y los ingenieros. Las simulaciones se ejecutaban a través de un terminal remoto en sistemas rápidos pero costoso. Más tarde, la entrada de datos se hizo posible mediante la edición de un archivo en una pantalla electrónica, en el cual se especificaban las instrucciones para la ejecución del trabajo denominado “*Keyword File*” (Babu, 2004).

La llegada de las estaciones de trabajo (1985), la adopción de la programación orientada a objetos y la disponibilidad de un nuevo sistema operativo multitarea, *UNIX*, dio origen a la revolución en la computación científica. Luego el dominio de la computadora personal (PC) a principios de 1990 y la relativa estabilización de los sistemas operativos, *LINUX* y *Windows*, permitieron el desarrollo de la nueva generación de *software* de simulación basada en interfaz gráfica de usuario. De esta manera se tendría disponible el poder de los antiguos superordenadores bajo un ambiente más manejable para los usuarios (Dimian, 2003). Los nuevos conceptos de ingeniería informática condujeron a interfaces amigables e incluso a algoritmos más potentes. Finalmente, el desarrollo de los ordenadores personales contribuyó a la rápida extensión de la simulación.

Así, las principales oficinas de ingeniería como algunas empresas y grandes compañías de refinación y petroquímica desarrollaron sus propios simuladores. Adoptando la arquitectura modular secuencial, tales como : *Hysys*, *Chemcad*, *Aspen Plus* y *PRO/II* . Sin embargo, algunos se basaron en el enfoque orientado a las ecuaciones, tal como *SPEEDUP* del Imperial College de Londres (Reino Unido) y *TISFLO DSM* en los Países Bajos.

No obstante, hoy en día la simulación de procesos químicos se concentra en muy pocos sistemas. Dar solución a esto implica una gran cooperación entre las empresas de *software* especializadas y la comunidad de usuarios aprovechando la tecnología de Internet (Dimian, 2003).

1.2.2. Clasificación de los Simuladores

Se han propuesto diferentes enfoques para clasificar los simuladores de proceso como el propuesto por Martínez (2000) y Torres & Castro (2002). Sin embargo, dichos enfoques en la literatura incluyen solamente a los simuladores privativos. A continuación se presenta una clasificación generalizada la cual incluye a los simuladores de procesos disponibles actualmente.

- Según su filosofía de cómputo

Los simuladores de procesos actuales se pueden clasificar según la estructura bajo la cual se plantea el modelo matemático que representa el proceso, dentro de esta clasificación se incluyen los siguientes tipos:

- Simuladores globales u orientados a ecuaciones (OE).

Bajo este enfoque, se plantea el modelo matemático del proceso construyendo un gran sistema de ecuaciones diferenciales, por lo general altamente no lineales. De esta forma el problema se traduce en resolver este gran sistema de ecuaciones algebraicas, siendo el más adecuado para la simulación dinámica (Luque & Vega, 2005). En la Tabla 1.1 se muestran las ventajas y desventajas de estos simuladores.

Tabla 1.1: Ventajas y desventajas de los simuladores de procesos globales u orientados a ecuaciones

| Ventajas | Desventajas |
|---|--|
| <ul style="list-style-type: none">• Entorno flexible para las especificaciones, que pueden ser entradas, salidas o variables internas de la unidad.• Es posible incorporar fácilmente las expresiones de restricción para definir problemas de optimización en forma directa, ya que basta solo con plantear las restricciones y la función de optimización.• Desaparece la distinción entre variables de proceso y parámetros operativos, por lo tanto se simplifican los problemas de diseño. | <ul style="list-style-type: none">• Mayor esfuerzo de programación por lo que resulta más difícil de desarrollar.• Dificultades en el manejo de grandes sistemas de ecuaciones, a mayor complejidad, menor confiabilidad en los resultados y dificultad de diagnóstico por parte del usuario en caso de error que produzca la falta de convergencia.• Tanto los modelos matemáticos como las rutinas para cálculo de propiedades termodinámicas deben ser ingresados por el usuario, resultando esto una tarea compleja y que debe ser llevada a cabo con sumo cuidado, de manera tal de ingresar en forma correcta todos los modelos matemáticos. |

- Simuladores Secuenciales Modulares (SM).

Los simuladores secuenciales modulares se basan en unidades de simulación que siguen consecutivamente como su nombre lo indica la misma secuencia que las operaciones unitarias reales, es decir, cada equipo: bomba, válvula, intercambiadores, columna de destilación, reactores entre otros; son representados a través de modelos específicos, coincidiendo además el sentido de la información con el “flujo físico” en la planta o proceso real, llevando a cabo una secuencia de cálculo unidad por unidad. Se puede decir que el elemento básico en un simulador modular es el modelo de la operación unitaria (Luque & Vega, 2005; Martínez, 2000; Scenna et al., 1999).

Los simuladores SM, involucran el dibujo del diagrama de flujo del proceso, el cual consiste en definir las corrientes de entrada y salida de materia y energía, seleccionar los modelos de operaciones unitarias de la biblioteca de la aplicación, y conectar dichas unidades junto a corrientes (materia, energía o información) y de esta manera producir una representación gráfica del problema de la simulación (Braunschweig & Gani, 2002).

Asociado con cada modelo de operación unitaria o unidad de cómputo, existe un conjunto de parámetros requeridos, específicos de cada equipo que representa; por ejemplo, en un mezclador, sería la proporción del flujo total en cada corriente de salida en los intercambiadores de calor, serán los coeficientes de transferencia de calor y en un reactor catalítico será la altura del lecho catalítico, entre otros parámetros que se deben colocar en orden correcto.

En resumen, una unidad de cómputo es en general cualquier conjunto de modelos matemáticos para calcular la información de salida a partir de la información de alimentación o de entrada suministrada (Figura 1.2); es decir, una unidad de cómputo es un modificador de información que recibe información de las corrientes de entrada, las modifica y las transmite a las corrientes de salida (Torres & Castro, 2002). Este enfoque se utiliza en la mayoría de los programas de simulación en estado estacionario. En la Tabla 1.2 se muestran las ventajas y desventajas de estos simuladores.

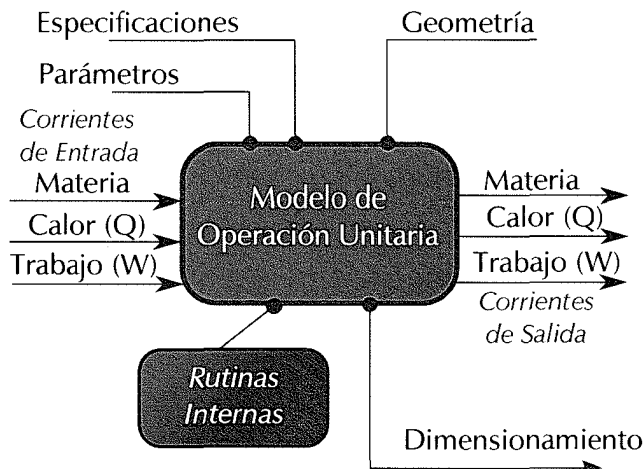


Figura 1.2: Esquema general del modelo de unidad de operación

Fuente: Dimian (2003)

Tabla 1.2: Ventajas y desventajas de los simuladores de procesos secuenciales modulares

| Ventajas | Desventajas |
|---|--|
| <ul style="list-style-type: none"> Los modelos de operaciones unitarias están a disposición del usuario bajo una biblioteca y la información ingresada por el usuario resulta fácil de chequear e interpretar. Posee un esquema simple de cómputo, es decir, se obtienen datos de salidas a partir de datos de entrada. | <ul style="list-style-type: none"> Dificultad para el tratamiento de secuencias de cálculo más complejas, como los bucles anidados o diagramas de flujo simultáneo, en otras palabras, procesos con muchas corrientes de recirculación. Los modelos de operaciones unitarias se deben codificar con sus rutinas de solución. Se requiere de un esfuerzo considerable para añadir o modificar los modelos, es necesario programar los cálculos adicionales según las especificaciones que se requieran. |

■ Simuladores híbridos o modular secuencial-simultáneo.

La estrategia de solución es una combinación de los enfoques secuencial-modular y orientado a ecuaciones. Los cálculos se realizan por niveles o capas, es decir, los modelos rigurosos se utilizan en un nivel de unidades, que se resuelven de forma secuencial, mientras que los modelos lineales se utilizan a nivel de diagrama de flujo, que se resuelve de forma global. Los modelos lineales se actualizan sobre la base de los resultados obtenidos con los modelos rigurosos.

El enfoque Secuencial-Modular mantiene una posición dominante en la simulación en estado estacionario y el enfoque orientado a ecuaciones ha demostrado su potencial en la simulación dinámica y optimización en tiempo real. La solución para las futuras generaciones de simuladores parece ser una fusión de estas estrategias.

- Según su licenciamiento

Una licencia de *software* es un contrato entre el licenciante (autor/titular de los derechos de explotación/distribuidor) y el licenciatario del programa informático (usuario consumidor /usuario profesional o empresa), para utilizar el *software* cumpliendo una serie de términos y condiciones establecidas dentro de sus cláusulas (Abella et al., 2003).

Las licencias de *software* pueden establecer entre otras cosas, la cesión de determinados derechos del propietario al usuario final sobre una o varias copias del programa informático, los límites en la responsabilidad por fallos, el plazo de cesión de los derechos, el ámbito geográfico de validez del contrato e incluso pueden establecer determinados compromisos del usuario final hacia el propietario, tales como la no cesión del programa a terceros o la no re-instalación del programa en equipos distintos al que se instaló originalmente.

- Simuladores de Proceso bajo Licencia Privativa

Dentro de esta categoría se encuentran los denominados simuladores comerciales y/o propietarios. Existe una gran variedad de simuladores de procesos bajo este tipo de licencia, los cuales presentan poderosos motores de cálculo con enormes bases de datos y un fuerte respaldo de bibliotecas para el cálculo riguroso y modelos termodinámicos. Las empresas que desarrollan este tipo de *software* son por lo general grandes y dedican muchos recursos, sobretodo económicos, en su desarrollo e investigación. Debido a este esfuerzo, y bajo la justificación de maximizar ganancias monetarias las empresas toman la decisión de restringir ciertos derechos al licenciatario entre ellos el más resaltante, el acceso al código fuente con la razón de proteger sus intereses (Culebro et al., 2006).

Tabla 1.3: Ventajas y desventajas de los simuladores de procesos químicos bajo licencia privativa

| Ventajas | Desventajas |
|---|---|
| <ul style="list-style-type: none"> Las compañías productoras de un simulador privativo por lo general poseen departamentos de control de calidad que llevan a cabo muchas pruebas sobre el software que producen. Existen simuladores privativos diseñados para aplicaciones de procesos químicos muy específicas. Tales como procesos de destilación reactiva. Existen compañías que destinan una parte importante de los recursos a la investigación sobre la usabilidad del simulador que producen. Por lo que usualmente los simuladores poseen interfaces gráficas elaboradas que permite al usuario hacer una simulación de procesos de manera muy fácil y rápida. | <ul style="list-style-type: none"> Cursos de aprendizaje costosos. Es difícil aprender a utilizar eficientemente el simulador sin haber asistido a costosos cursos de capacitación. Por lo general, no permiten que sea modificado, desensamblado, copiado o distribuido de formas no especificadas en la propia licencia. En muchos casos resulta arriesgada la utilización de un componente cuyo funcionamiento se desconoce y cuyos resultados son impredecibles, esto motiva a que en algunas circunstancias se desconfíe del software. Además de que es imposible encontrar la causa de un resultado erróneo, más allá de los mensajes de advertencia de que pude desplegar el simulador. El costo de las licencias generalmente es muy elevado y puede oscilar entre los (5000 a 15000 USD/año). El costo usualmente se calcula en función de la cantidad de computadoras en las que el simulador será ejecutado, la envergadura de dichas máquinas (cantidad de procesadores) y la cantidad de usuarios que accederán al mismo. Es ilegal y/o costosa la adaptación de un módulo nativo del simulador a necesidades particulares. Se requiere permiso expreso del titular del software. En caso de que el permiso se conceda, es necesario pagar una elevada suma de dinero. El soporte de la aplicación depende totalmente de la empresa que distribuye y desarrolla el simulador o de representantes certificados la empresa. El usuario se vuelve dependiente de una tecnología que no comprende de fondo, ya que está habilitado para ejecutar el simulador, pero no para inspeccionarlo ni modificarlo, y entonces no puede aprender de él. |

■ Simuladores bajo Licencia Libre

Denominándose también simuladores libres o de código abierto. Están licenciados de tal manera que los usuarios no tengan ningún tipo de restricciones, respetando la libertad de los usuarios sobre el simulador y, por tanto, una vez obtenido, puede ser usado, copiado, estudiado, modificado, y redistribuido libremente (Culebro et al., 2006).

Tabla 1.4: Ventajas y desventajas de los simuladores de procesos químicos bajo licencia libre

| Ventajas | Desventajas |
|--|---|
| <ul style="list-style-type: none"> • Garantizan una independencia con respecto al proveedor gracias a la disponibilidad del código fuente. Cualquier empresa o profesional, con los conocimientos adecuados, puede seguir ofreciendo desarrollo o servicios para la aplicación. • El usuario está habilitado para ejecutar el programa, inspeccionarlo y modificarlo, lo que permite aprender de él, a través de su código fuente. • El modelo de desarrollo se basa en compartir su código fuente. Esto permite el progreso del software a través de la cooperación comunitaria de usuarios finales, desarrolladores y empresas que pueden trabajar en conjunto para obtener un simulador de calidad. Además permite el desarrollo de nuevos productos sin la necesidad de crear todo el proceso desde cero. • El bajo o nulo costo permiten proporcionar a las pequeñas y medianas empresas desarrolladoras de software el fomento de la libre competencia al basar el negocio en servicios y no licencias. • El precio de adquisición de los simuladores suele ser mucho menor que sus contrapartidas privativas. • El hecho de que el código sea público hace que pueda ser observado y estudiado por muchos expertos proporciona mayor seguridad y fiabilidad. Esto se ha revelado como la forma más rápida y eficaz de encontrar errores que afectan la vulnerabilidad del simulador, pudiendo detectar fácilmente códigos maliciosos o transacciones de información no autorizadas. | <ul style="list-style-type: none"> • Actualmente no existen compañías únicas que respalden el desarrollo de la simulación de procesos libre, por lo que su desarrollo apenas está en maduración. • En algunos simuladores la interfaz gráfica suele estar menos desarrollada en cuanto a usabilidad y, por tanto, limita la interacción entre el simulador y los usuarios finales debido a la baja estabilidad. • Algunos simuladores de procesos no ofrecen garantía explícitas proveniente de los desarrolladores. |

1.2.3. Arquitectura general de un simulador de procesos y CAPE-OPEN

Los Simuladores difieren ampliamente en la arquitectura e implementación, pero todos tienen una funcionalidad común impuesta por las tareas de modelado subyacentes que abordan. Esta funcionalidad se puede resumir en términos de cuatro tipos de componentes clave conceptuales:

- El ejecutivo de simulación: Este componente es el núcleo del simulador, ya que controla la puesta en marcha y la ejecución de una simulación. Es responsable de instalar otros componentes, registrando en un repositorio, la gestión de las interacciones con los usuarios, el acceso y almacenamiento de datos, la presentación de informes y el análisis de los cálculos de simulación.

- Las operaciones unitarias: Estos componentes representan operaciones de la unidad de procesamiento físico (por ejemplo un mezclador o un intercambiador de calor) y, posiblemente puede realizar funciones especializadas tales como la realización de cálculos adicionales para apoyar a la optimización de procesos.
- Los paquetes de propiedades físicas: estos paquetes incluyen tanto propiedades termodinámicas y de transporte de materiales. Estos paquetes brindan al simulador la capacidad para modelar las propiedades y el comportamiento de los materiales que se utilizan o crean por el proceso químico.
- El solucionador numérico: Esto incluye tanto los métodos matemáticos especializados utilizados para evaluar las ecuaciones que describen un funcionamiento de la unidad de proceso y los métodos utilizados para evaluar el diagrama de flujo global del proceso.

A pesar de la existencia de potentes simuladores de proceso, los que se utilizan actualmente son aplicaciones monolíticas cerradas (Barrett et al., 2007). Éstos no brindan flexibilidad cuando se trata integrar nuevos componentes. Otro inconveniente de esta situación es que resulta un gran reto combinar módulos de diferentes proveedores en un solo simulador. Debido a estas contrariedades, existe una necesidad de la integración del proceso de modelado sobre una base más amplia. Así, se introduce un nuevo tipo de arquitectura de simuladores de procesos basada en estándares abiertos definidos en términos del diseño conceptual mencionado anteriormente.

La organización *CAPE-OPEN Laboratories Network* (CO-LaN), industria y asociación académica ha promovido desde el 2001 el uso de estándares en la interfaces de *software* de simulación de procesos denominados CAPE-OPEN, donde se definen un conjunto de reglas e interfaces libres de uso y sin propiedad que permiten crear componentes de *software* interoperables con distintas aplicaciones para simulación de procesos, los cuales permiten una comunicación estandarizada entre componentes de los simuladores (Pons, 2005).

La ventaja de los estándares CAPE-OPEN es que estos no solo son aplicables en más de un simulador de procesos, sino que se dirige a todos los simuladores de proceso que sean compatibles dichos estándares, creando una interoperatividad entre sistemas, evitando incompatibilidades. La definición de estos estándares se lleva a cabo mediante la colaboración de algunas empresas operadoras principales, proveedores de *software*, y universidades a nivel mundial, con el apoyo de la Unión Europea quienes tienen como visión final la de transformar el modelado de procesos en una actividad que consista en compartir un gran número de componentes de simulación. En este sentido los simuladores actualmente,

pueden diferenciarse bajo el criterio del cumplimiento con estos estándares, independientemente de la licencia a la cual estén sometidos (Dimian, 2003; CO-LaN, 1999).

Este tipo de arquitectura abierta puede ser beneficiosa para muchos simuladores. El objetivo específico del proyecto CAPE-OPEN se ha enfocado en herramientas generales para el modelado de procesos y, en particular, su utilización para la simulación en estado estacionario y dinámico (CO-LaN, 1999).

La arquitectura de *software* es un asunto de la informática. Sin embargo, como todo sistema complejo, el usuario debe ser consciente de los elementos principales. La Figura 1.3 presenta de forma gráfica el concepto de CAPE-OPEN. En este esquema se muestran las fronteras entre los diversos componentes que integran un simulador.

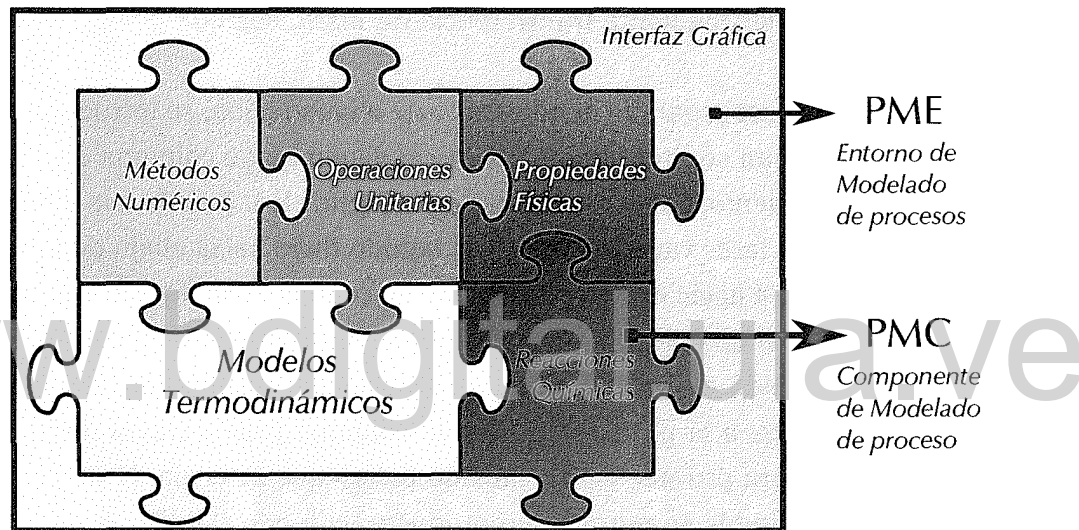


Figura 1.3: Enfoque conceptual CAPE-OPEN

Fuente: (Pernalete et al., 2012)

Resumiendo, los estándares CAPE-OPEN se crearon con la finalidad de que los componentes de modelado de procesos (PMC) sean utilizados en cualquier entorno de modelado de procesos (PME) que sea compatible con dichos estándares. Los PMC son básicamente piezas de software que están definidos para una función específica. La mayoría de sus aplicaciones son para: propiedades físicas, módulos de funcionamiento de una operación unitaria, solucionador numérico y herramientas de análisis del diagramas de flujo de proceso.

Por otro lado el PME consta de la interfaz gráfica y la funcionalidad necesaria para crear la red de modelo de procesos a partir de los PMC, quien se encarga de administrar dicha red basados en los datos de entrada suministrados por el usuario y de orquestar todas las

funciones que desempeñan cada uno de los PMC (Barrett & Yang, 2005; Pernaete et al., 2012).

1.3. Simulación del Proceso de Destilación

La destilación es una operación unitaria cuyo objetivo principal es el de separar mediante vaporización y condensación los diferentes componentes de una mezcla en dos o más fracciones, aprovechando la diferencia de los puntos de ebullición de cada uno de los componentes que la conforman (Kister, 1992; Martínez de la Cuesta & Rus, 2004). La destilación involucra el contacto entre las fases líquido y vapor que fluyen en contracorriente. Cada contacto, denominado etapa, consiste en una mezcla de fases para promover la rápida partición de las especies mediante transferencia de masa, seguida por una separación de fases.

El material que ha de ser separado denominado alimentación, se introduce en uno o más puntos a lo largo de un equipo cilíndrico vertical denominado columna de destilación o columna de fraccionamiento, como se muestra en la Figura 1.4. Debido a la diferencia en las propiedades entre las fases vapor y líquida, el líquido fluye hacia abajo de la columna, mientras que el vapor fluye hacia arriba, poniéndose en contacto con líquido en cada etapa. Este patrón de flujo global en una columna de destilación proporciona el contacto contracorriente de vapor y líquido en todas las etapas a través de la columna (Perry & Green, 2008). El líquido que llega a la parte inferior de la columna pasa a través de un rehervidor, donde se calienta para proveer vapor llamado *boilup* que se envía de nuevo hasta la columna, y el resto del líquido se retira como producto de fondo (Seader et al., 2011). El vapor que llega a la parte superior de la columna, donde se enfriá y se condensa parcial o totalmente en el condensador de tope. Parte de este líquido se devuelve a la columna como reflujo y El resto de este líquido se retira como destilado, o producto de tope.

Los componentes más ligeros (de menor punto de ebullición) tienden a concentrarse en la fase de vapor, mientras que los componentes más pesados (más alto punto de ebullición) tienden a hacer en la fase líquida (King, 1980). El resultado es una fase de vapor que se enriquece en componentes más ligeros y una fase líquida que se concentra más en componentes pesados a medida que viajan por la columna de destilación. La separación general entre el destilado y los fondos depende principalmente de las volatilidades relativas de los componentes, el número de etapas de contacto y la relación de la tasa de flujo de la fase líquida a la velocidad de flujo en fase vapor.

La energía requerida para separar la especie se añade en forma de calor al rehervidor, donde la temperatura es mayor. También, se elimina el calor desde el condensador, donde

la temperatura es más baja. Con frecuencia, esto da lugar a una gran demanda de energía y baja eficiencia global termodinámica (Perry & Green, 2008).

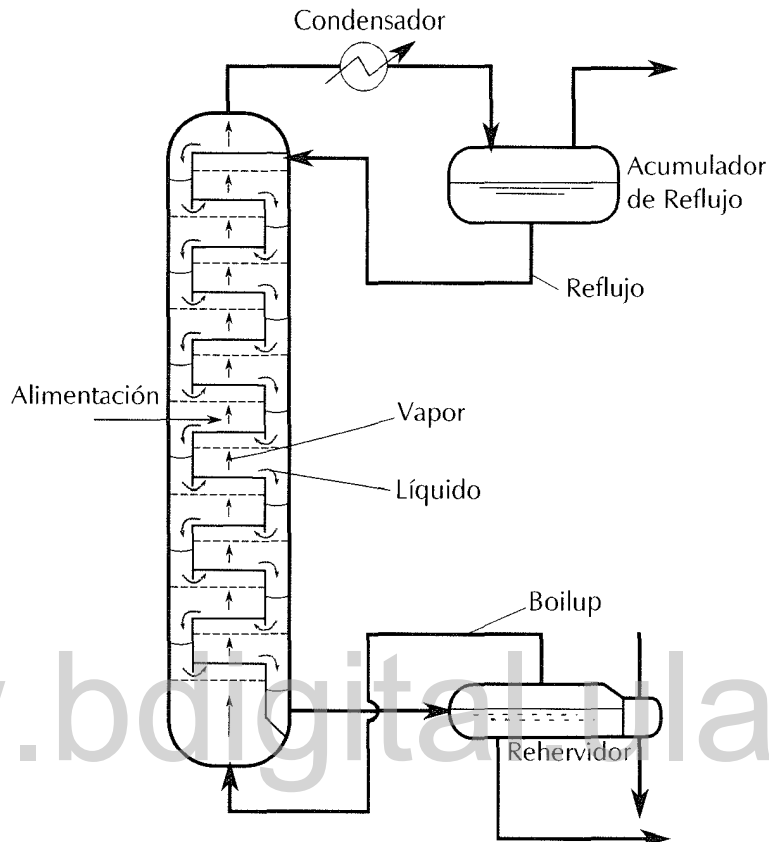


Figura 1.4: Figura esquemática del proceso de destilación

La destilación como operación unitaria es el proceso de separación más importante y común en la industria de procesos químicos, pues por su versatilidad es la tecnología dominante en las industrias químicas. Dicha operación se emplea en las industrias donde se requiere destilar grandes cantidades de fluidos. Entre estas se encuentran: las industrias de procesamiento de petróleo, producción petroquímica, procesamiento de gas natural, procesamiento de alquitrán de hulla, elaboración de cerveza, separación de aire licuado, y la producción de hidrocarburos y solventes industrias similares, pero que encuentra su mayor aplicación en refinerías de petróleo (Kister, 1992). La destilación está implementada en el 95 % de todos los procesos químicos en el mundo (por ejemplo más de 40000 columnas en USA, con una inversión de 8000 MM\$ y una energía equivalente a 54 Mton/año de crudo, es decir el 15 % del consumo industrial de energía en USA) (Luque & Vega, 2005). Lo que justifica que la destilación sea una de las operaciones unitarias más estudiadas en toda la historia de la industria química.

Específicamente en la industria del petróleo nacional, la importancia de la destilación se debe en parte al hecho de que afecta directamente la calidad de los productos obtenidos en refinería, las tasas de producción y la utilidad de los procesos. Por esta razón, la evaluación, control y optimización de estas operaciones es fundamental. Sin embargo, presenta inconvenientes para su análisis, requiriendo de rigurosos cálculos, donde los procedimientos de solución resultan difíciles y tediosos sin la ayuda de un computador. No obstante, una vez que éstos cálculos se programan para un ordenador digital de alta velocidad las soluciones son obtenidas rápidamente (Torres & Castro, 2002).

La simulación de unidades de destilación implica la solución del modelo que las representa. En este sentido, involucra la determinación de perfiles de temperatura, presión, flujos y composiciones de las corrientes, y las tasas de transferencia de calor en cada etapa mediante la resolución de las ecuaciones de balance de materia, energía, y las relaciones de equilibrio que modelan el comportamiento de la unidad de destilación. Una característica fundamental del modelo, es que debe ser capaz de representar los diversos tipos de esquemas que se puedan presentar para el proceso de destilación. En este sentido, la disponibilidad de una herramienta es fundamental. Detalles referente al modelado y simulación de estas unidades se darán en el Capítulo 2.

1.4. Objetivos y Alcance de esta tesis

Se propuso el desarrollo de una herramienta libre para la simulación rigurosa de columnas de destilación en estado estacionario, a partir de un simulador de procesos desarrollado bajo licencia libre y estándares abiertos, aprovechando la gran cantidad de funcionalidades que ya se encuentran disponibles en él. En este sentido se seleccionó DWSIM, un simulador de procesos químicos de código abierto compatible con los estándares CAPE-OPEN, y que cuenta con una interfaz gráfica de usuario (*GUI*), con la capacidad de simular los procesos de equilibrio vapor-líquido y vapor-líquido-líquido en estado estacionario, con los modelos termodinámicos y operaciones unitarias más comunes.

Por el hecho de tratarse de un simulador de procesos químico de código abierto, permitió su modificación para que sea adaptado en estos casos particulares de la industria petrolera nacional, gracias al hecho de que se dispone del código fuente y ninguna de las restricciones conocidas del *software* privativo. Este simulador ofrece la posibilidad de su uso extendido en un período de tiempo prolongado, al no requerir el pago de licencias y las consecuencias del bloqueo de su uso tal como sucede con los simuladores privativos. En este sentido, a través de este trabajo se pudo modificar una herramienta de simulación y

obtener un *software* lo suficientemente robusto y adecuado a casos particulares de procesos de destilación de Petróleos de Venezuela S.A (PDVSA).

Las investigaciones para el desarrollo de modelos de columnas de destilación han avanzado con la finalidad de reproducir el comportamiento del proceso real con la mayor exactitud posible (Eckert & Vaněk, 2001; Grossmann et al., 2005; Higler et al., 2004). Este trabajo se plantea desarrollar las rutinas de cálculo para la simulación de unidades de destilación multicomponente en estado estacionario basado en modelo de relaciones de etapas de equilibrio conectados a contracorriente, particularmente adecuado para la mayoría de las columnas de fraccionamiento.

Su codificación se realizó tomando en cuenta la arquitectura bajo la cual está desarrollada DWSIM, para luego verificar y validar la herramienta a través del análisis de dos tipos de casos de estudio :

1. Para el primero se utilizaron ejemplos de literatura y con estos comprobar la verificación del algoritmo implementado. En este caso se configuraron dichos ejemplos además bajo otros dos simuladores y se compararon los resultados obtenidos entre los distintos simuladores, considerando su reproducibilidad.
2. En el segundo se tomaron datos operacionales de unidades destilación con los cuales se realizó su modelado y simulación y de esta manera realizar la validación del modelo implementado.

1.5. Estructura de la Tesis

El capítulo 2, contiene una descripción de los métodos de solución de los modelos matemáticos para columnas de destilación en estado estacionario, considerando en detalle el algoritmo INSIDE-OUT de Russell (1983) como elemento esencial en la simulación de procesos de destilación.

El capítulo 3, trata sobre la arquitectura lógica del simulador de procesos DWSIM, acá se realiza una descripción general de su estructura interna, de los elementos que lo forman y de las interrelaciones entre ellos. Para poder llevar esto a cabo, fue necesario utilizar técnicas de Ingeniería Inversa, lográndose identificar las clases y métodos involucrados en la simulación de columnas de destilación para así incluir las modificaciones necesarias en el código fuente del simulador.

Seguidamente se presenta el capítulo 4 donde se discuten los resultados de los casos de estudio empleados para la verificación y depuración del código implementado, para comprobar que se han programado adecuadamente las estructuras de datos y algoritmos

del modelo que representa al proceso de destilación en estado estacionario, así como también la validación del modelo en base a datos operacionales reales del circuito nacional de refinación.

Continuando con el capítulo 5 se presentan las conclusiones obtenidas de la ejecución de este trabajo tanto de la implementación del algoritmo en DWSIM y también se plantean las recomendaciones respectivas.

www.bdigital.ula.ve

Capítulo 2

Modelado y Simulación del Proceso de Destilación

Para calcular o predecir el rendimiento de los sistemas de múltiples etapas, se efectúa el planteamiento de modelos y ecuaciones que relacionan las diversas variables que interactúan dentro de dicho sistema y, debido a la complejidad de las ecuaciones, la única forma práctica para resolver el modelo de forma rigurosa es por medio de algoritmos de solución implementados en programas de computadora (Khoury, 2005).

Este capítulo comienza con el desarrollo del modelo matemático empleado para la simulación de columnas de destilación en estado estacionario, basado en etapas de equilibrio de contacto vapor-líquido donde se incluyen las ecuaciones de balances de masa por componentes, equilibrio de fases, ecuaciones auxiliares y de balances de energía, comúnmente conocidas como las ecuaciones *MESH* (del inglés *Mass, Equilibrium, Summation, entHalpy*). Posteriormente se describen varias estrategias para resolver estas ecuaciones, que actualmente se encuentran implementadas en el simulador de procesos DWSIM, considerando principalmente el algoritmo *Inside-Out* para su desarrollo e implementación en DWSIM. Este algoritmo se caracteriza por ser el método de resolución más flexible y complejo, utilizado ampliamente en los simuladores de procesos comerciales para los casos de destilación multicomponente.

2.1. Descripción del Modelo de Columna

2.1.1. Modelo de Etapa de Equilibrio

El desarrollo y la aplicación de los modelos basados en el concepto de etapa de equilibrio para la destilación, ha sido objeto de estudio durante muchos años. Hasta hace poco, los procesos de transferencia de masa y energía en una columna de destilación real se con-

sideraban muy complicados para ser modelados de manera fácil y directa. Esta dificultad fue sobrellevada por el modelo de etapa de equilibrio, desarrollado por Sorel (1893). Este modelo conceptual (Figura 2.1) se fundamenta en suponer que los flujos de vapor y líquido que salen de cualquier etapa de la columna, se encuentran en equilibrio termodinámico, es decir que se consideran no tienen tendencia a alejarse de sus actuales condiciones definidas por su presión, temperatura y composiciones.

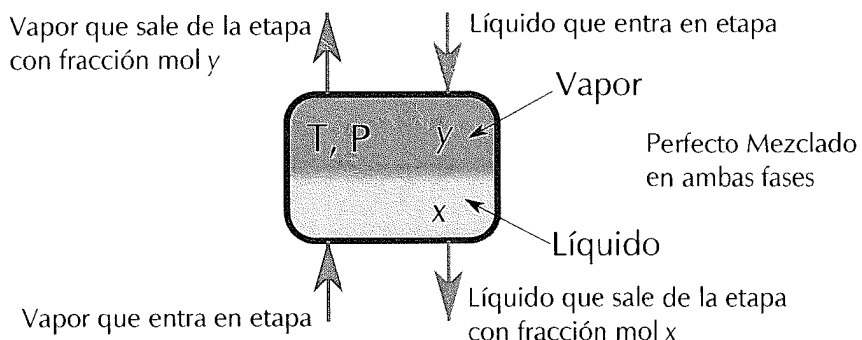


Figura 2.1: Diagrama conceptual de una etapa de equilibrio.(Wilson et al., 2000)

Basado en el concepto anterior, una sección de la columna de destilación se modela como se muestra en la Figura 2.2a, considerando las siguientes suposiciones:

1. Se logra en cada etapa un equilibrio de fases.
2. No se producen reacciones químicas.
3. Se desprecia el arrastre de gotas de líquido en el vapor y la oclusión de burbujas de vapor en el líquido.

Así, una columna hipotética se define a partir del acople de varias de estas etapas de equilibrio como de muestra en la Figura 2.2b. Este sistema en cascada en contracorriente está diseñado para llevar a cabo la separación especificada por la columna real, siendo una descripción razonable de la física real (Wilson et al., 2000). De ser necesario, el número de etapas de equilibrio se puede convertir a su equivalente en etapas reales por medio del concepto eficiencia de etapa, que describe la medida en que el rendimiento de una bandeja de contacto real al rendimiento de una etapa de equilibrio (Seader et al., 2011).

En este esquema, una o más corrientes de materia entran en la etapa, y una o más corrientes salen de ella. Así, también se considera una corriente especial que representa el flujo de energía que se suministra o se retira de la etapa. Tomando como referencia la Figura 2.2a en a la etapa j , existe una corriente de alimentación de flujo molar F_j , con una

composición global en fracciones mol $z_{i,j}$ del componente i , temperatura T_{Fj} , presión P_{Fj} y su correspondiente entalpía molar global h_{Fj} . La presión de la alimentación es igual o mayor que la presión de la etapa P_j .

También en esta etapa se encuentra el líquido inter-etapa proveniente de la etapa superior $j - 1$, de flujo molar L_{j-1} , con una composición en fracción molar $x_{i,j-1}$, entalpía $h_{L_{j-1}}$, temperatura T_{j-1} y presión P_{j-1} . La presión del líquido de la etapa $j - 1$ se incrementa de manera adiabática por el cabezal hidrostático de L_{j-1} . De manera similar, desde la etapa inferior $j + 1$, entra el vapor inter-etapa de flujo molar V_{j+1} de igual forma, con una composición en fracción molar $y_{i,j+1}$, entalpía $h_{V_{j+1}}$, temperatura T_{j+1} y presión P_{j+1} .

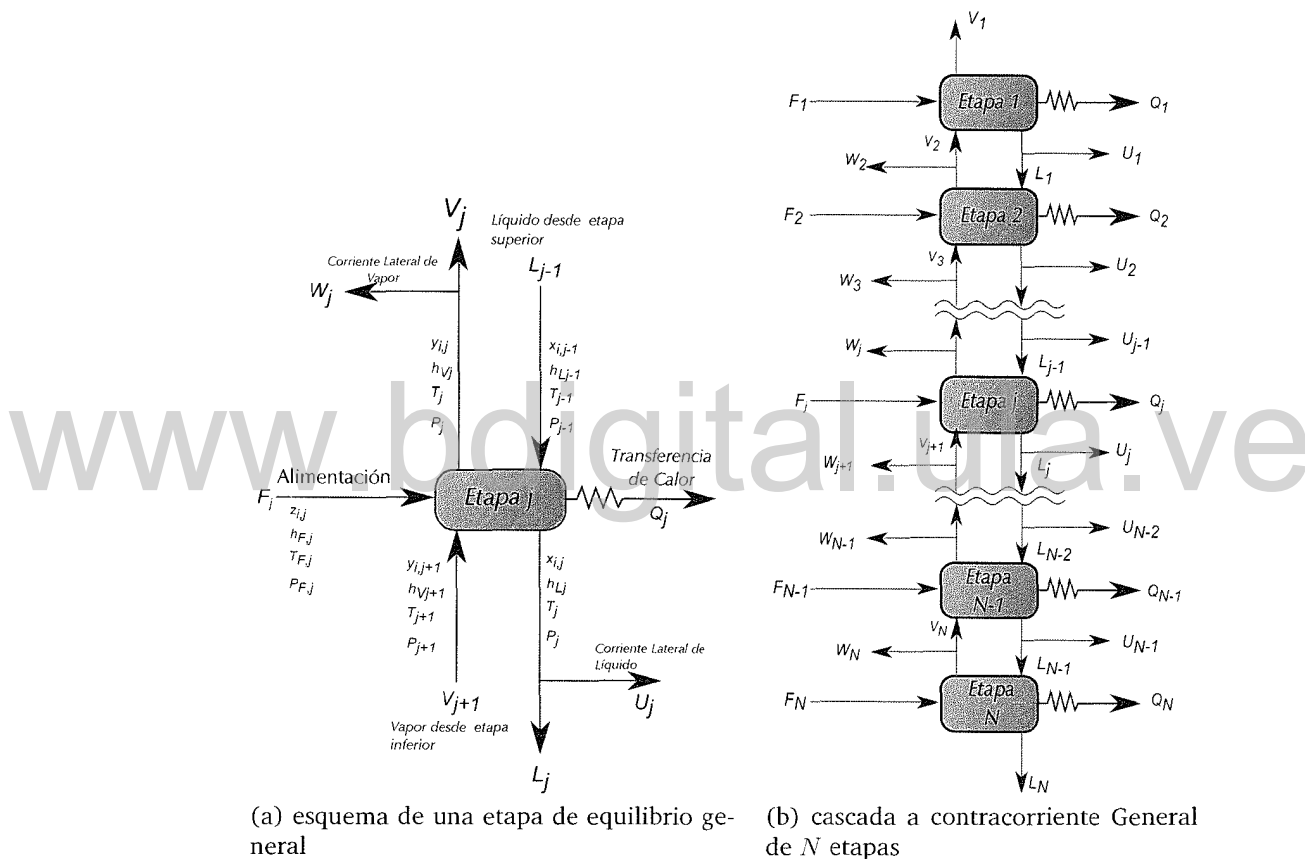


Figura 2.2: Modelo generalizado para columna múltiples etapas (Seader et al., 2011)

Dejando la etapa j , se encuentra también el vapor con propiedades intensivas $y_{i,j}$, h_{V_j} , T_j , y P_j . Esta corriente se puede dividir en una corriente lateral de vapor de flujo molar W_j que sale como producto y una corriente inter-etapa de flujo molar V_j que bien va hacia la etapa superior $j - 1$ o sale como producto al ser $j = 1$. También, de manera análoga dejando la etapa j se presenta el líquido con propiedades intensivas $x_{i,j}$, h_{L_j} , T_j , y P_j , el cual se encuentra en equilibrio con el V_j y W_j . Este líquido de manera similar que el vapor, se puede dividir en una corriente lateral de flujo molar U_j y una corriente inter-etapa y de

flujo molar L_j que se dirige hacia la etapa $j + 1$, y sale como producto si $j = N$. Por último se puede transferir energía a una razón Q_j desde (+), o hacia (-) la etapa j para simular intercambios de calor. Las etapas se numeran del tope al fondo de la columna: desde $j = 1$ en el condensador o la parte superior a la etapa $j = N$ en el rehervidor o la etapa inferior.

2.1.2. Ecuaciones MESH

Según Wang & Henke (1966) el modelo de etapa de equilibrio de columnas de destilación, está representado por un conjunto de ecuaciones comúnmente conocidos como las ecuaciones *MESH*, las cuales son las que se utilizan para describir la operación en estado estacionario de una columna de destilación. *MESH* provienen del inglés: *Material balances* (Balances de materia), *Equilibrium equations* (Ecuaciones de Equilibrio), *Summation equations* (Ecuaciones de Sumatorias), *enthalpy balances* (Balances de entalpía) (Treccani, 2008; Seader et al., 2011). A continuación se describe con detalles cada una de las ecuaciones:

1. Las ecuaciones M se emplean para modelar la ley de conservación de materia alrededor de cada etapa.

$$\begin{aligned} M_{i,j} = & L_{j-1}x_{i,j-1} + V_{j+1}y_{i,j+1} \\ & + F_jz_{i,j} - (L_j + U_j)x_{i,j} - (V_j - W_j)y_{i,j} = 0 \end{aligned} \quad (2.1)$$

2. Las ecuaciones E modelan el equilibrio vapor-líquido, donde c es el número de componentes.

$$E_{i,j} = y_{i,j} - K_{i,j}x_{i,j} = 0 \quad (2.2)$$

3. Las ecuaciones S establecen los límites de las sumatorias de fracciones mol de cada componente.

$$(S_y)_j = \sum_{i=1}^c y_{i,j} - 1,0 = 0 \quad (2.3)$$

$$(S_x)_j = \sum_{i=1}^c x_{i,j} - 1,0 = 0 \quad (2.4)$$

4. Las ecuaciones H modelan el balance de energía en cada etapa.

$$H_j = L_{j-1}h_{L_{j-1}} + V_{j+1}h_{V_{j+1}} + F_jh_{F_j} \quad (2.5)$$

$$- (L_j + U_j) h_{L_j} - (V_j + W_j) h_{V_j} - Q_j = 0 \quad (2.6)$$

Es posible emplear una ecuación balance de materia total en lugar de (2.3) o (2.4). Se deriva mediante la combinación de estas dos ecuaciones y $\sum_j z_{i,j} = 1,0$ con (2.1) sumado sobre los componentes C desde la etapa 1 a j para dar:

$$L_j = V_{j+1} + \sum_{m=1}^j (F_m - U_m - W_m) - V_1 \quad (2.7)$$

Las ecuaciones anteriores describen totalmente una columna de destilación las cuales deben satisfacerse en cualquier estrategia de solución. Si se modifican las ecuaciones MESH de forma que en las ecuaciones M se sustituyen los $y_{i,j}$ por $K_{i,j} x_{i,j}$ y los L_j por su valor en función de W_j , U_j y V_j dado por el balance global de materia, se puede obtener la siguiente ecuación para cada componente y cada etapa a partir de los coeficientes A_j , B_j , C_j y D_j :

$$A_j x_{i,j-1} + B_j x_{i,j} + C_j x_{i,j+1} = D_j \quad (2.8)$$

donde:

$$A_j = V_j + \sum_{m=1}^{j-1} (F_m - U_m - W_m) - V_1, \quad 2 \leq j \leq N \quad (2.9)$$

$$B_j = - \left[V_{j+1} + \sum_{m=1}^j (F_m - U_m - W_m) - V_1 + U_j + (V_j + W_j) K_{i,j} \right] \quad 1 \leq j \leq N \quad (2.10)$$

$$C_j = V_{j+1} K_{i,j+1}, \quad 1 \leq j \leq N-1 \quad (2.11)$$

$$D_j = -F_j z_{i,j}, \quad 1 \leq j \leq N \quad (2.12)$$

Si las ecuaciones M modificadas (2.8) se agrupan por componentes, pueden escribirse como una serie de c sistemas de ecuaciones, uno para cada componente, en donde las matrices de coeficientes son matrices tridiagonales y la variable de salida para cada sistema es la composición x_i para ese componente en toda la cascada en contracorriente de N etapas:

$$\begin{bmatrix} B_1 & C_1 & \cdots & \cdots & \cdots & \cdots & 0 \\ A_2 & B_2 & C_2 & \cdots & \cdots & \cdots & 0 \\ \cdots & A_3 & B_3 & C_3 & \cdots & \cdots & 0 \\ \cdots & \cdots & \ddots & \ddots & & \cdots & \cdots \\ \cdots & & \ddots & \ddots & & \cdots & \cdots \\ 0 & \cdots & \cdots & 0 & A_{N-2} & B_{N-2} & C_{N-2} & \cdots \\ 0 & \cdots & \cdots & 0 & 0 & A_{N-1} & B_{N-1} & C_{N-1} \\ 0 & \cdots & \cdots & 0 & 0 & A_N & B_N \end{bmatrix} \times \begin{bmatrix} x_{i,1} \\ x_{i,2} \\ x_{i,3} \\ \cdots \\ \cdots \\ x_{i,N-2} \\ x_{i,N-1} \\ x_{i,N} \end{bmatrix} = \begin{bmatrix} D_1 \\ D_2 \\ D_3 \\ \cdots \\ \cdots \\ D_{N-2} \\ D_{N-1} \\ D_N \end{bmatrix} \quad (2.13)$$

La solución eficiente de este conjunto de sistemas de ecuaciones se resuelve una para cada componente, mediante un algoritmo de eliminación Gaussiana modificado por Llewellyn H. Thomas mostrado con detalle en el apéndice A.1. Si se dispone de los valores de los coeficientes A_j , B_j , C_j y D_j en cada etapa, la resolución de los c sistemas de ecuaciones proporcionará el perfil de composición del líquido en la columna.

Por otra parte, las propiedades de los fluidos, son datos suministrados o predichos por algún método termodinámico que correlacionan funciones de la temperatura, la presión, y la composición. Expresado matemáticamente, los datos o correlaciones se pueden escribir de la siguiente manera:

$$K_{i,j} = K_{i,j}(T_j, P_j, \mathbf{x}_j, \mathbf{y}_j) \quad (2.14)$$

$$hV_j = hV_j(T_j, P_j, \mathbf{y}_j) \quad (2.15)$$

$$hL_j = hL_j(T_j, P_j, \mathbf{x}_j) \quad (2.16)$$

donde \mathbf{x}_j y \mathbf{y}_j son vectores de fracciones molares de los componentes en corrientes de la etapa j .

2.1.3. Grados de Libertad

Los grados de libertad de un sistema son las variables independientes que se deben especificar con el fin de definir el sistema por completo. El enfoque matemático para determinar los grados de libertad de cualquier sistema es reunir todas las variables y restar el número de ecuaciones independientes (Zereshki, 2012).

En este sentido, para el modelo de etapa de equilibrio, si las tres propiedades definidas en las ecuaciones 2.14 a 2.16 no se cuentan como ecuaciones ni como variables, cada etapa de equilibrio sólo se define por un total de $2C + 3$ ecuaciones. El sistema en cascada en contracorriente de N etapas, como se muestra en la Figura 2.2b, quedaría representado por $N(2C + 3)$ ecuaciones y $[N(3C + 10) + 1]$ variables.

Ahora, si se establecen N y todos los F_j , z_{ij} , T_{F_j} , P_{F_j} , P_j , U_j , W_j , Q_j correspondientes a $[N(C + 7) + 1]$ variables de entrada, el modelo generalizado de la columna queda representado por $N(2C + 3)$ ecuaciones algebraicas simultáneas no lineales y $N(2C + 3)$ variables desconocidas (de salida) que comprenden todas las variables $x_{i,j}$, $y_{i,j}$, L_j , V_j , T_j , considerándose así como las variables independientes. En tal caso que se especifiquen otras variables de entrada, las sustituciones correspondientes se deben de introducir en la lista de variables de salida. En cualquier caso, el resultado es un conjunto que contiene las ecuaciones no lineales que deben ser resueltas mediante una técnica iterativa (Seader et al., 2011; Khoury, 2005).

2.2. Métodos Rigurosos de Columnas de Destilación

Las ecuaciones que conforman el modelo de columna, incluyen muchas relaciones no lineales, y su número se puede encontrar alrededor de las decenas de miles. Por ejemplo, en una columna de 10 componentes, 30 etapas con dos especificaciones, el número de ecuaciones sería $(3 \times 10 + 5) \times 30 + 2 = 1052$.

Es evidente que la solución analítica de estas ecuaciones es imposible. La única manera práctica para resolver estos problemas de manera rigurosa es mediante algoritmos de solución numéricos implementados los simuladores de procesos químicos. (Khoury, 2005).

Históricamente, antes de la década de los años 50, los cálculos de columna se realizaban sin la ayuda de un computador. A pesar de que los procedimientos de cálculo rigurosos estaban disponibles, eran difíciles de aplicar para todas las columnas. Los denominados métodos aproximados o cortos basados el procedimiento clásico de Fenske-Underwood-Gilliland (FUG), eran por lo tanto la herramienta de diseño primario (Kister, 1992).

Los primeros intentos para la resolver el sistema de ecuaciones MESH fueron los métodos clásicos de cálculo etapa a etapa y ecuación a ecuación de Lewis-Matheson (1932) y Thiele-Geddes (1933), aplicables sólo a columnas simples o para chequear diseños finales. No obstante, con la introducción de las computadoras el procedimiento de diseño cambió totalmente. Los cálculos rigurosos, que alguna vez tomaron varios días, a veces semanas, incluso para una columna relativamente sencilla, ahora se realizan de forma rápida y eficaz mediante un ordenador minimizando las imprecisiones e incertidumbres inherentes a los procedimientos aproximados (King, 1980; Seader et al., 2011).

La mayor parte de los métodos modernos son métodos que utilizan procedimientos de separación y desacoplamiento del conjunto de ecuaciones MESH que describe a la columna para calcular las condiciones de su funcionamiento (Seader et al., 2011). En la práctica moderna de destilación, estos programas se han vuelto indispensables para la evaluación

del diseño y el rendimiento de los procesos de separación de etapas múltiples (Kister, 1992; Khoury, 2005).

Los métodos rigurosos para la solución de columnas siguen una estrategia de solución general que se muestra la Figura 2.3.

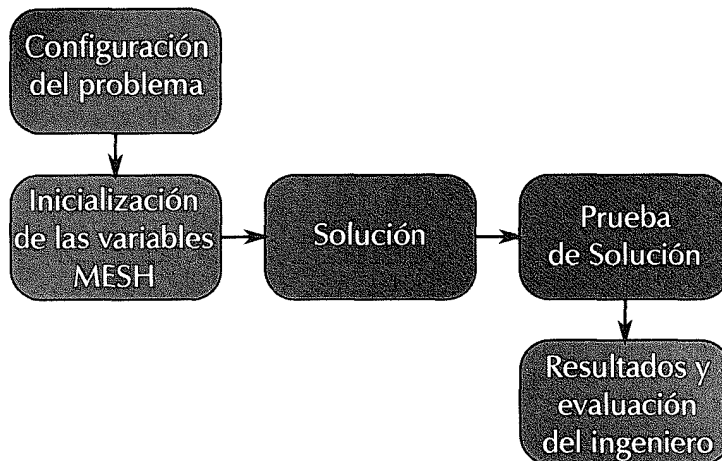


Figura 2.3: Pasos involucrados en un método riguroso (Kister, 1992).

En el primer paso de configuración del problema se especifican las variables de entrada y la especificación de la separación. King (1980); Kister (1992); Seader et al. (2011); McCabe et al. (2005) afirman que en un proceso de diseño, una separación se especifica en términos de grados de pureza y de los flujos de productos. Para una columna sencilla, por ejemplo, se deben establecer dos especificaciones y por lo menos una debe ser de pureza de producto. También afirma que el grado de pureza puede ser sustituido por una propiedad física que es una función de la pureza o composición, mientras que un flujo de producto puede ser sustituido por una especificación de recuperación.

En una simulación, se establece el número de etapas y la ubicación del punto de alimentación para una solución determinada. Una vez que estos se fijan, la composición de destilado (o del fondo) se convierte en una función del reflujo, por lo que el grado de pureza se cumple a través de una especificación de relación de reflujo. Dado que el reflujo es sólo uno de los flujos internos de la columna, un argumento similar se aplica a cualquier otro flujo de fase interna. De ello se desprende que el grado de pureza se puede cumplir mediante la especificación de cualquier flujo de fase interna, ya sea líquida o de vapor. Del mismo modo, otras variables que se pueden especificar incluyen la relación de reflujo a destilado, relación de *boilup* del fondo, el calor del intercambiador, y la temperatura de una etapa específica (Kister, 1992).

Para una columna con productos laterales, el número de variables especificadas aumenta con cada producto lateral. En la mayoría de los métodos, la tasa de flujo del producto se

específica para cada producto secundario, pudiéndose especificar la pureza de un producto lateral. Para las columnas con intercambiadores de calor en las etapas intermedias, el número de variables especificadas aumenta por el número de estos intercambiadores. Por lo general, para estos se especifican sus respectivos calores, pero en algunos métodos, estos calores se pueden permitir variar para cumplir una cierta especificación de producto. Para estas columnas complejas, las especificaciones inconsistentes son una de las principales causas de fallas en el cálculo por ello se prefieren especificaciones más simples.

Antes de que los cálculos principales comiencen, se debe dar valores iniciales a las temperaturas de las etapas, T_j y flujos totales, V_j y L_j . Los flujos por componentes de las etapas, v_{ij} y l_{ij} no tienen que ser estimados ya que estos se pueden calcular a partir de los balances de componentes. Pero los balances de componentes dependen de los valores K . En este sentido para los primeros balances de componentes, se deben utilizar valores K independientes de la composición (Wilson et al., 2000).

Con cualquier método riguroso es imprescindible establecer criterios para determinar cuando se alcanza una solución. Cada método riguroso tiene sus propios criterios, pero todos ellos deben cumplir con ciertos criterios físicos. Además de cumplir con los balances de materia y de energía (Kister, 1992; Seader et al., 2011). Existen otros criterios que un método debe cumplir. Si hay especificaciones, tales como velocidades de flujo de productos, flujos de calor, o composiciones de productos, éstos se deben establecer dentro de una cierta tolerancia. En la solución, los perfiles de la velocidad de flujo y temperatura total no deberían cambiar entre iteraciones, es decir, el cambio fraccional acumulado en temperaturas de etapa y en las tasas de vapores de la fase entre iteraciones continuas k y $k+1$ debe ser menor a una tolerancia preestablecida ϵ , según el criterio planteado por Wang & Henke (1966) expresado en la ecuación 2.17.

$$\sum_{j=1}^N \frac{|T_{j,k+1} - T_{j,k}|^2}{T_{j,k}} + \sum_{j=1}^N \frac{|V_{j,k+1} - V_{j,k}|^2}{V_{j,k}} \leq \epsilon \quad (2.17)$$

Los errores en las ecuaciones MESH deben ser pequeños, como por ejemplo hacer que las funciones tiendan a cero con el método de Newton-Raphson, el cual se describe en el apéndice A.2.

2.2.1. Clasificación de Los Métodos Rigurosos

Se han propuesto muchos algoritmos para la resolución de las ecuaciones, una buena revisión de los cuales se presenta por Wang et al. (1980). Las diferencias entre los métodos derivan de varias consideraciones, incluyendo la elección de las variables independientes,

la agrupación y disposición de las ecuaciones y la trayectoria de convergencia. Los métodos rigurosos se pueden dividir en dos clases como se muestra en la Tabla 2.1.

Tabla 2.1: Clasificación de los Métodos Rigurosos de Resolución (King, 1980).

| Métodos Básicos | Método Extendidos |
|---|---|
| Los Métodos de Punto de Burbuja (<i>BP</i>) | Los Métodos de Relajación |
| Los Métodos de Suma de Caudales (<i>SR</i>) | Los Métodos <i>Inside-Out</i> |
| Los Métodos Newton 2N | Los Métodos Homotópicos o de Continuación |
| Los Métodos de Correcciones Simultáneas (<i>SC</i>) | Los Modelos Fuera del Equilibrio |

■ Los Métodos de Punto de Burbuja (*BP*)

Los métodos *BP* reciben su nombre debido a que las temperaturas de las etapas se determinan resolviendo directamente la ecuación de punto de burbuja. Los métodos de *BP* por lo general funcionan mejor para sistemas con componentes de estrecho punto de ebullición, donde la composición tiene un efecto mayor sobre la temperatura que el calor latente de vaporización. Todas las ecuaciones se partitionan y se resuelven de manera secuencial a excepción de las ecuaciones *M*, que se resuelven por separado para cada componente por la técnica de matriz tridiagonal (Seader et al., 2011).

El primer método de *BP* propuesto por Wang & Henke (1966) ilustrado en la Figura 2.4, contempló por primera vez el método matriz tridiagonal para calcular las tasas de flujo de componentes o composiciones, calculando además las nuevas las temperaturas de las etapas directamente, sin necesidad de iterar con la ecuación del punto de burbuja. Aquí las temperaturas son aproximadas pero siempre y cuando las composiciones internas se corrijan adecuadamente durante cada iteración, el perfil de temperatura convergerá hacia la solución (Khoury, 2005; Kister, 1992).

En este método se consideran variables de iteración a $x_{i,j}$, $y_{i,j}$, T_j , L_j , y V_j . Para iniciar los cálculos se asumen valores de las variables de iteración, V_j y T_j . En general, es suficiente establecer un conjunto inicial de valores de V_j el reflujo especificado, destilado, alimentación, y los flujos de corriente secundaria. Los valores T_j iniciales se pueden estimar mediante el cálculo de la temperatura del punto de burbuja de un producto de fondo y la temperatura punto de rocío de un producto destilado asumido, y luego utilizar interpolación lineal para determinar otras temperaturas de las etapas (Seader et al., 2011).

Para obtener x_i a partir de (2.13) por el método de Thomas (A.1) son necesarios los valores de K_{ij} . Por tanto, cuando éstos dependen de la composición, se necesitan también suposiciones iniciales para todos los $x_{i,j}$ y $y_{i,j}$, a no ser que se utilicen en la primera iteración los valores ideales de las $K_{i,j}$. Para cada iteración, el conjunto de valores calculados $x_{i,j}$ de cada etapa, por lo general, no satisfacen la restricción impuesta por las ecuaciones S (2.3 y 2.4) y es aconsejable normalizar el conjunto de valores calculados $x_{i,j}$ mediante:

$$(x_{i,j})_{\text{normalizado}} = \frac{x_{i,j}}{\sum_{i=1}^c x_{i,j}} \quad (2.18)$$

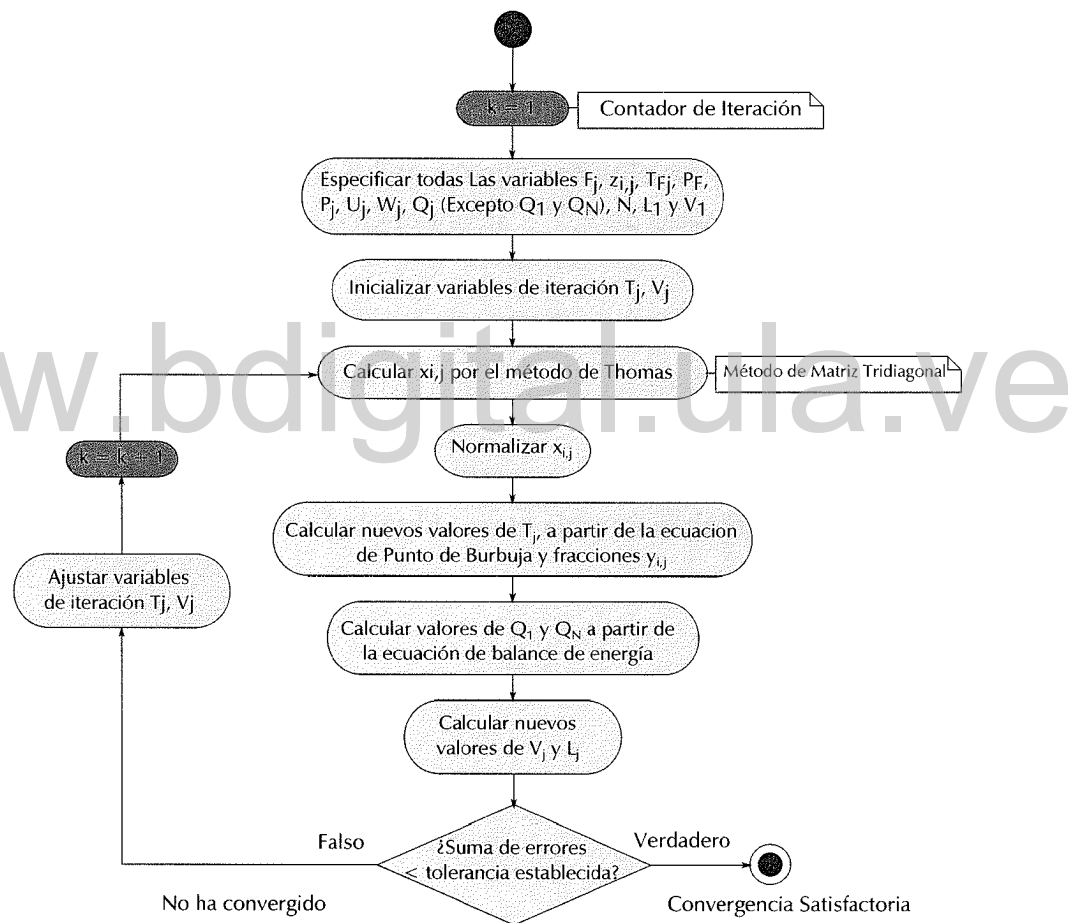


Figura 2.4: Algoritmo de Método *BP* por Wang–Henke (Seader et al., 2011)

■ Los Métodos de Suma de Caudales (*SR*)

Son métodos adecuados para el modelado de absorbedores y despojadores donde las especies poseen una amplia diferencia de puntos de ebullición, especialmente

aquellos con especies no condensables. Los métodos *BP* fallan en estos casos porque los cálculos del punto de burbuja de temperatura son demasiado sensibles a la composición en fase líquida, y el balance de energía es mucho más sensible a las temperaturas de las etapas que a los flujos entre etapas. El primer método *SR* fue desarrollado por Burningham & Otto (1967) en conjunción con la formulación de una matriz-tridiagonal para un conjunto de ecuaciones M modificadas.

Las variables se mantienen iguales al método *BP* y los valores de $x_{i,j}$ se obtienen resolviendo mediante el algoritmo de Thomas. Solo que en este caso los valores $x_{i,j}$ no se normalizan y se utilizan directamente para calcular nuevos valores de L_j mediante la ecuación de suma de caudales:

$$L_j^{(k+1)} = L_j^{(k)} \sum_{i=1}^c x_{i,j} \quad (2.19)$$

donde los valores de $L_j^{(k)}$ se obtienen a partir de los valores $V_j^{(k)}$ de la ecuación (2.7), los valores correspondientes de $V_j^{(k+1)}$ se obtienen a partir de un balance de materia global:

$$V_j = L_{j-1} - L_N + \sum_{m=j}^N (F_m - W_m - U_m) \quad (2.20)$$

Finalmente, el perfil de temperatura para la siguiente iteración se obtiene por resolución del balance de entalpía en cada etapa. El método se ilustra en la Figura 2.5.

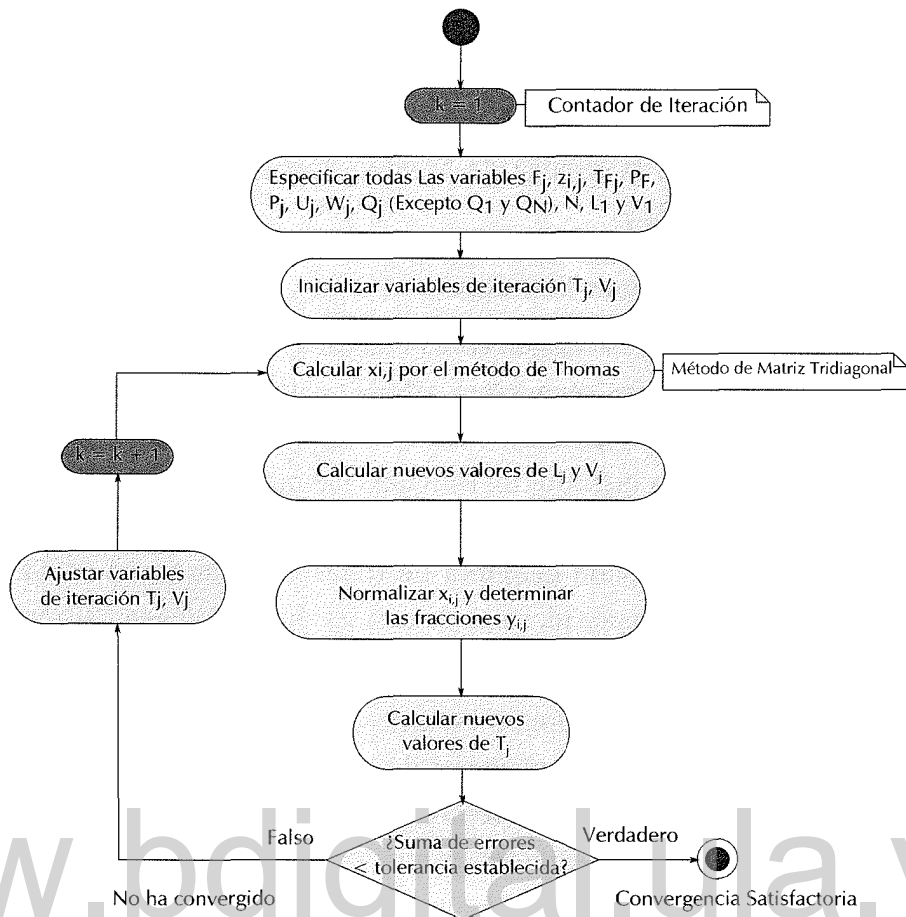


Figura 2.5: Algoritmo del método *SR* de Burningham & Otto (Seader et al., 2011)

■ Los Métodos de Newton 2N

Tanto en los métodos *BP* como en los *SR*, el perfil de temperatura y el perfil de caudales de vapor y de líquido se calculan en pasos separados. En los métodos de Newton 2N el nombre 2N significa que hay dos ecuaciones por etapa para un total de $2 \times N$ funciones y variables por columna que se resuelven simultáneamente por un método de Newton Raphson. Los métodos de Newton 2N han demostrado que funcionan bien para las mezclas de amplio punto de ebullición incluyendo fraccionadores de refinería, columnas de absorción-despojamiento y absorbedores con rehervidor. Las variables de iteración son $L_{i,j}$, $y_{i,j}$, y T_j . Entre los métodos más conocidos se encuentran el método desarrollado por Tomich (1970).

Este Método difiere de los métodos anteriores, principalmente en que las ecuaciones sumatoria y los balances de energía se resuelven simultáneamente. Por otra parte presenta dos importantes beneficios. En primer lugar, es aplicable para resolver columnas de destilación, columnas absorbedoras y columnas híbridas de ambos tipos

de procesos. En segundo lugar, se pueden incorporar en la solución simultánea de las ecuaciones diferentes tipos de especificaciones de rendimiento de la columna. El método también es computacionalmente estable y eficiente, ya que utiliza la modificación de Broyden de la técnica de Newton-Raphson para la resolución de las ecuaciones (Broyden, 1965).

- **Los Métodos de Correcciones Simultáneas (SC)**

Las tres clases anteriores se catalogan como métodos basados en desacoplamiento de ecuaciones, debido a que las ecuaciones MESH se dividen, se agrupan y se combinan con las variables MESH para ser resueltos en una serie de pasos. Los Métodos *SC* denominados también métodos de Newton Globales o métodos *NR*, son capaces de resolver muchos problemas de separaciones multicomponente de etapa múltiple. Están basados en la resolución conjunta de todas las ecuaciones MESH o de una combinación de las mismas por técnicas de corrección simultánea (Kister, 1992).

En general, los métodos *SC* resultan más convenientes que los anteriores ya que en sistemas altamente no ideales, donde los valores de las relaciones de equilibrio especialmente los valores de los coeficientes de actividad y de las entalpías dependen fuertemente de la composición, no resulta demasiado adecuado calcular las composiciones a partir de valores de constantes de equilibrio y de entalpías procedentes de la iteración anterior. Estos métodos son los más sensibles a la calidad de las estimaciones iniciales, pero también son más poderosos a la hora de tratar mezclas no ideales, de forma que en ocasiones se requiere aplicar primero otro método riguroso (*BP* o *SR*) para encontrar aproximaciones a la solución final que sirvan como estimaciones iniciales para el método *SC* (Khoury, 2005). Uno de los métodos *SC* más conocidos es el desarrollado por Naphtali & Sandholm (1971).

El modelo de etapas de las Figuras 2.2a y 2.2b se emplean nuevamente. Sin embargo, en lugar de resolver las $N(2C + 3)$ ecuaciones MESH de manera simultánea. Se combinan las ecuaciones (2.3) y (2.4) junto con las otras ecuaciones para eliminar $2N$ variables y de esta manera reducir el problema a una solución simultánea de $N(2C - 1)$ ecuaciones. Esto se realiza multiplicando (2.3) y (2.4) por V_j y L_j , respectivamente para dar:

$$V_j = \sum_{i=1}^c v_{i,j} \quad (2.21)$$

$$L_j = \sum_{i=1}^c l_{i,j} \quad (2.22)$$

donde se usan las siguientes definiciones de fracciones mol:

$$y_{i,j} = \frac{v_{i,j}}{V_j} \quad (2.23)$$

$$x_{i,j} = \frac{l_{i,j}}{L_j} \quad (2.24)$$

Las ecuaciones (2.21) a (2.24) ahora se sustituyen en (2.1), (2.2) y (2.6) para eliminar V_j , L_j , $y_{i,j}$ y $x_{i,j}$ e introducir flujos de componentes $v_{i,j}$ y $l_{i,j}$, obteniéndose las siguientes ecuaciones, donde $s_j = U_j/L_J$ y $S_j = W_j/V_J$ son flujos laterales adimensionales y $f_{i,j} = F_j z_{i,j}$.

$$M_{i,j} = l_{i,j} (1 + s_j) + v_{i,j} (1 + S_j) - l_{i,j-1} - v_{i,j+1} - f_{i,j} = 0 \quad (2.25)$$

$$E_{i,j} = K_{i,j} l_{i,j} \frac{\sum_{k=1}^c v_{k,j}}{\sum_{k=1}^c l_{k,j}} - v_{i,j} = 0 \quad (2.26)$$

$$H_j = h_{L_j} (1 + s_j) \sum_{i=1}^c l_{i,j} + h_{V_j} (1 + S_j) \sum_{i=1}^c v_{i,j} - h_{L_{j-1}} \sum_{i=1}^c l_{i,j-1} - h_{V_{j+1}} \sum_{i=1}^c v_{i,j+1} - h_{F_j} \sum_{i=1}^c f_{i,j} - Q_j = 0 \quad (2.27)$$

Las ecuaciones (2.25), (2.26) y (2.27) se resuelven simultáneamente por el método de Newton-Raphson en el que los conjuntos sucesivos de las variables de salida se calculan de manera iterativa hasta que los valores de las funciones M , E , y H son conducidas hacia los criterios de convergencia o cero. Durante las iteraciones, los valores distintos de cero de las funciones se llaman discrepancias o errores. Si las funciones y variables de salida se agrupan por etapas en orden de arriba a abajo, se forma una estructura de bloque-tridiagonal de la matriz Jacobiana de derivadas

parciales de modo que se puede aplicar una forma de la matriz del algoritmo de Thomas (Seader et al., 2011).

Los métodos extendidos que a continuación se explican, son una ampliación de los primeros cuatro métodos con el fin de aumentar la gama de aplicación de columnas, para resolver sistemas difíciles o columnas más complejas.

■ Los Métodos de Relajación

Un método de relajación encuentra una solución de estado estacionario de una columna como si se tratara de una columna que opera en estado dinámico. La columna se inicializa utilizando condiciones reales de operación de puesta en marcha. Se parte de la suposición de valores iniciales para los caudales inter-etapa y para las temperaturas y composiciones en cada etapa. La columna se lleva a las condiciones de estado estacionario por aproximaciones sucesivas de las ecuaciones de estado inestable de destilación. Estas ecuaciones de estado inestable son modificaciones a las ecuaciones MESH para incluir cambios en las variables MESH con respecto al tiempo. Este proceso podría decirse que está imitando la puesta en marcha física de la columna, pero el objetivo no es conseguir la operación dinámica sino buscar la solución en estado estacionario (Khoury, 2005).

■ Los Métodos Homotópicos o de continuación

Se basan en un procedimiento de resolución de sistemas de ecuaciones algebraicas no lineales. Generalmente requiere cálculos algo sofisticados, pero tiene la ventaja de que permite encontrar soluciones incluso cuando los valores iniciales son deficientes. Para algunos casos las ecuaciones de las MESH pueden ser difíciles de resolver, ya sea debido a la naturaleza de la columna (muchas alimentaciones o retiros laterales, separadores laterales, operación cerca de reflujo-mínimo, etc.) o debido a las no idealidades de los valores de K o entalpías.

Los métodos homotópicos comienzan con una solución conocida de la columna y desde allí se sigue un camino a la solución deseada. La solución conocida puede ser en diferentes condiciones o con métodos mucho más simple de valores K y entalpía y los cambios escalonados se realizan a partir de ahí, resolviendo la columna en cada paso, hasta que se alcanza la solución final (Kister, 1992).

Los métodos homotópicos se pueden dividir en dos clases generales, los basados en homotopías matemáticas y en homotopías físicas o paramétricas. Las homotopías matemáticas no posee relación física con las ecuaciones MESH y esto en ocasiones causa

problemas. Las homotopías físicas tienen una base en las ecuaciones MESH, por lo que son más aplicadas. (Wayburn, 1988) presenta una revisión de los métodos homotópicos así como de sus diferentes aplicaciones.

■ Los Modelos de No-Equilibrio

También denominados métodos basados de velocidades de transferencia de masa. Son métodos que eliminan por completo el concepto de etapa de equilibrio y el uso del concepto de eficiencia de etapa. Ellos son los más adecuados para las columnas donde es difícil de definir una etapa teórica y las eficiencias resultan difíciles de predecir o aplicar por cualquier medio. Por ejemplo, en sistemas altamente no ideales y sistemas reactivos. Aplican un enfoque de fenómenos de transporte para predecir las tasas de transferencia de masa. Las tasas de transferencia de masa se calculan continuamente a lo largo de la longitud de la columna y no en etapas de equilibrio discretas (Kooijman & Taylor, 2000; Krishnamurthy & Taylor, 1985).

Krishnamurthy & Taylor (1985) presentan y colocan a prueba un modelo de no equilibrio que incluye ecuaciones de velocidad de transferencia de masa con la posibilidad de incluir reacciones químicas, entre las ecuaciones MESH tradicionales. Estos incluyen balances de masa y energía en el vapor y el líquido y a través de una interfase. Existe una ecuación de equilibrio para la interfase única. Los métodos de solución para estas ecuaciones es la misma que los métodos globales Newton y el estilo del método es similar al de Naphtali & Sandholm.

2.3. Método INSIDE-OUT de Russell (1983)

En los métodos de *BP*, *SR*, y *SC*, el principal esfuerzo de cálculo se consume en el cálculo de valores *K* y las entalpías cuando se utilizan modelos termodinámicos rigurosos, ya que los cálculos de propiedades termodinámicas se efectúan en cada iteración. Además, en cada iteración, se necesitan las derivadas de:

1. Todas las propiedades con respecto a la temperatura y las composiciones de ambas fases en el método Newton-Raphson
2. Los valores *K* con respecto a la temperatura para el método de *BP*.
3. Vapor y entalpías de líquidos con respecto a la temperatura para el método de *SR*.

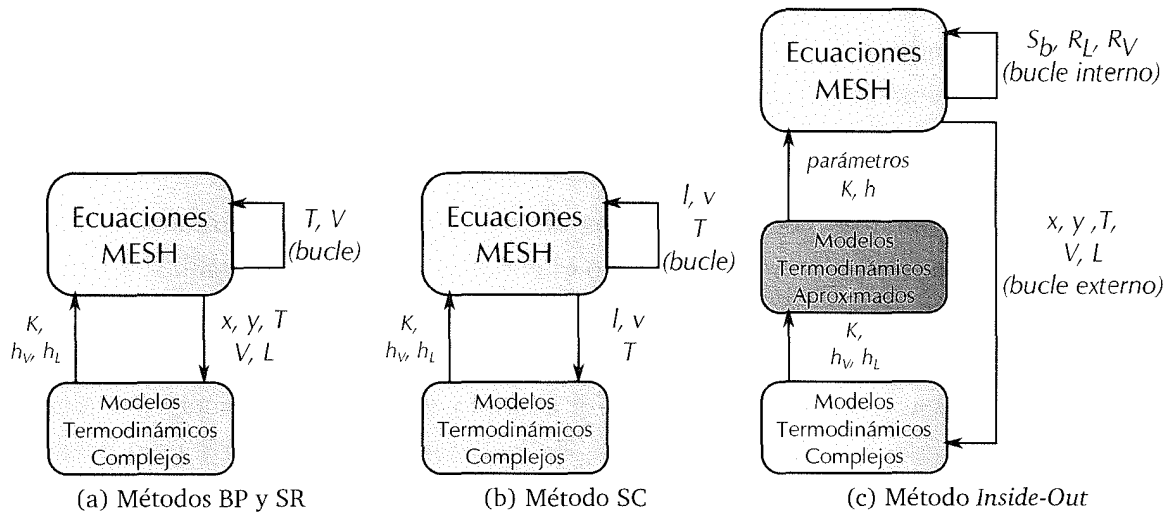


Figura 2.6: Incorporación de correlaciones termodinámicas en bucles interactivos (Seader et al., 2011)

El Método *Inside-Out* se ha desarrollado con tres objetivos primarios: ser flexible en el manejo de las especificaciones de rendimiento, requerir poca información para generar estimaciones iniciales y poseer alta velocidad de cálculo. Las técnicas empleadas para cumplir con estos objetivos están incorporadas en un método original descrito por Russell (1983). Este método, basado en el artículo publicado por Boston & Sullivan (1972), está formado por un algoritmo de dos bucles, un bucle interno donde las composiciones y flujos de columna de platos y perfiles de temperatura se calculan sobre la base de un modelo de valores K y cálculos de entalpía simplificado y un bucle externo, donde estas propiedades se calculan a partir de modelos termodinámicos rigurosos.

El método es rápido debido a que los cálculos termodinámicos rigurosos son relegados al bucle externo, donde no se realizan con frecuencia. El término *INSIDE-OUT* se aplica comúnmente a este tipo de método debido a la estrategia de limitar los cálculos rigurosos que consumen mucho tiempo termodinámicos en el bucle externo. Cabe señalar que la solución general es rigurosa ya que se considera que el sistema ha convergido cuando los valores K y entalpías utilizados en el bucle interno están en concordancia con los calculados rigurosamente en el bucle externo (Kister, 1992; Seader et al., 2011).

En cada paso a través del bucle exterior, los valores K y entalpía de los modelos simples y se actualizan mediante el uso de las variables MESH a partir del bucle interior. Esto establece la siguiente iteración por el bucle interior (Wilson et al., 2000).

Otra de las características del método *Inside-Out* es las variables de iteración que se utilizan. Para este método las variables de iteración para el bucle externo son los parámetros en las ecuaciones aproximadas para las propiedades termodinámicas. Las variables de iteración del bucle interno están relacionadas con los factores de despojamiento $S_{i,j} = K_{i,j}V_i/L_j$ y Factores de Retiro Lateral R_{L_j} y R_{V_j} .

El método *Inside-Out* toma ventaja de las siguientes características de los cálculos iterativos:

1. Las volatilidades relativas de componentes varían mucho menos que sus valores K .
2. La entalpía de vaporización varía menos que las entalpías de fase.
3. Los factores de despojamiento de componentes combinan efectos de la temperatura y los flujos de líquido y vapor en cada etapa.
4. El bucle interno del método utiliza volatilidad relativa, la entalpía, y los factores de despojamiento para mejorar la estabilidad y reducir el tiempo de computo.

2.3.1. Ecuaciones MESH para el método *Inside-Out*.

Al igual que con los métodos *BP*, *SR*, y *SC*, se emplea el modelo de equilibrio-eta pa de la Figura (2.2). La forma de las ecuaciones es similar al método de *SC* en el que se utilizan velocidades de flujo de los componentes. Sin embargo, adicionalmente se definen las siguientes variables de iteración para el Bucle Interno:

$$\alpha_{i,j} = K_{i,j}/K_{b,j} \quad (2.28)$$

$$S_{b,j} = K_{b,j}V_j/L_j \quad (2.29)$$

$$R_{L_j} = 1 + V_j/L_j \quad (2.30)$$

$$R_{V_j} = 1 + W_j/V_j \quad (2.31)$$

donde K_b es el valor K para un componente hipotético base o de referencia, $S_{b,j}$ es el factor de despojamiento del componente base, R_{L_j} y R_{V_j} son factores de retiro de fase líquida y vapor respectivamente, así para las etapas que no posean corrientes laterales, R_{L_j} y R_{V_j} toman el valor de 1. Las variables previamente definidas (2.21) a (2.24) aún se aplican, convirtiendo las ecuaciones MESH en:

Ecuación M por componente c :

$$\begin{aligned} l_{i,j-1} - (R_{L_j} + \alpha_{i,j} S_{b,j} R_{V_j}) l_{i,j} + (\alpha_{i,j+1} S_{b,j+1}) l_{i,j+1} \\ = -f_{i,j}, i = 1 \text{ a } c, j = 1 \text{ a } N \end{aligned} \quad (2.32)$$

Ecuación E :

$$v_{i,j} = \alpha_{i,j} S_{b,j} l_{i,j}, i = 1 \text{ a } c, j = 1 \text{ a } N \quad (2.33)$$

Ecuación H :

$$\begin{aligned} H_j = h_{L_j} R_{L_j} L_j + h_{V_j} R_{V_j} V_j - h_{L_{j-1}} L_{j-1} - h_{V_{j+1}} V_{j+1} \\ - h_{F_j} F_j - Q_j = 1 \text{ a } c, j = 1 \text{ a } N \end{aligned} \quad (2.34)$$

Además se pueden añadir a estas ecuaciones las funciones de discrepancia. Es conveniente especificar variables de etapas superiores e inferiores en lugar de los calores de condensador y/o rehervidor, que son tan interdependientes que no se recomienda la especificación de ambos valores. La especificación de otras variables se lleva a cabo mediante la eliminación de la función de balance de energía H_1 y/o H_N y reemplazándolos con funciones discrepancia como se muestran en la Tabla 2.2.

Tabla 2.2: Funciones Alternas para H_1 y H_N

| Especificación | | Reemplazo por H_1 | | | Reemplazo por H_N |
|-----------------------------|--------|--|--|---|---|
| | | Condensador Total  | Condensador Parcial  | Condensador Reflujo Total  | Rehervidor Parcial  |
| Flujo de producto | Másica | $U_1 - \dot{D} = 0$ | | $\dot{V}_1 - \dot{D} = 0$ | $\dot{L}_N - \dot{B} = 0$ |
| | Molar | $U_1 - \dot{D} = 0$ | | $\dot{V}_1 - \dot{D} = 0$ | $\dot{L}_N - \dot{B} = 0$ |
| Fracción de Componente | Másica | $\dot{u}_{i,1} - (U_1) \dot{x}_{i,U_1} = 0$ | | $\dot{x}_{i,1} - (V_1) \dot{y}_{i,D} = 0$ | $\dot{l}_{i,N} - (\dot{L}_N) \dot{x}_{i,B} = 0$ |
| | Molar | $u_{i,1} - (U_1) x_{i,U_1} = 0$ | | $v_{i,1} - (V_1) y_{i,D} = 0$ | $l_{i,N} - (L_N) x_{i,B} = 0$ |
| Flujo de componente | Másica | $\dot{u}_{i,1} - \dot{d}_{i,U_1} = 0$ | | $\dot{v}_{i,1} - \dot{d}_{i,D} = 0$ | $\dot{l}_{i,N} - \dot{b}_{i,B} = 0$ |
| | Molar | $u_{i,1} - d_{i,U_1} = 0$ | | $v_{i,1} - d_{i,D} = 0$ | $l_{i,N} - b_{i,B} = 0$ |
| Fracción de Recuperación | Másico | $\sum_{j=1}^N \dot{f}_{i,j} - (\dot{U}_1) \dot{x}_{i,U_1} = 0$ | | $\sum_{j=1}^N \dot{f}_{i,j} - (\dot{V}_1) \dot{y}_{i,D} = 0$ | $\sum_{j=1}^N \dot{f}_{i,j} - (\dot{L}_N) \dot{x}_{i,B} = 0$ |
| | Molar | $\sum_{j=1}^N f_{i,j} - (U_1) x_{i,U_1} = 0$ | | $\sum_{j=1}^N f_{i,j} - (V_1) y_{i,D} = 0$ | $\sum_{j=1}^N f_{i,j} - (L_N) x_{i,B} = 0$ |
| Velocidad de Reflujo/Boilup | Másica | | $\dot{L}_1 - \dot{D} = 0$ | | $\dot{V}_N - \dot{B} = 0$ |
| | Molar | | $L_1 - D = 0$ | | $V_N - B = 0$ |
| Relación de Reflujo/Boilup | Másica | $\dot{L}_1 - (\dot{L}/\dot{D}) \dot{U}_1 = 0$ | | $\dot{L}_1 - (\dot{L}/\dot{D}) \dot{V}_1 = 0$ | $\dot{V}_N - (\dot{V}/\dot{B}) \dot{B} = 0$ |
| | Molar | $L_1 - (L/D) U_1 = 0$ | | $L_1 - (L/D) V_1 = 0$ | $V_N - (V/B) B = 0$ |
| Temperatura de Etapa | | $T_1 - T_D = 0$ | | | $T_N - T_B = 0$ |

2.3.2. Modelos aproximados de propiedades termodinámicas

Son los que se utilizan para calcular las constantes de equilibrio y las entalpías en el bucle interno. Los parámetros de estos modelos se determinan en el bucle externo, a partir de los valores proporcionados por modelos rigurosos. Los modelos aproximados en el método están diseñados para facilitar el cálculo de las temperaturas de la etapa y los factores de despojamiento.

■ Cálculo de los valores K

El modelo de valores K aproximado utilizado en el método de Russell (1983), difiere ligeramente del método original de Boston & Sullivan (1974). Se basa en seleccionar un componente de referencia b , que se va a considerar para el cálculo de las constantes de equilibrio a partir de la expresión:

$$K_{b,j} = \exp \left(A_j - \frac{B_j}{T_j} \right) \quad (2.35)$$

Se puede seleccionar como referencia b cualquier componente de la alimentación u otro componente hipotético, a partir de una ponderación de vapor-composición usando las siguientes relaciones:

$$K_{b,j} = \exp \left(\sum_i w_{i,j} \ln K_{i,j} \right) \quad (2.36)$$

$$w_{i,j} = \frac{y_{i,j} (\partial \ln K_{i,j} / \partial (1/T))}{\sum_i y_{i,j} (\partial \ln K_{i,j} / \partial (1/T))} \quad (2.37)$$

Para cada etapa j se determina un modelo K_b y valores de $\alpha_{i,j}$ a partir de los valores $K_{i,j}$ arrojados por los modelos rigurosos. En la etapa de superior, el componente base representaría un componente cercano a un componente ligero, mientras que en la etapa de fondo, el componente base representaría a un compuesto cercano a uno pesado.

Para obtener los valores de A_j y B_j en (2.35), dos temperaturas deben ser seleccionadas para cada etapa. Por ejemplo, se podrían seleccionar las temperaturas estimadas o reales, de las dos etapas adyacentes, $j - 1$ y $j + 1$. Llamando a estas T_1 y T_2 y empleando (2.35) en cada etapa j :

$$B_j = \frac{\ln (K_{b_{T_1}}/K_{b_{T_2}})}{\left(\frac{1}{T_2} - \frac{1}{T_1} \right)} \quad (2.38)$$

$$A_j = \ln K_{b_{T_1}} + B_j/T_1 \quad (2.39)$$

■ Cálculo de entalpías

Russell (1983) emplea el mismo modelo de entalpía de Boston & Sullivan (1972). Así, tanto para la fase vapor como para la fase líquida se tiene la expresión:

$$h = h_V^\circ + (h - h_V^\circ) = h_V^\circ - \Delta H \quad (2.40)$$

donde h_V° es la entalpía de mezcla de gases ideales.

Las partes que consumen mucho tiempo de los cálculos de entalpía son los dos términos de entalpía de partición ΔH , tornándose complejas cuando se emplea una ecuación de estado. Por lo tanto, en las ecuaciones aproximadas de entalpía, la entalpía de partición se sustituyen por las funciones lineales simples:

$$\Delta H_{V_j} = c_j - d_j (T_j - T^*) \quad (2.41)$$

$$\Delta H_{L_j} = e_j - f_j (T_j - T^*) \quad (2.42)$$

donde T^* es una temperatura de referencia y los parámetros c , d , e , y f se evalúan a partir de los modelos rigurosos en cada iteración de bucle exterior.

$$d_j = (H_{V_{j1}} - H_{V_{j2}})/(T_{j1} - T_{j2}) \quad (2.43)$$

$$c_j = H_{V_{j1}} - d_j (T_{j1} - T_j) \quad (2.44)$$

$$f_j = (H_{L_{j1}} - H_{L_{j2}})/(T_{j1} - T_{j2}) \quad (2.45)$$

$$e_j = H_{L_{j1}} - f_j (T_{j1} - T_j) \quad (2.46)$$

2.3.3. Algoritmo *Inside-Out*

El algoritmo consiste en un procedimiento de inicialización, las iteraciones de bucle interno y las iteraciones del bucle externo. Se muestra en la Figura 2.8 su diagrama de flujo general.

■ Procedimiento de Inicialización

En primer lugar, es necesario proporcionar estimaciones razonables de las variables P_j , T_j , V_j , L_j , $x_{i,j}$ y $y_{i,j}$, para cada etapa

1. Definir el número de etapas teóricas N , las condiciones de todas las alimentaciones (F_j , $z_{i,j}$, P_{F_j} , T_{F_j}), ubicación de alimentaciones en la columna, y el perfil de presión.
2. Establecer la ubicación para cada corriente lateral en cada etapa y para cada intercambiador de calor.
3. Proporcionar una especificación adicional para el producto de tope y fondo y cada intercambiador de calor intermedio.
4. Si no se especifica, estimar el flujo de cada corriente producto y/o lateral establecidos, y estimar cada valor de V_j . Obtener valores de L_j de la ecuación total de balance de materiales 2.20.

5. Estimar un perfil de temperatura inicial, T_j , esto se realizando partiendo de un cálculo de punto de burbuja y rocío a la presión promedio de la columna de una *alimentación compuesta* que se obtiene combinando todas las corrientes de alimentación. La temperatura de burbuja se establece como la temperatura de tope T_1 , mientras que la temperatura de rocío como la temperatura de fondo T_N . Luego por interpolación obtener las temperaturas de las etapas intermedias. Las temperaturas de referencia T^* adoptan los mismos valores de T_j para ser empleadas en (2.41) y (2.42).
6. Realizar un cálculo *Flash* isotérmico a la alimentación compuesta a la temperatura y presión promedio de la columna. Las composiciones del vapor y líquido resultantes x_i y y_i se establecen como las composiciones iniciales de las etapas.
7. Con los estimados iniciales de los primeros 6 pasos, emplear un modelo termodinámico formal para determinar los valores de los parámetros K y h que se emplean para la estimación de los parámetros del modelo termodinámico aproximado $A_j, B_j, c_j, d_j, e_j, f_j, K_{b,j}$ y $\alpha_{i,j}$ del bucle interno.
8. Determinar los valores iniciales de $S_{b,j}$, $R_{L,j}$, y $R_{V,j}$ a partir de (2.29), (2.30) y (2.31).

■ Secuencia de cálculo del Bucle Interno

A partir de este paso se da comienzo a la secuencia iterativa de los cálculos de bucle interno, con base a los valores de los parámetros enumerados en el paso 7, obtenidos inicialmente a partir del procedimiento de inicialización y después de los cálculos de los parámetros K y h a partir del modelo termodinámico riguroso.

9. Calcular los flujos de líquido por componentes $l_{i,j}$, a partir de las N ecuaciones (2.32) para cada uno de los componentes mediante el algoritmo de matriz tridiagonal (A.1).
10. Determinar $v_{i,j}$ a partir de la ecuación (2.33).
11. Evaluar nuevos valores de flujo para V_j y L_j , a partir de los flujos de componentes ya determinados en 9 y 10, utilizando las ecuaciones (2.21) y (2.22).
12. Para calcular un conjunto revisado de temperaturas etapa, T_j , calcular un conjunto de valores x_i para cada etapa a partir de 2.24. Luego un conjunto revisado de valores $K_{b,j}$ de una combinación de la ecuación de punto de burbuja $(\sum_i z_i K_i = 1)$ con (2.28), lo que resulta:

$$K_{b,j} = 1 / \sum_{i=1}^c (\alpha_{i,j} x_{i,j}) \quad (2.47)$$

A partir de estos nuevos valores de $K_{b,j}$ se calcula un grupo de temperatura de etapas a partir de un rearreglo de (2.35):

$$T_j = \frac{B_j}{A_j - \ln K_{b,j}} \quad (2.48)$$

En este punto del bucle interno, existe un conjunto revisado de $v_{i,j}$, $l_{i,j}$, y T_j , que satisfacen las ecuaciones de balance de materia por componente y balance de energía para las propiedades estimadas. No obstante, estos valores no satisfacen las ecuaciones de balance de energía y especificaciones al menos que los factores de despojamiento y las velocidades de retiros laterales estén correctas.

13. Seleccionar las variables de iteración como:

$$\ln S_{b,j} = \ln (K_{b,j} V_j / L_j) \quad (2.49)$$

$$\ln R_{L,j} = \ln (U_j / L_j) \quad (2.50)$$

$$\ln R_{V,j} = \ln (W_j / L_j) \quad (2.51)$$

junto con otras variables de iteración de ser necesario, como se muestra en la Figura 2.7. La transformación logarítmica se utiliza para mantener positivos los factores despojamiento y los factores de retiros laterales.

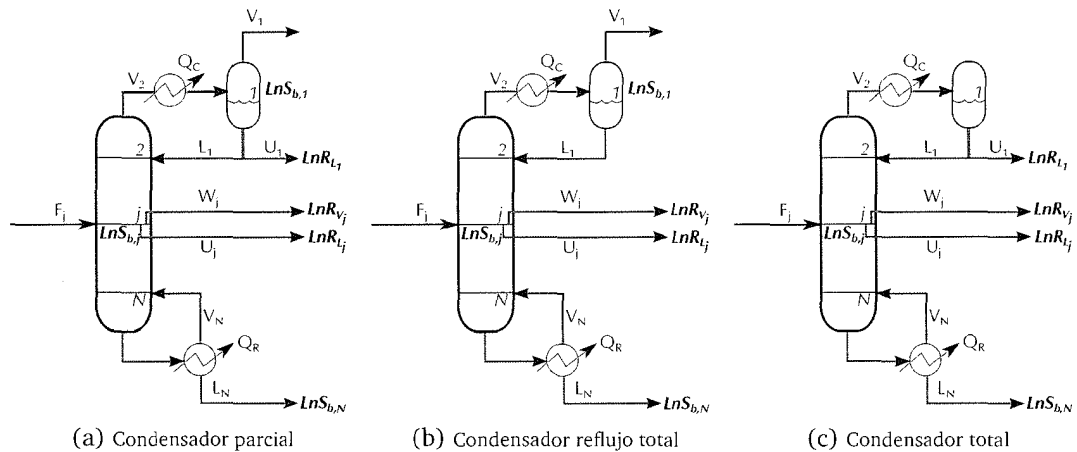


Figura 2.7: Selección de variables de iteración para distintas configuraciones

De la Figura 2.7 se puede observar que para una columna de destilación simple solo con productos de tope y fondo, no se necesitarían otras variables de iteración de bucle interno adicionalmente a los factores de despojamiento $\ln S_{b,j}$. Además se deben especificar los flujos de calor del condensador y rehervidor respectivamente. Sin embargo, en tal caso se establezcan otras especificaciones, por ejemplo, si se especifican la relación de reflujo (L/D) y velocidad de flujo de producto (B) en lugar de dos flujos de calor del condensador y el rehervidor (que es la situación más común), se debe sustituir el Balance de Energía respectivo de la etapa de tope (H_1) y fondo (H_N), determinados a partir de la ecuación (2.34) por las funciones de discrepancia como se estableció en (2.3.1) según sea el caso. Además para cada corriente lateral, se seleccionará su factor de retiro correspondiente (2.50 y/o 2.51) como una variable de iteración adicional en el bucle interno junto con una especificación de pureza u alguna otra variable asociada con dicha corriente.

14. Calcular entalpías a partir de las ecuaciones (2.40) a (2.42).
15. Calcular las funciones de energía H_j normalizadas de las ecuaciones de balance de energía (2.34), recordando cuando serán sustituidas con sus respectivas funciones según la Tabla (2.2). Para efectuar la normalización es necesario dividir las funciones por un factor de escalamiento (2.52), el cual es aproximadamente igual al calor latente de vaporización, esto se realiza con la finalidad de mantener los valores de las funciones dentro de un mismo orden de magnitud.

$$FH_j = (\Delta H_{V_j} - \Delta H_{L_j}) \quad (2.52)$$

16. Calcular el Jacobiano de las funciones de energía y/o discrepancias H_j , con respecto a las variables de iteración (2.49, 2.50, 2.51), perturbando cada variable de iteración y recalculando los valores de las funciones de energía y/o discrepancias desde el paso 9 al 15, mediante diferenciación numérica.

$$J_H = \begin{bmatrix} \frac{\partial H_1}{\partial \ln S_{b,1}} & \dots & \frac{\partial H_1}{\partial \ln S_{b,N}} & \frac{\partial H_1}{\partial \ln R_{L1}} & \dots & \frac{\partial H_1}{\partial \ln R_{LN}} & \frac{\partial H_1}{\partial \ln R_{V1}} & \dots & \frac{\partial H_1}{\partial \ln R_{VN}} \\ \frac{\partial H_2}{\partial \ln S_{b,1}} & \dots & \frac{\partial H_2}{\partial \ln S_{b,N}} & \frac{\partial H_2}{\partial \ln R_{L1}} & \dots & \frac{\partial H_2}{\partial \ln R_{LN}} & \frac{\partial H_2}{\partial \ln R_{V1}} & \dots & \frac{\partial H_2}{\partial \ln R_{VN}} \\ \vdots & \vdots \\ \frac{\partial H_N}{\partial \ln S_{b,1}} & \dots & \frac{\partial H_N}{\partial \ln S_{b,N}} & \frac{\partial H_N}{\partial \ln R_{L1}} & \dots & \frac{\partial H_N}{\partial \ln R_{LN}} & \frac{\partial H_N}{\partial \ln R_{V1}} & \dots & \frac{\partial H_N}{\partial \ln R_{VN}} \end{bmatrix} \quad (2.53)$$

17. Calcular las correcciones a las variables de iteración del bucle interno mediante iteración Newton-Raphson (A.2).

18. Determinar los nuevos valores de las variables de iteración a partir de la suma de los valores anteriores a partir de (A.18), utilizando factor de amortiguamiento (A.21) de ser necesario necesario para reducir la suma de cuadrados de las discrepancias normalizadas (A.19). Para la búsqueda del factor de amortiguamiento óptimo es posible emplear el método de minimización de Brent.
19. Verificar si la suma de los cuadrados de las funciones de discrepancia es lo suficientemente pequeña, es decir, menor que una tolerancia ϵ establecida para el bucle interno. De ser así, se procede al procedimiento de cálculo del bucle externo. Si no, repetir los pasos 15 a 18 utilizando el último valor de la variable de iteración.
20. Después de la convergencia de los pasos 15 a 19, los pasos 8 hasta 12 habrán producido un conjunto mejorado de variables primitivas $x_{i,j}$, $y_{i,j}$, $v_{i,j}$, $l_{i,j}$, T_j , V_j y L_j . Estas variables primitivas serán los datos de entrada a los cálculos de bucle externo. Los valores de estas variables no estarán correctos hasta que las propiedades termodinámicas aproximadas concuerden con las propiedades de los modelos rigurosos.

■ **Secuencia de Cálculo del Bucle Externo**

Cada bucle externo procede de la siguiente manera:

21. Utilizando los valores de las variables primitivas del paso 20, calcular las volatilidades relativas y entalpías de las corrientes mediante los métodos termodinámicos rigurosos (MTR). Si la diferencia relativa de $\alpha_{i,j}$ determinadas por el método termodinámico aproximado (MTA) respecto a las calculadas con los MTR es menor que la tolerancia establecida para el bucle externo ϵ_2 como lo expresa la ecuación 2.54, tanto el bucle interno como el externo se consideran que han convergido, y el problema esta resuelto. Si no, ir al paso 22.

$$\tau = \sum_{i=1}^n (\alpha_{i,jMTA} - \alpha_{i,jMTA}/\alpha_{i,jMTA})^2 \leq \epsilon_2 \quad (2.54)$$

22. Determinar los valores de los parámetros K y h del bucle iterativo externo a partir los MTR, tal como como en la etapa de inicialización 7.
23. Calcular los valores de $S_{b,j}$, R_{Lj} y R_{Vj} , como en el paso de inicialización 8 e iniciar una nueva secuencia de cálculo de bucle interno en el paso 9.

Algunas dificultades de convergencia surgen principalmente debido a pobres estimaciones iniciales y/o especificaciones de la columna que no se logren alcanzar. Aunado a estas dificultades se encuentran la gran variación en la magnitud relativa de las variables, errores de redondeo, y las matrices dispersas que resultan de las ecuaciones.

Las estimaciones iniciales pobres se traducen en flujos negativos o cero en ciertos lugares de la columna. Para contrarrestar esta tendencia, todos los factores de despojamiento por componentes utilizan un multiplicador escalar, S_b , llamado factor de despojamiento base, lo que resulta en:

$$S_{i,j} = S_b \alpha_{i,j} S_{b,j} \quad (2.55)$$

El valor de S_b se elige inicialmente para forzar a los resultados del procedimiento de inicialización para establecer una distribución razonable de los flujos de los componentes a lo largo de la columna. Boston & Sullivan (1974) recomiendan calcular un nuevo S_b para cada nuevo conjunto de valores de $S_{b,j}$ mientras que Russell (1983) recomienda que S_b se calcule sólo una vez.

Con la precisión superior y las capacidades de los métodos modernos, una columna de destilación no debe ser diseñada sin ellos. Un cálculo realizado por un método aproximado es inferior en cuanto a precisión, y en algunos casos puede dar resultados falsos. En trabajos de diseño de columnas el papel de los cálculos cortos se limitan a la eliminación de las opciones menos deseables de diseño, proporcionando al diseñador una estimación inicial para utilizar seguidamente los métodos rigurosos y dar solución de problemas de diseño final. Así, los métodos rigurosos se utilizan como técnica principal en el diseño primario y optimización (Kister, 1992; Seader et al., 2011).

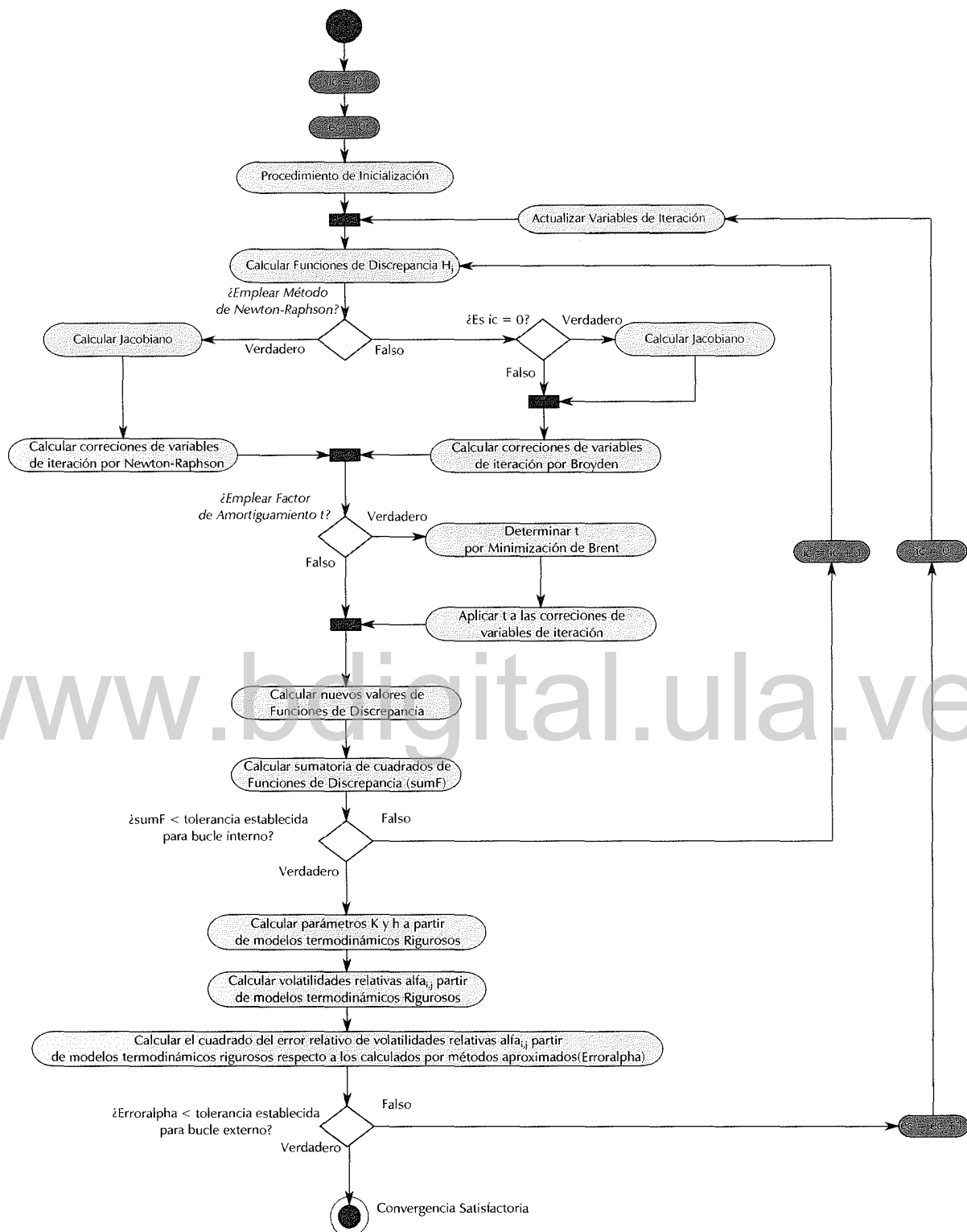


Figura 2.8: Diagrama de flujo general del algoritmo INSIDE-OUT de RUSSELL (1983)

La columna de destilación es probablemente la unidad más sofisticada en la simulación de procesos químicos. La disponibilidad de las computadoras ha hecho posible el uso de los métodos de solución riguroso para columnas de destilación basados en el modelo de etapa de equilibrio para sistemas multicomponentes.

Dentro de la clasificación de los distintos métodos rigurosos aplicados para la simulación de columnas de destilación, se mencionó un conjunto de métodos en particular, los métodos homotópicos y los métodos basados en velocidades de transferencia de masa o de No-equilibrio. El modelado de columnas de destilación basados en estos últimos pueden superar en cierta medida las deficiencias de los otros métodos. Por ejemplo, los métodos homotópicos resultan particularmente eficientes para soluciones líquidas altamente no ideales y cuando se tienen pobres estimados iniciales, mientras que los métodos de No-equilibrio, superan las deficiencias del modelo de etapa de equilibrio al incluir parámetros de transferencia de masa dentro del conjunto de ecuaciones MESH, con la finalidad de desarrollar un modelo más adaptado a la realidad (Perry & Green, 2008; Kister, 1992).

A pesar de las grandes ventajas que estos métodos pueden brindar. Una gran limitación de los métodos homotópicos por ejemplo, es su consumo de cómputo y de tiempo para presentar una solución. Los métodos basados en el modelo de No-equilibrio requieren el conocimiento de parámetros críticos, tales como los datos de transferencia de masa, o la geometría del dispositivo de contacto y que comparado con los modelos de etapa de equilibrio estos últimos pueden ser calculados independientemente de datos de la geometría de la columna o de los parámetros de transferencia de masa (Kooijman & Taylor, 2000; Kister, 1992).

Esto conduce a que los modelos clásicos de la etapa de equilibrio sean los más prácticos y los más utilizados. En particular el método *Inside-Out* Russell (1983) resulta más simple de implementar en comparación con los modelos homotópicos y de No-equilibrio. Aunque la convergencia del método *Inside-Out* no está garantizada, el método posee una robustez razonable y funciona adecuadamente con la mayoría columnas fraccionadoras empleadas en la industria petrolera nacional, además de que es computacionalmente eficiente (Seader et al., 2011; Kister, 1992).

Por estas razones se elige al método *Inside-Out* de Russell (1983) para su codificación e implementación dentro de DWSIM con base en su arquitectura de software.

Capítulo 3

Arquitectura del Simulador de Procesos DWSIM

En el capítulo 1 se resaltó que la simulación de procesos químicos está naturalmente vinculada al uso de programas de computador denominados simuladores y que éstos difieren ampliamente en su arquitectura e implementación. Pero a pesar de estas diferencias, la mayoría de los simuladores que se utilizan actualmente son aplicaciones monolíticas cerradas que se basan en arquitecturas de *software* tradicionales (Barrett et al., 2007; Pernalete et al., 2012).

A lo largo de los últimos años, se han propuesto nuevas arquitecturas para el desarrollo y la implantación de *software* complejo así como el desarrollo de nuevos lenguajes de programación, algunos de los cuales han ganado un enorme éxito en los últimos años (Braunschweig & Gani, 2002). De esta manera por un lado se introduce un nuevo tipo de paradigma de programación adoptado por la comunidad de desarrolladores denominado programación orientada a objetos (POO), el cual implica la creación de modelos del mundo real y la construcción de programas informáticos basados en esos modelos. Por otro lado la introducción de un nuevo tipo de arquitectura para simuladores de procesos basada en estándares abiertos definidos en términos del diseño conceptual mencionado en la sección 1.2.3.

Tal es el caso de DWSIM, un simulador de procesos químicos en estado estacionario que está desarrollado bajo este nuevo paradigma de programación inspirado además en un PME basado en arquitectura CAPE-OPEN planteada por Barrett & Yang (2005) centrada en ofrecer interoperabilidad entre componentes de software de un simulador de procesos químicos. Además DWSIM es una aplicación que se destaca por ser el único simulador de procesos químico a nivel mundial disponible bajo licencia libre y compatible con los estándares CAPE-OPEN, brindando las ventajas discutidas anteriormente en la sección 1.2.2. DWSIM fue creado en 2006 por el Ingeniero Daniel Wagner Oliveira de

Medeiros y actualmente siendo desarrollado junto con Gregor Reichert y Gustavo León. Las actividades relacionadas con el desarrollo de DWSIM se actualizan regularmente en <http://dwsim.inforside.com.br/blog/index.php> (Wagner, 2006).

El siguiente capítulo tiene como finalidad la descripción de la arquitectura del simulador de procesos DWSIM junto con una breve descripción del código fuente, para la cual fue necesario apoyarse en la ingeniería inversa, mediante el análisis sintáctico de su código fuente, extrayendo los aspectos generales importantes del simulador. De esta manera se logró comprender la organización general del simulador e identificar los componentes específicos involucrados para la simulación de columnas de destilación.

De acuerdo al nivel de responsabilidad dentro del desarrollo de *software*, son muchas las partes involucradas y de interés en su arquitectura (Kroll & Kruchten, 2003). Una única representación de la arquitectura del sistema resultaría demasiado compleja y poco útil, pues contendría mucha información irrelevante. Es por ello que se plantea la necesidad de representaciones que contengan únicamente elementos que resultan de importancia mediante el uso de vistas arquitectónicas.

Buschmann et al. (2007) establece que una vista arquitectónica representa un aspecto parcial de una arquitectura de software, que muestra propiedades específicas del sistema. Así, se puede definir a una vista arquitectónica como una descripción simplificada o abstracción de un sistema desde una perspectiva específica, que cubre intereses particulares y omite entidades no relevantes a esta perspectiva (Kroll & Kruchten, 2003).

En este sentido, se puede representar DWSIM en una vista arquitectónica general, sobre la cual es posible identificar los elementos principales del simulador de procesos y una vista arquitectónica más específica donde se identifican las clases y objetos relevantes involucrados en la simulación del proceso de destilación.

3.1. Vista Arquitectónica General

Una vista general de la arquitectura del simulador se presenta en la Figura 3.1. La aplicación consta de 3 elementos principales, Ejecutivo del Simulador, Módulo de Serialización y La Interfaz Gráfica de Usuario (GUI).

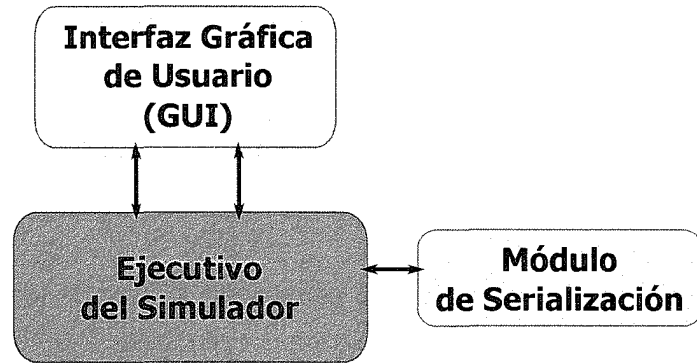


Figura 3.1: Arquitectura General de DWSIM

- Ejecutivo del Simulador:

Considerado el corazón del sistema. Su función es gestionar tanto las tareas de cálculo y de intercambio de datos, como por ejemplo las secuencia de cálculo, la recuperación de los parámetros de propiedades físicas y termodinámicas, rutinas para las operaciones unitarias, seguimiento para la convergencia y gestión del sistema de archivos de datos, así como las bibliotecas de clases de componentes que implementan la funcionalidad especificada para las interfaces CAPE-OPEN.

- Módulo de Serialización

Forma una unidad lógica o biblioteca que permite controlar cómo los objetos y estructuras de datos se traducen en un formato específico legible para el usuario que puede ser almacenado en memoria o transmitido por una conexión, proceso que se conoce como serialización (*marshalling* en inglés). La serialización es un mecanismo usado en gran medida para transportar objetos a través de una red, para hacer persistente un objeto en un archivo o base de datos, o para distribuir objetos a varias aplicaciones o localizaciones (McMonnies, 2004).

- La Interfaz Gráfica de Usuario (GUI)

Su función principal consiste en proporcionar el entorno visual para permitir la comunicación del usuario con el simulador. DWSIM por seguir una estrategia de solución modular secuencial, su GUI, se encarga de ayudar a dibujar el diagrama de flujo de proceso, proveer al usuario mediante un conjunto de imágenes y objetos gráfico, las distintas ventanas para introducir las especificaciones para las operaciones unitarias, así como la configuración de paquetes de cálculos termodinámicos y rutinas de cálculo para la simulación.

3.2. Arquitectura del Ejecutivo del Simulador

Dentro del ejecutivo del simulador de DWSIM se encuentran los bloques de código que conforman las partes principales de la aplicación. A nivel de POO, estos bloques pueden ser representados como módulos o un conjunto de funciones relacionadas denominados objetos.

Las tecnologías orientadas a objetos se han convertido en uno de los motores clave de la industria del software. El desarrollo de programas orientados a objetos es un enfoque diferente del mundo informático que supera y amplían conceptos antiguos de la programación estructurada tradicional, en la que los datos y los procedimientos están separados y sin relación. Implica la creación de modelos del mundo real y la construcción de programas informáticos basados en esos modelos (Aguilar, 2003).

En este sentido, el ejecutivo de simulación de DWSIM se divide en objetos auto contenidos que representa una parte diferente de la aplicación. Sin embargo en la POO, desde el punto de vista técnico se habla de *clases* y no de *objetos*, dado que las clases equivalen a modelos o plantillas que describen cómo se construyen dichos objetos. Cada vez que se construye un objeto a partir de una clase se está creando lo que se denomina una instancia de esa clase (McMillan, 2004). Por consiguiente, los objetos no son más que instancias de una clase. En un contexto del mundo real, se puede pensar en "Columna" como una clase y una columna concreta con determinadas dimensiones, número de etapas y determinadas especificaciones como una instancia de esta clase "Columna".

3.2.1. Diagrama de Clases del Ejecutivo del Simulador

Una clase por lo general representa un sustantivo, lugar o cosa. Describe lo que será un objeto, pero no es el objeto en sí. Es el modelo de un concepto dentro de un programa de computadora. Fundamentalmente, delimita los posibles estados y define el comportamiento del concepto que representa (Aguilar, 2003; McMillan, 2004). Encapsula el estado a través de espacios de almacenaje de datos llamados atributos o, lo que es lo mismo, sus propiedades o características, y encapsula el comportamiento a través de secciones de código llamadas métodos que acceden a los atributos de una manera predefinida (McMillan, 2004).

En la Figura 3.2 se muestra el diagrama de clases general de DWSIM donde describe la estructura del ejecutivo del simulador mostrando algunas de sus clases principales. El diagrama de clases es la descripción más importante y más utilizada de un sistema orientado a objetos. La recuperación del diagrama de clases a partir del código fuente es una

tarea difícil. La decisión acerca de cuáles son los elementos para mostrar u ocultar afecta profundamente a la capacidad de uso del diagrama (Tonella & Potrich, 2005).

www.bdigital.ula.ve

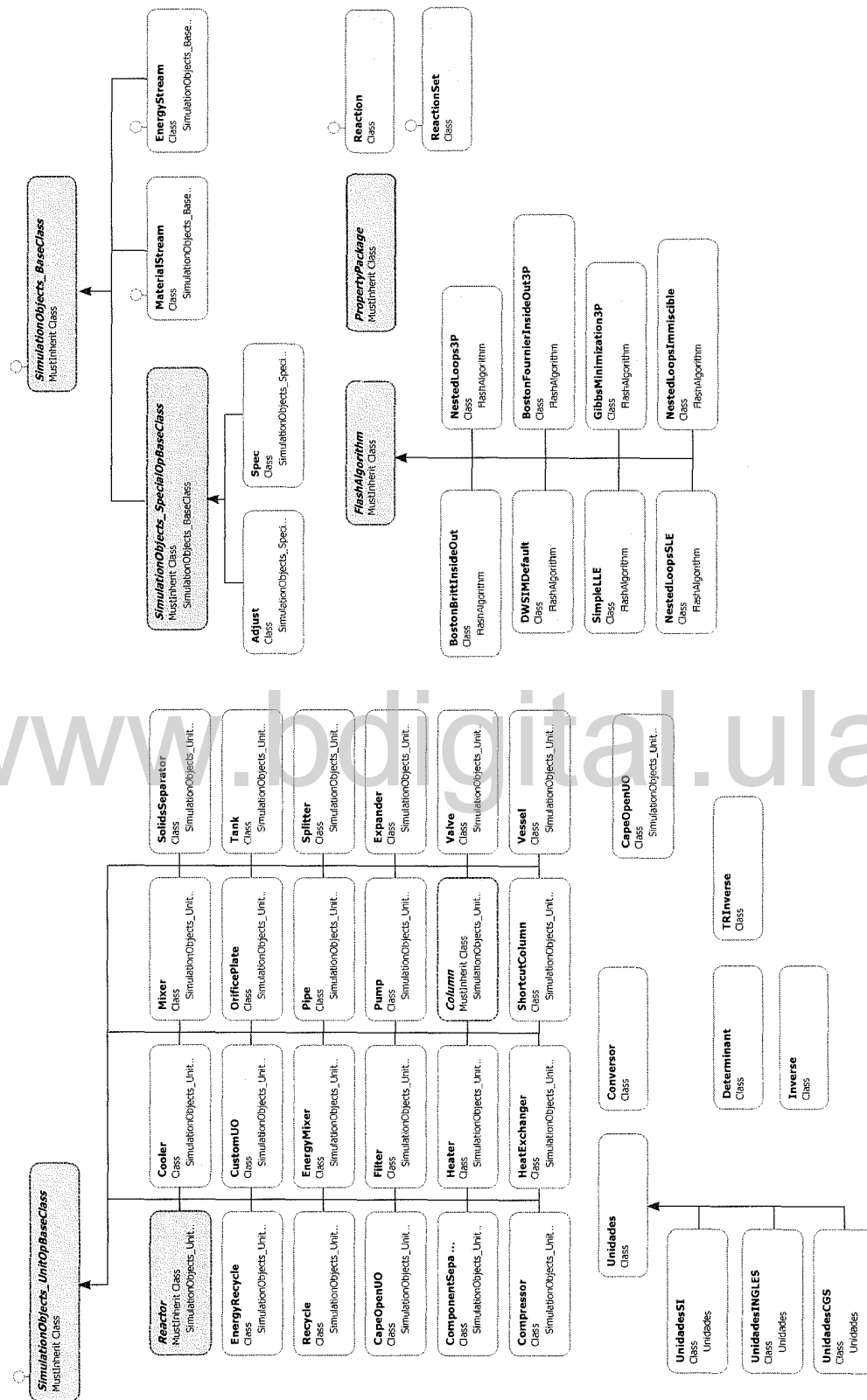


Figura 3.2: Diagrama de Clases Simplificado de DWSIM

En este diagrama se observa las clases de los componentes de modelado de proceso (PMC) para su uso dentro de la interfaz gráfica de usuario, es decir, sobre el diagrama de flujo dentro de la simulación. Se muestra las clases específicas tales como las correspondientes a los modelos de propiedades termodinámicas (PropertyPackage, FlashAlgorithm), las clases de reacciones químicas (Reaction, ReactionSet), algunas rutinas de cálculo matricial (TRInverse, Determinant, Inverse). También la clase de operación unitaria que implementa la funcionalidad especificada para las interfaces CAPE-OPEN (CapeOpenUU). Existen otras clases que actúan como clases auxiliares de los PMC, que por fines prácticos no se muestran en el diagrama. No obstante, se muestra un completo diagrama de clases de DWSIM en el Apéndice C.

Aunado a esto se observa que las clases se organizan en una estructura arbórea siguiendo una jerarquía. En este sentido, las clases base se dividen en subclases empleando el concepto de herencia, el cual es una relación que se da entre una clase general y otra clase más específica (McMillan, 2004). Así, las clases derivadas o de menor jerarquía heredan las características (atributos y métodos) de su clase base o clases superiores.

Cada clase contiene cierto número de atributos, cada uno de los cuales tendrá, a su vez, uno o varios valores. En la POO, los atributos corresponden a las clásicas "variables" de la programación estructurada. Son, por lo tanto, datos encapsulados dentro del objeto. Los atributos de un objeto pueden tener un valor único o pueden contener un conjunto de valores mas o menos estructurados (matrices, vectores, listas, etc.), que además pueden ser de un determinado tipo (*integer, string, float, char .etc*) (Aguilar, 2003; McMonnies, 2004). Junto con los atributos de las clases se encuentran los métodos, que son funciones que operan sobre los atributos de los objetos, y proporcionan el comportamiento del objeto (Tonella & Potrich, 2005).

3.2.2. Diagrama de Objetos de Columna de Destilación

La clase *SimulationObjects_UnitOpBaseClass* es la que contiene las características comunes a los PMC de operaciones unitarias concretas utilizadas, es una clase de la que no se puede crear objetos, la utilidad de estas clases estriba en que otras clases hereden de ésta. Dentro de la categoría de PMC destinados para la simulación de operaciones unitarias, se encuentra la clase *Column*, ésta hereda los atributos y métodos de la clase madre *SimulationObjects_UnitOpBaseClass* y a su vez se deriva la subclase *DistillationColumn* la cual contienen atributos y métodos adicionales para la instanciación e inicialización de una la columna de destilación.

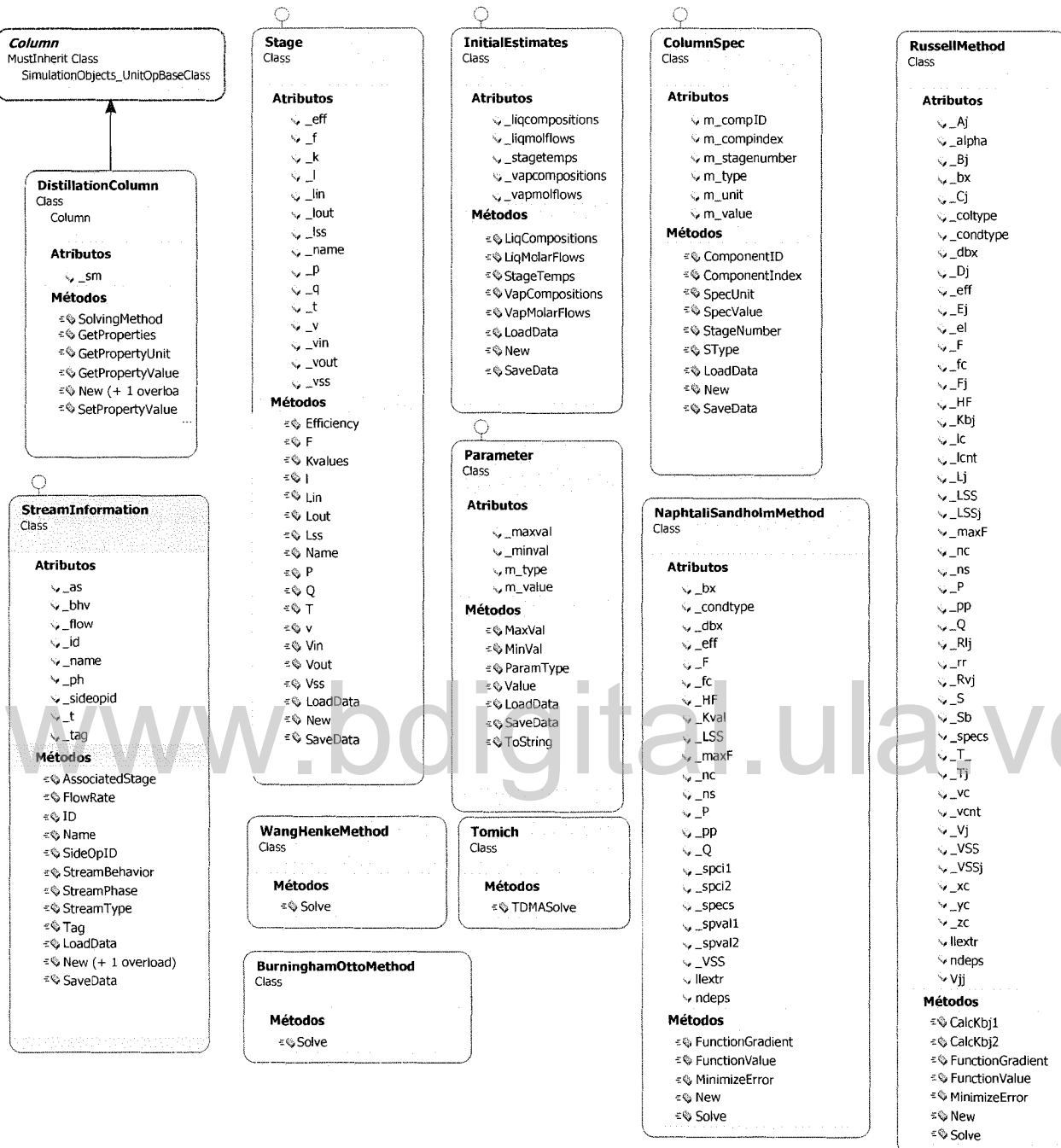


Figura 3.3: Clase DistillationColumn

La clase `DistillationColumn` mediante sus métodos es capaz de interactuar con otros clases que se muestran en la Figura 3.3, descritas brevemente en la Tabla 3.1, los cuales hacen posible el modelaje y simulación del proceso de destilación multicomponente en

estado estacionario. Por otra parte, se muestra una descripción de los métodos miembro de la clase `RussellMethod` en la Tabla 3.2.

Tabla 3.1: Funciones de las clases que interactúan con *DistillationColumn*

| Nombre de la clase | Función |
|-------------------------------------|---|
| <code>Stage</code> | Modelar la etapa de equilibrio que compone la columna de destilación. Gestiona la información referente a los distintos parámetros involucrados en las ecuaciones de Balance de materia y Energía. |
| <code>InitialEstimates</code> | Gestiona los valores iniciales para flujos de vapor, flujos de líquido, perfil de temperatura y perfil de presión de la columna de destilación. |
| <code>ColumnSpec</code> | Maneja la información relacionada con los valores establecidos por el usuario para las especificaciones de la columna de destilación así como el conjunto de ecuaciones y funciones de discrepancias. |
| <code>Parameter</code> | Clase auxiliar que emplea métodos para devolver valores máximos y mínimos de un conjunto de datos. |
| <code>Tomich</code> | Clase auxiliar donde se implementa el método de resolución matriz tridiagonal detallado en A.1. |
| <code>StreamInformation</code> | Gestiona la información de las distintas corrientes de materia y energía que se encuentren acopladas con la columna de destilación. |
| <code>WankHenkeMethod</code> | Clase en donde se implementa el método riguroso de punto de burbuja BP desarrollado por Wang & Henke (1966) descrito en la sección 2.2.1. |
| <code>BurninghamOttoMethod</code> | Clase en donde se implementa el método riguroso de suma de caudales SR desarrollado por Burningham & Otto (1967) descrito en la sección 2.2.1. |
| <code>NaphtaliSandholmMethod</code> | Clase en donde se implementa el método riguroso de corrección simultánea desarrollado por Naphtali & Sandholm (1971) descrito en la sección 2.2.1. |
| <code>RussellMethod</code> | Clase en donde se implementa el método riguroso Inside-Out desarrollado por Russell (1983) descrito en la sección 2.3. |

Tabla 3.2: Métodos miembro de la clase RUSSELLMETHOD

| Nombre del método | Función |
|-------------------|--|
| CalcKbj1 | Método que se encarga de determinar y devolver los valores de $K_{b,j}$ discutido en 2.3.2, a partir de un método simplificado. |
| CalcKbj2 | Método que se encarga de determinar y devolver los valores de $K_{b,j}$ discutido en 2.3.2, a partir del modelo de la ecuaciones 2.36 y 2.37. |
| FunctionValue | Método que se encarga de determinar y devolver los valores de las funciones de discrepancia H_j discutido en la sección 2.3.3. abarca el paso 7 hasta 15. |
| FunctionGradient | Se encarga de determinar y devolver los valores de los elementos diferenciales del Jacobiano invocando al método FunctionValue empleando diferencias finitas descrito en el paso 16. |
| MinimizeError | Se encarga de determinar y devolver el valor del factor de amortiguamiento t de la ecuación A.21 empleando el algoritmo de minimización de Brent. |
| Solve | Método principal que implementa el completo Algoritmo Inside-Out de Russell (1983) detallado en la sección 2.3.3. Este método encapsula los métodos anteriores, invocándolos según cuando sea necesario, excluyendo el procedimiento de inicialización. |
| New | Un método especial reservado del lenguaje de programación es una subrutina por defecto cuya función es construir el objeto de la clase RussellMethod. A pesar de que se trata de un método sin parámetros, este será invocado cada vez que se construya un objeto sin especificar ningún argumento, en cuyo caso el objeto será iniciado con los valores predeterminados por el sistema. |

3.3. Breve Descripción del Código Fuente de DWSIM

El código fuente completo y actualizado de **DWSIM** se almacena de forma pública en la plataforma de desarrollo colaborativo de software *GitHub* para alojar proyectos utilizando el sistema de control de versiones Git <https://github.com/DanWBR/dwsim3>. DWSIM está desarrollado bajo el lenguaje de *Visual Basic .NET* orientado a objetos (VB.NET), y que puede ser compilado con el entorno de desarrollo integrado (IDE) Visual Basic 2010 en su edición express ó el IDE bajo licencia libre *SharpDevelop* 4. El código fuente de DWSIM dispone de contenedores que administran los elementos necesarios para el desarrollo, como referencias, conexiones de datos, carpetas y archivos. Estos contenedores se denominan

soluciones y proyectos. Así, el archivo de solución principal de DWSIM contiene propiedades que se pueden acceder mediante el explorador de soluciones del IDE que permite ver y administrar sus proyectos asociados.

En la Figura 3.4 se muestra una instantánea fotográfica del archivo solución del código fuente de DWSIM donde se pueden identificar 6 proyectos, asociados a cada componente de la arquitectura general descrita en la Figura 1.2.3. DWSIM y NaturalGasPlugin, son proyectos asociados al Ejecutivo del Simulador, el proyecto CustomXMLLoader con el Módulo de Serialización de DWSIM y los proyectos restantes DesignSurface, GraphicObjects, PropertyGridEx están asociados al la Interfaz Gráfica de Usuario (GUI).

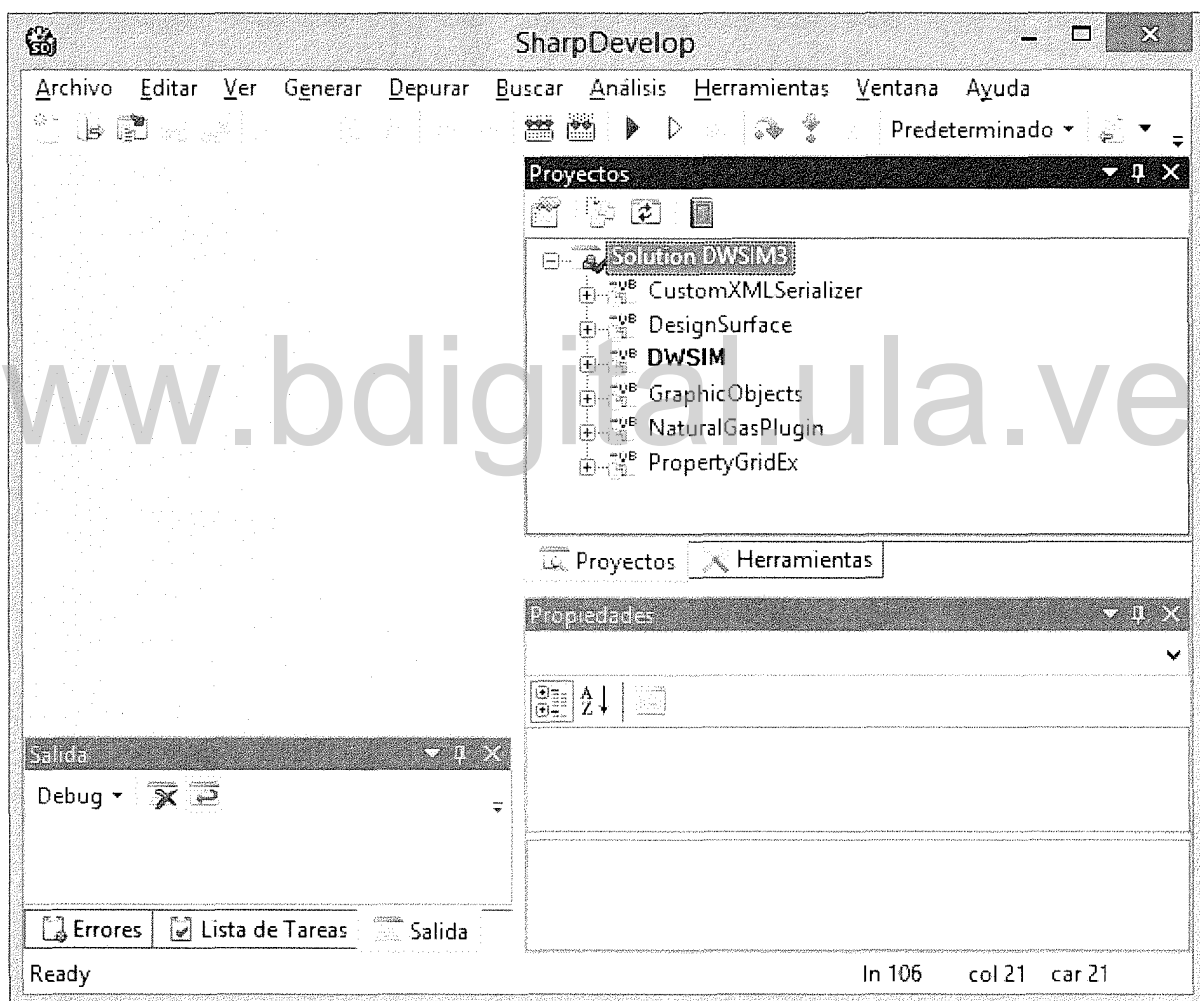


Figura 3.4: Instantánea fotográfica del explorador de solución para DWSIM 3 en *SharpDevelop 4*

Dentro del proyecto DWSIM se encuentran contenidos los archivos *Scripts* del Ejecutivo del Simulador, específicamente los relacionados con las clases descritas en la sección 3.2.1. Los archivos *Scripts* *RigorousColumn.vb* y *RigorousColumnSolver.vb*. Estos archivos contienen los códigos de las clases descritas en la sección 3.2.2 relacionadas con los cálculos rigurosos de la columna de destilación, los cuales fueron modificados para efectos de este trabajo (Apéndice E) tomando como referencia los diagramas de actividades desarrollados en el Apéndice B. En la Figura 3.5 se muestra la localización de ambos archivos dentro del proyecto DWSIM.

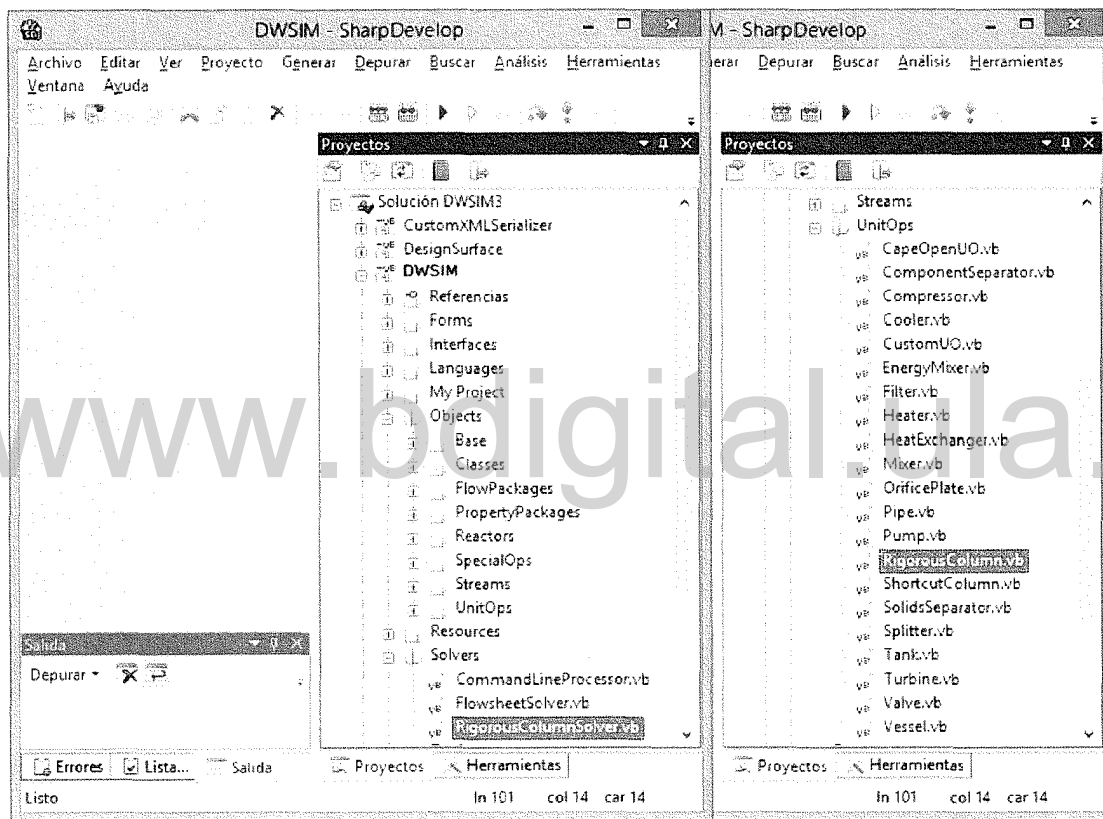


Figura 3.5: Localización de archivos *Scripts* *RigorousColumn.vb* y *RigorousColumnSolver.vb* dentro del proyecto DWSIM del código fuente

De la descripción de las clases, objetos y código fuente, se puede concluir que DWSIM es un software de simulación de procesos sofisticado, y no una colección de algoritmos desorganizados para la resolución de los balances de materia y energía de las diferentes operaciones unitarias. El simulador de procesos DWSIM al estar desarrollado bajo una

tecnología basada en objetos, permite dar un tratamiento sobre las clases de interés para el programador.

Por otra parte DWSIM cuenta con los elementos necesarios para simular columnas de destilación rigurosa exhibiendo las ventajas reconocidas del software libre. Esto permite a los usuarios ver cómo se realizan realmente los cálculos durante una simulación del proceso de destilación mediante el estudio de su código fuente, lo que brinda una mejor comprensión y llevar a cabo adaptaciones con base a requerimientos propios o mejoras mediante su modificación. DWSIM por otra parte es compatible con los estándares CAPE-OPEN lo que habilita la posibilidad de desarrollar, incorporar y utilizar componentes de simulación externos compatibles con el estándar.

www.bdigital.ula.ve

Capítulo 4

Casos de Estudio

Una vez realizado el estudio de la arquitectura general del simulador de procesos DWSIM, se logró identificar e inspeccionar las distintas clases y métodos involucrados en el modelado y simulación de columnas de destilación. Y de esta manera realizar la implementación del algoritmo Inside-Out de Russell (1983) a través de su codificación y posterior mejora. En esta sección de discuten los casos de estudio empleados para la verificación y validación del algoritmo de resolución de columna de destilación implementado en DWSIM.

4.1. Casos de Estudio de Literatura

Los casos descritos en la Tabla 4.1, donde se muestran las especificaciones y configuración de las columnas de destilación, se efectuaron con la finalidad de demostrar la consistencia interna del código implementado en el simulador de procesos DWSIM, es decir, comprobar que la implementación del código corresponde al algoritmo Inside-Out basado en el modelo de etapas de equilibrio. Para ello, se realizó la lectura del código junto con un proceso de inspección en tiempo de ejecución para evaluar variables y expresiones, proceso denominado depuración de código (*debugging*) (Aguilar, 2003). De esta manera verificar que se han introducido adecuadamente los datos y la lógica del método Inside-Out de Russell (1983). Los resultados arrojados por la implementación realizada en DWSIM se compararon con los resultados arrojados por los modelos Inside-Out de otros dos simuladores privativos, en este caso, el simulador de procesos químicos PRO/II® y el simulador ChemSep™ en su versión gratuita. Los archivos de simulación están disponibles para descargar por medio del siguiente enlace <http://bit.ly/1iBoSnG>. (*Password*: DWSIM).

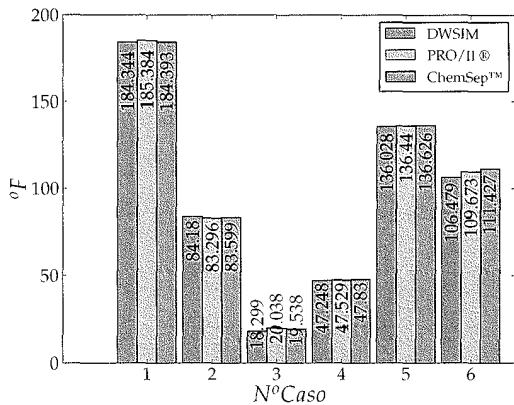
Tabla 4.1: Características de Casos de Estudio de Literatura

| | Caso 1 | Caso 2 | Caso 3 | Caso 4 | Caso 5 | Caso 6 |
|------------------------------------|--|--|--|--|--|--|
| Presión de Columna (psi) | 16,17 | 100,00 | 400 | 20 | 290,08 | 239,31 |
| Número de Etapas de Equilibrio | 10 | 5 | 13 | 30 | 31 | 16 |
| ΔP Caída de Presión (psi) | 0,00 | 0,00 | 0,00 | 5 | 0,00 | 0,00 |
| Tipo de Condensador | Total  | Total  | Full-Reflex  | Total  | Total  | Parcial  |
| Vapor Producto de Tope (lbmol/h) | - | - | 530,000 | - | - | 33,071 |
| Líquido Producto de Tope (lbmol/h) | 46,54 | 50,000 | - | 14,08 | 110,7 | 11,023 |
| Producto de Fondo (lbmol/h) | 46,69 | 50,000 | 270,000 | 39,94 | 330,30 | 88,184 |
| Retiro Lateral Líquido (lbmol/h) | - | - | - | 19,53 | - | 6,614 |
| Etapa del Retiro de Líquido | - | - | - | 10 | - | 3 |
| Retiro Lateral Vapor (lbmol/h) | - | - | - | 24,78 | - | 81,571 |
| Etapa del Retiro de Vapor | - | - | - | 24 | - | 13 |
| Relación de Reflujo | 2,00 | 2,00 | 1,89 | 20,00 | 6,00 | 4,24 |
| Alimentaciones | 1 | 1 | 1 | 1 | 1 | 1 |
| Metano (lbmol/h) | - | - | 160,00 | - | - | - |
| Etano (lbmol/h) | - | - | 370,00 | - | - | 5,51 |
| Propano (lbmol/h) | - | 30,000 | 240,00 | - | 110,23113 | 30,86 |
| N-butano (lbmol/h) | - | 30,000 | 25,00 | 14,08 | 110,23113 | 41,89 |
| Isobutano (lbmol/h) | - | - | - | - | 110,23113 | - |
| N-pentano (lbmol/h) | - | 40,000 | 5,00 | 19,53 | 110,23113 | 11,02 |
| N-hexano (lbmol/h) | - | - | - | 24,78 | - | 66,14 |
| N-octano (lbmol/h) | - | - | - | 39,94 | - | - |
| Benceno (lbmol/h) | 46,62 | - | - | - | - | - |
| Tolueno (lbmol/h) | 46,62 | - | - | - | - | - |
| Presión de Alimentación (psi) | 16,17 | 100,00 | 400,00 | 25,00 | 290,08 | 239,31 |
| Temperatura de Alimentación (°F) | Temp. de Burbuja | Temp. de Burbuja | 105,00 | 150,00 | 207,77 | 151,79 |
| Etapa de Alimentación | 5 | 3 | 7 | 14 | 13 | 6 |

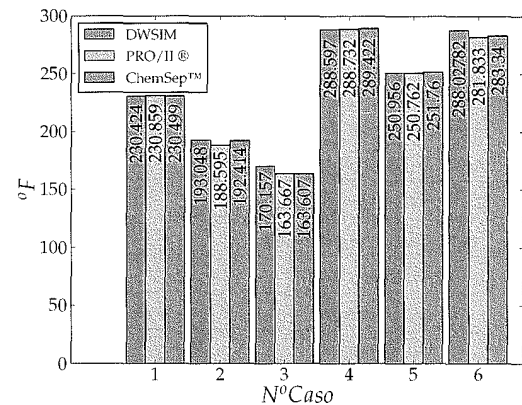
Primero se realizó una comparación global de los distintos casos tomando como referencia los valores obtenidos por el algoritmo. Se establecieron como variables de comparación las temperaturas, los flujos de calor tanto del condensador como del rehervidor así como el número de iteraciones obtenidos por cada uno de los simuladores, los que se muestran en las Figuras 4.1-4.3.

Se confirma claramente la reproducibilidad de los datos arrojados simuladores de procesos. Se muestra concordancia entre los valores de temperaturas y flujos de calor predichos por cada simulador en las Figuras 4.1 y 4.2. Sin embargo para el caso número 5 se observan

diferencias significativas en los valores de flujos de calor arrojados por DWSIM en comparación con los reportados por PRO/II® y ChemSep™, específicamente una diferencia de aproximadamente $-0,737 \text{ MMBTU/h}$ respecto al valor promedio $-3,92 \text{ MMBTU/h}$ de flujo de calor en el condensador y una diferencia de $0,3724 \text{ MMBTU/h}$ respecto al valor promedio de $4,35 \text{ MMBTU/h}$ de flujo de calor para el rehervidor. Seguidamente del caso número 6 donde existe una leve diferencia significativa con respecto a los valores arrojados por ChemSep™.

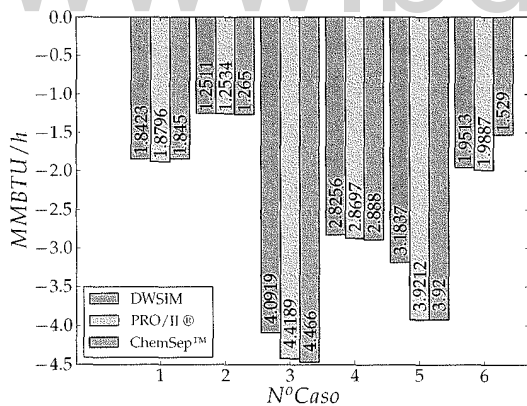


(a) Temperaturas de Condensador

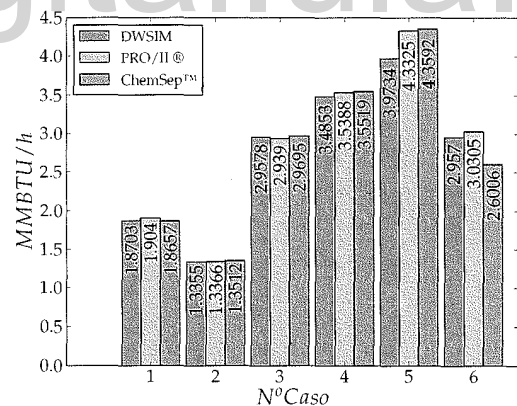


(b) Temperaturas de Rehervidor

Figura 4.1: Comparación Temperaturas para Casos de Literatura



(a) Flujos de Calor de condensador



(b) Flujos de Calor de Rehervidor

Figura 4.2: Comparación Flujos de Calor para Casos de Literatura

Estas desviaciones en la práctica, por ejemplo en el área de diseño, pueden llevar a diseño inadecuado de equipos, por lo que es responsabilidad del diseñador verificar rigurosamente los resultados antes de tomar decisiones finales de diseño (Taylor, 2007). Esta

desviación de los valores de flujos de calor es consecuencia de los perfiles de composición del producto de tope y fondo, los que se muestran en la Tabla 4.2, quienes repercuten directamente en los cálculos de balance de energía.. Se evidencia que los resultados arrojados por DWSIM para el caso número 5 y 6 reflejan una mejor distribución y separación de los componentes en términos de sus volatilidades en la columna de destilación respecto a PRO/II®.

| | | DWSIM | PRO/II® | ChemSep™ |
|------------------------------|--------------------|---------|----------|-----------|
| Producto de Tope de Columna | Propano (lbmol/h) | 107,985 | 107,2948 | 107,316 |
| | Isobutano(lbmol/h) | 1,95351 | 2,5291 | 2,51727 |
| | N-butano(lbmol/h) | 0,29272 | 0,3915 | 0,39724 |
| | N-pentano(lbmol/h) | 0,00019 | 0,0003 | 0,000269 |
| Producto de Fondo de Columna | Propano (lbmol/h) | 2,24635 | 2,9364 | 2,9150421 |
| | Isobutano(lbmol/h) | 108,278 | 107,7021 | 107,714 |
| | N-butano(lbmol/h) | 109,938 | 109,8397 | 109,834 |
| | N-pentano(lbmol/h) | 110,231 | 110,231 | 110,231 |

(a) Caso 5

| | | DWSIM | PRO/II® | ChemSep™ |
|---------------------------------------|--------------------|----------|---------|----------|
| Producto de Tope de Columna (Vapor) | Etano (lbmol/h) | 5,992 | 5,678 | 5,672 |
| | Propano(lbmol/h) | 27,034 | 26,716 | 26,434 |
| | N-butano(lbmol/h) | 0,0438 | 0,674 | 0,961923 |
| | N-pentano(lbmol/h) | 0,00 | 0,0019 | 0,0012 |
| | N-hexano(lbmol/h) | 0,00 | 0,00 | 0,00 |
| Producto de Tope de Columna (Líquido) | Etano (lbmol/h) | 0,56902 | 0,8129 | 0,8069 |
| | Propano(lbmol/h) | 10,3927 | 9,6171 | 9,3701 |
| | N-butano(lbmol/h) | 0,06111 | 0,59 | 0,8437 |
| | N-pentano(lbmol/h) | 0,00002 | 0,0033 | 0,0025 |
| | N-hexano(lbmol/h) | 0,00 | 0,00 | 0,00 |
| Producto de Fondo de Columna | Etano (lbmol/h) | 0,00 | 0,00 | 0,00 |
| | Propano(lbmol/h) | 0,00291 | 0,1214 | 0,1936 |
| | N-butano(lbmol/h) | 16,0804 | 23,2045 | 23,8928 |
| | N-pentano(lbmol/h) | 61,63087 | 54,8643 | 54,3196 |
| | N-hexano(lbmol/h) | 10,47066 | 9,9946 | 9.77881 |

(b) Caso 6

Tabla 4.2: Perfiles de flujos de componentes para productos de tope y fondo

Seguidamente dentro de la comparación global se muestra en la Figura 4.3 el número de iteraciones que les tomó a cada simulador para converger a una solución satisfactoria.

Se observa claramente que PRO/II® resultó ser el simulador con menor número de iteraciones, seguido de DWSIM con 3 iteraciones y 4 para los casos 1 y 2 respectivamente. Para el caso 3 se observa un resultado igualado para PRO/II® y ChemSep™ con 4 iteraciones y DWSIM con 6 iteraciones, mientras que para los casos restantes se observa una igualdad entre los simuladores exceptuando a ChemSep™ con 7 iteraciones en el caso 4.

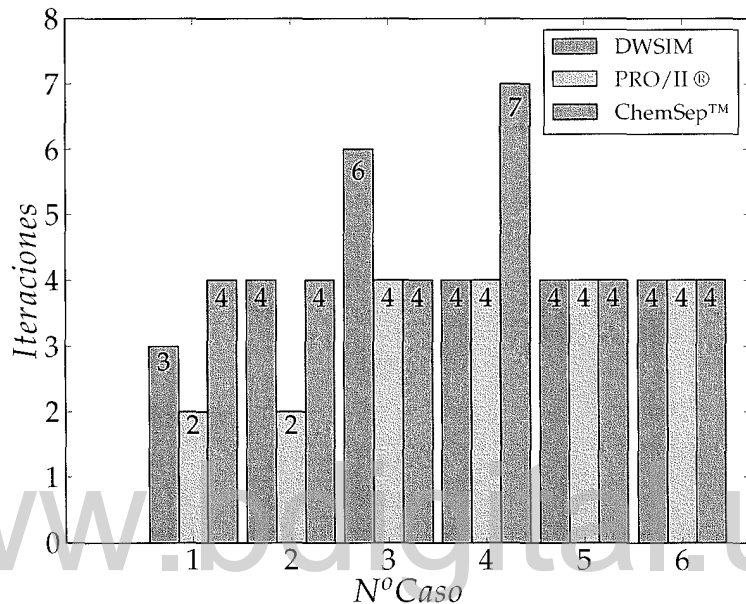
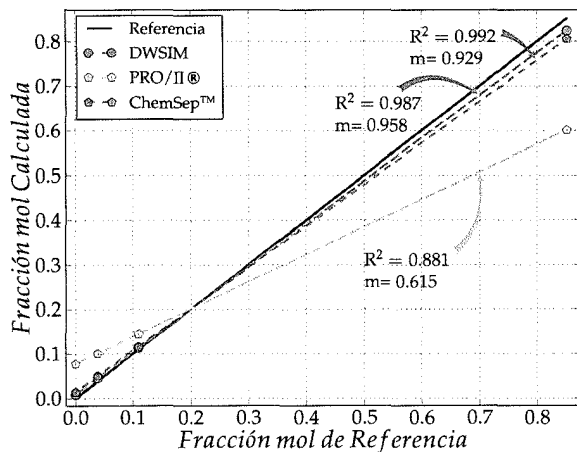


Figura 4.3: Número de Iteraciones de Casos de Literatura

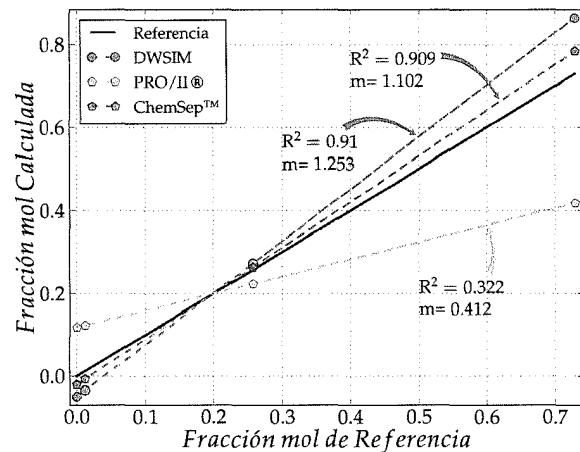
Ahora realizando una comparación más específica, se generaron gráficas de paridad de los valores de las fracciones molares de cada componente mostrados en el Apéndice D.1 para el caso número 6 con finalidad de comparar las correlaciones entre los datos de referencia reportados por Monroy-Loperena & Vacahern (2013) y los datos predichos por DWSIM, PRO/II® y ChemSep™. Estas gráficas se muestran en la Figura 4.4 donde además se indica sus coeficientes de correlación (R^2) y sus pendiente (m) del ajuste lineal. Considerando que los resultados del simulador que mejor corresponda a los datos de referencia serán aquellos cuyos valores R^2 , m sean lo más cercano posible a 1. Al estudiar la gráfica de paridad y comparando en primer lugar a DWSIM con PRO/II® se evidencia que DWSIM se ajusta mejor a los datos de referencia que el modelo resuelto por el algoritmo Inside-Out del simulador PRO/II® en las Figuras 4.4a, 4.4b, 4.4c y 4.4d, en el cual se observa para caso de DWSIM los coeficientes de correlación R^2 son mayores y la pendiente m son más

cercanas a 1. Caso contrario en el caso de las fracciones molares del producto de fondo en la Figura 4.4e. En segundo lugar realizando la comparación entre DWSIM y ChemSep™ se evidencia que ChemSep™ se ajusta mejor a los datos de referencia que el modelo Inside-Out implementado en DWSIM, ya que en el caso de ChemSep™ los coeficientes de correlación R^2 son mayores y la pendiente m son más cercanas a 1.

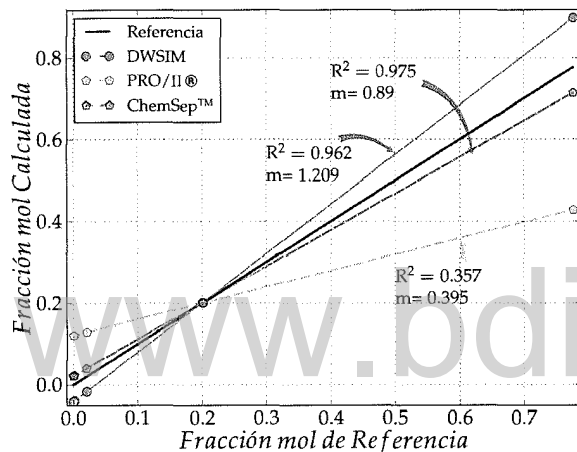
www.bdigital.ula.ve



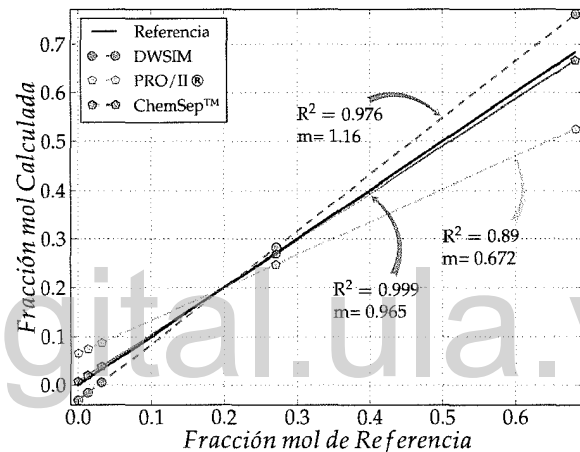
(a) Producto vapor de tope



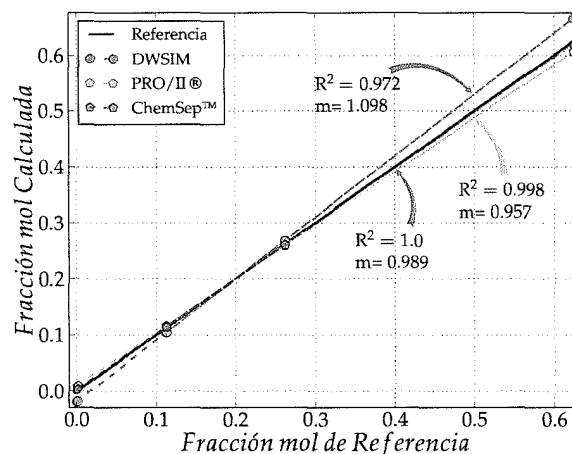
(b) Producto líquido de tope



(c) Retiro líquido lateral



(d) Retiro vapor lateral



(e) Producto líquido de fondo

Figura 4.4: Diagramas de paridad de las fracciones molares de productos del caso literatura 6

Estos resultados no solo demuestran claramente la consistencia interna del código implementado en DWSIM, quedando verificado el modelo Inside-Out de Russell (1983) basado en el modelo de etapas de equilibrio descrito en la sección 2.3.3. Si no que además reflejan que el desempeño del modelo DWSIM es mejor comparado con el modelo implementado en el simulador de proceso comercial PRO/II®.

4.2. Casos de Estudio Operacionales

Junto con la verificación del modelo realizada en la sección 4.1, se encuentra la validación del mismo. Es así como en esta sección se comprueba la exactitud del modelo desarrollado. Esto se lleva a cabo comparando las predicciones del modelo con mediciones realizadas en sistemas reales.

Fueron seleccionados dos casos de estudio operacionales pertenecientes al circuito nacional de refinación de PDVSA. El primero corresponde a una columna separadora de compuestos aromáticos del Complejo Refinador El Palito. Las especificaciones y configuración de la simulación se detallan en la Tabla 4.3, donde se muestran dos escenarios de operación. El segundo caso a una deopropanizadora del complejo FCC Cardón perteneciente al Centro de Refinación Paraguaná (CRP), los cuales se detallan en la Tabla 4.5, resaltando que para este último caso se empleó como un paquete termodinámico externo que lleva por nombre *Thermodynamics for Engineering Applications* (TEA) aprovechando la compatibilidad de CAPE-OPEN existente en DWSIM. TEA está disponible a través de la instalación del simulador de procesos privativo de uso gratuito COCO(http://www.cocosimulator.org/index_download.html). La configuración de DWSIM con TEA se lleva a cabo durante la selección del paquete termodinámico al momento de crear la simulación del proceso en DWSIM. Seleccionando CAPE-OPEN como paquete termodinámico en lugar de utilizar los paquetes nativos de DWSIM y posteriormente seleccionando TEA en las opciones del *Property Package Manager*. En la Figura 4.5 se muestra una instantánea fotográfica de la ventana de configuración del paquete TEA en DWSIM.

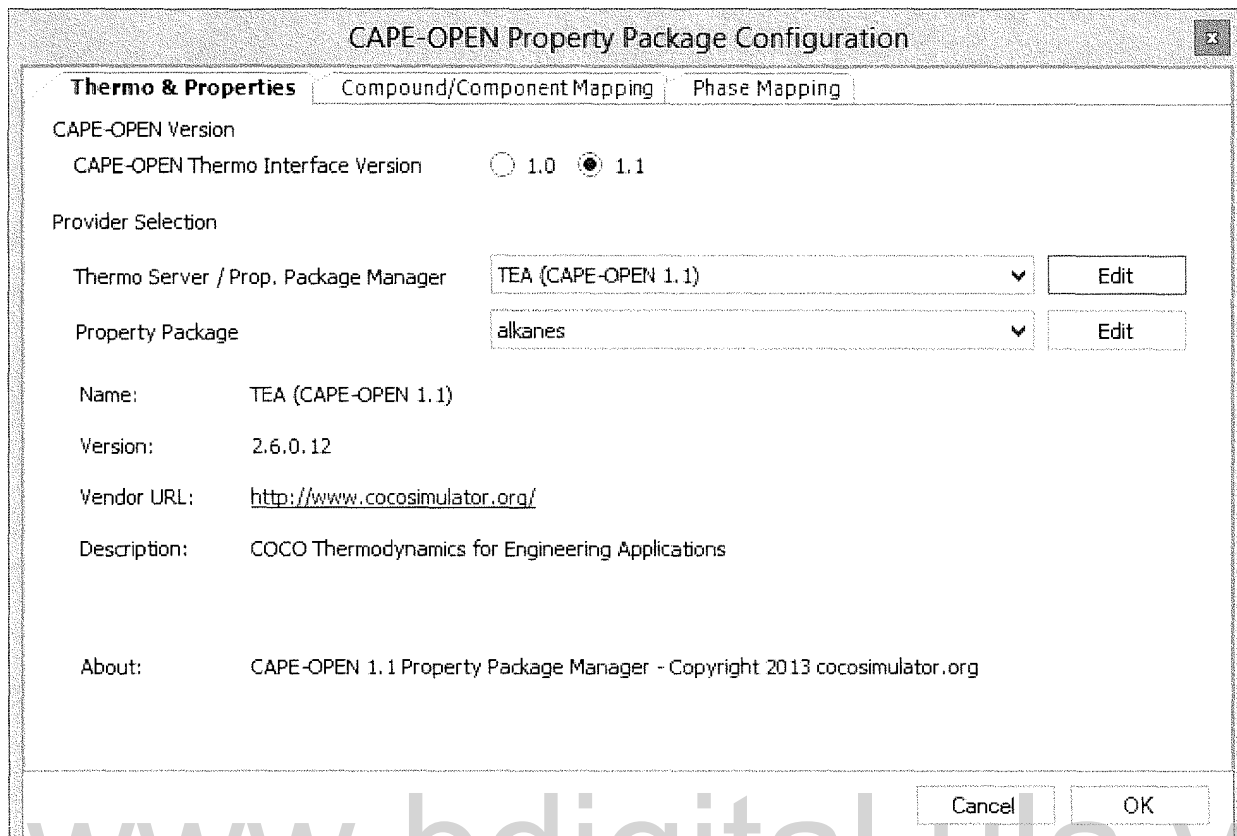
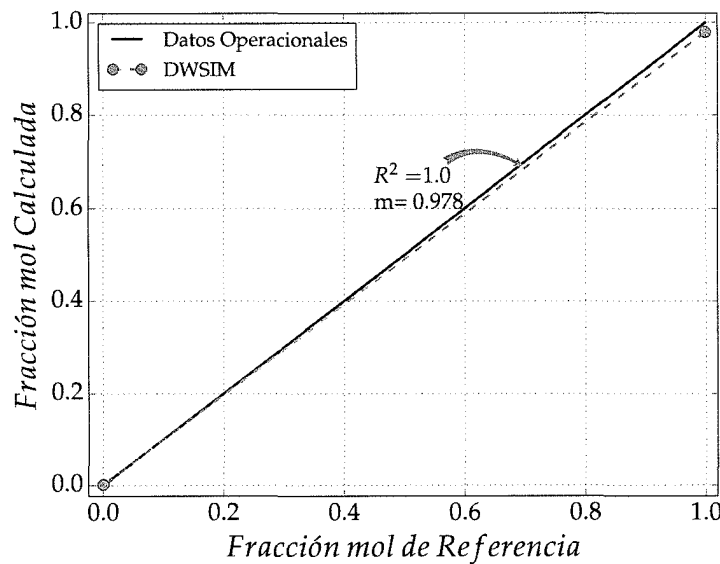


Figura 4.5: Instantánea fotográfica de ventana de configuración del paquete termodinámico CAPE-OPEN TEA en DWSIM

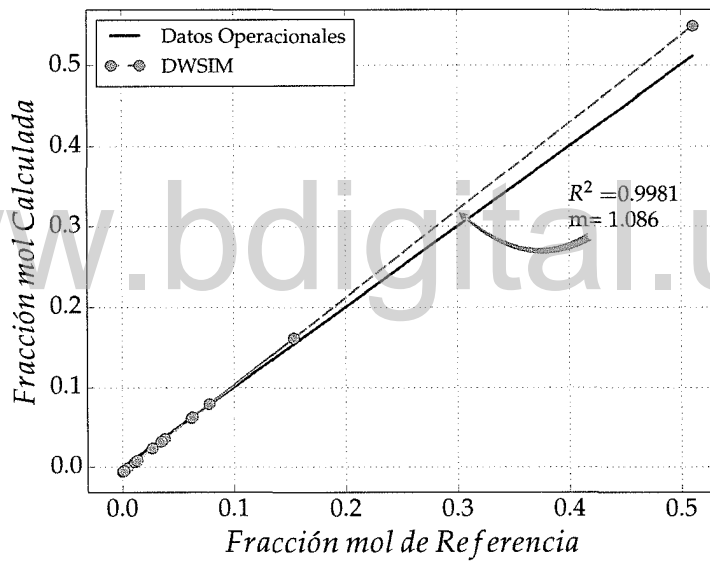
De manera análoga al caso de literatura número 6, se construyen diagramas de paridad para los distintos casos operacionales a partir de los valores tabulados en el apéndice D.2, con la finalidad de realizar una comparación y observar la concordancia de los datos arrojados por el simulador de procesos y los datos operacionales reales. En las Figuras 4.6 y 4.7 se muestran los diagramas respectivos del caso operacional número 1. Al estudiar los diagramas de paridad en ambos escenarios operacionales, se puede comprobar las fracciones molares de los componentes arrojados por DWSIM tanto del producto de tope como en el producto de fondo concuerdan muy bien con los datos medidos en operación, ya que los coeficientes de correlación R^2 y la pendiente m obtenidos de la regresión lineal son muy cercanos a 1.

Tabla 4.3: Características de Caso de Estudio Operacional 1

| | Escenario 1 | Escenario 2 |
|-----------------------------------|--|--|
| $\Delta P_{Columna} (\text{psi})$ | 7 | 6 |
| Número de Etapas de Equilibrio | 40 | 40 |
| Tipo de Condensador | Total  | Total  |
| Presión de Condensador (psi) | 16,7 | 19,7 |
| Producto de Fondo (lb/h) | 36725,00 | 31970,00 |
| Relación de Reflujo | 4,4 | 4,55 |
| Alimentación | 1 | 1 |
| Benceno (lb/h) | 3343,325 | 12857,2452 |
| Tolueno (lb/h) | 18766,662 | 13131,5033 |
| Etilbenceno(lb/h) | 2266,253 | 2219,3958 |
| P-xileno (lb/h) | 2314,302 | 2266,4504 |
| M-xileno (lb/h) | 5665,634 | 5548,4901 |
| O-xileno (lb/h) | 2854,839 | 2795,8115 |
| Cumeno (lb/h) | 104,104 | 129,7262 |
| 1,2,3-Trimetilbenceno (lb/h) | 1393,386 | 1736,3359 |
| Nonano (lb/h) | 4,004 | 0,0 |
| N-propilbenceno (lb/h) | 152,151 | 189,5999 |
| O-Etiltolueno (lb/h) | 1277,27 | 1591,6414 |
| Indano (lb/h) | 28,028 | 34,9263 |
| N-butilbenceno (lb/h) | 1009,003 | 1257,3466 |
| N-pentilbenceno (lb/h) | 396,394 | 493,9576 |
| Bifenil (lb/h) | 460,458 | 573,7892 |
| Flujo Total (lb/h) | 40035,81 | 44826,22 |
| Temperatura (°F) | 179,3 | 243,0 |
| Etapa | 17 | 17 |
| Paquete Termodinámico | PR | PR |

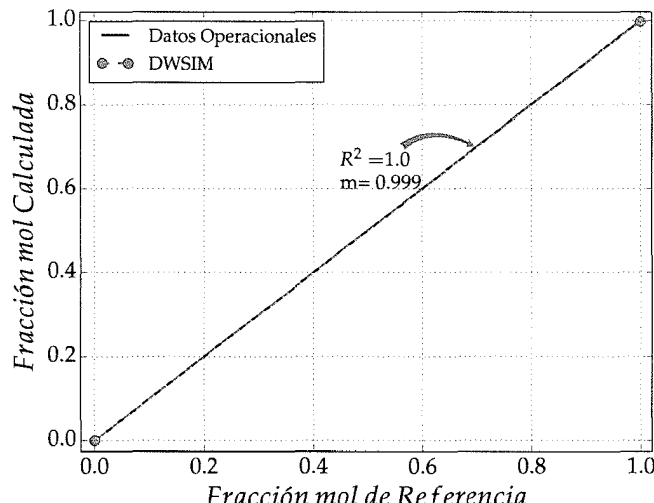


(a) Producto de Tope

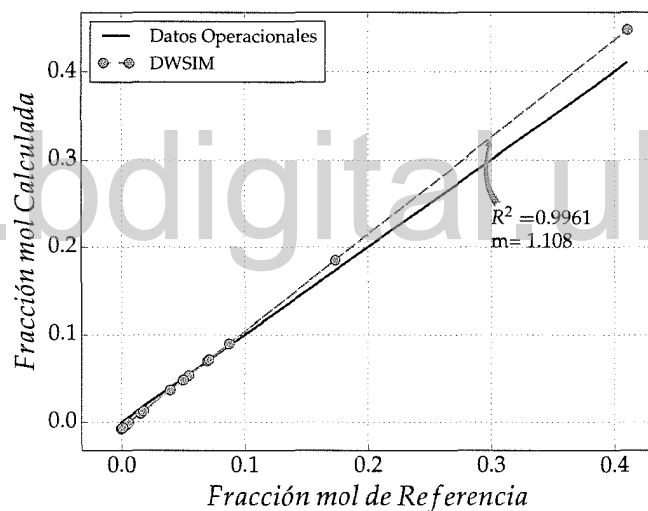


(b) Producto de Fondo

Figura 4.6: Diagramas de Paridad para Caso Operacional 1 Escenario 1



(a) Producto de Tope



(b) Producto de Fondo

Figura 4.7: Diagramas de Paridad para Caso Operacional 1 Escenario 2

Además, para el caso operacional número 1 se muestra en la Tabla 4.4 una comparación entre las temperaturas de tope y fondo predichas por DWSIM y las medidas en operación, así como también los flujos básicos de producto de tope y fondo de la columna de destilación. Para estas variables se observan porcentajes de desviaciones menores a 2 % en ambos escenarios de operación.

Tabla 4.4: Porcentajes de desviación de variables para Caso Operacional 1

(a) Escenario 1

| | DWSIM | Operacional | % Desviación |
|---|-----------|-------------|--------------|
| Temp. Producto de Tope ($^{\circ}F$) | 182,58 | 183,210 | 0,344 |
| Temp. Producto de Fondo ($^{\circ}F$) | 281,596 | 283,540 | 0,686 |
| Flujo de Producto de Tope (lb/h) | 3352,233 | 3308,983 | 1,336 |
| Flujo de Producto de Tope (lb/h) | 36683,580 | 36726,859 | 0,120 |

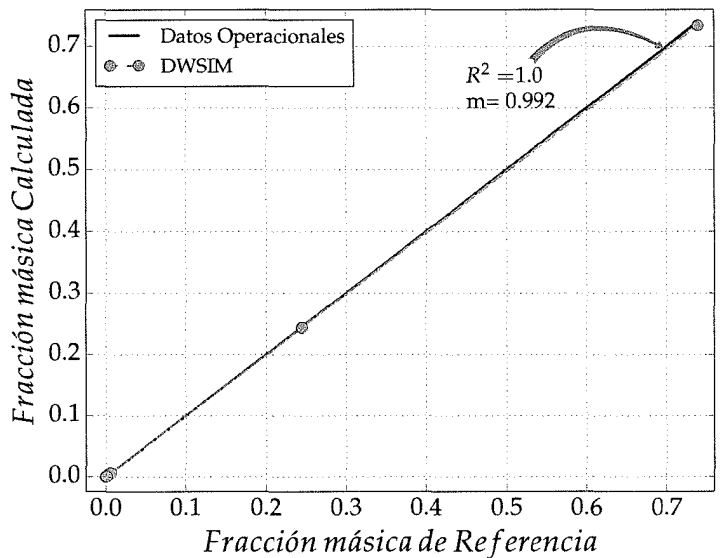
(b) Escenario 2

| | DWSIM | Operacional | % Desviación |
|---|-----------|-------------|--------------|
| Temp. Producto de Tope ($^{\circ}F$) | 192,315 | 194,740 | 1,245 |
| Temp. Producto de Fondo ($^{\circ}F$) | 300,234 | 301,284 | 0,013 |
| Flujo de Producto de Tope (lb/h) | 12877,811 | 12856,000 | 0,153 |
| Flujo de Producto de Tope (lb/h) | 31950,595 | 31970,000 | 0,061 |

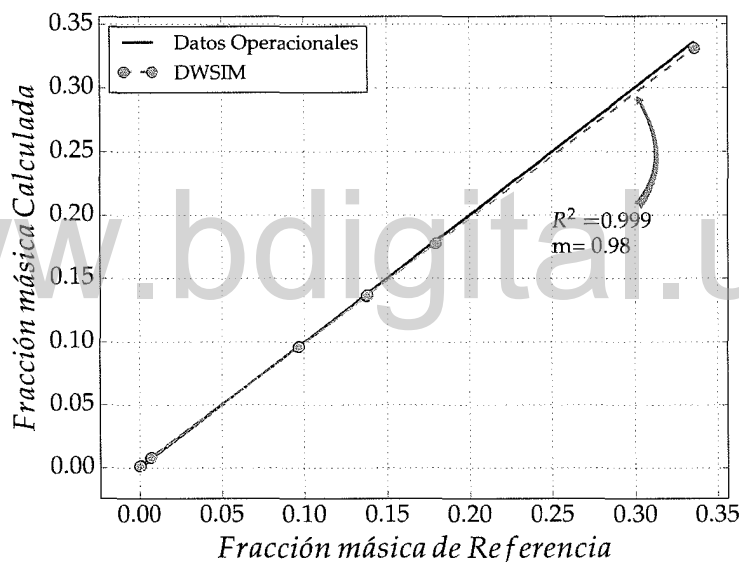
En cuanto al caso operacional número 2, se muestran en la Figura 4.8 los diagramas de paridad donde se comparan las fracciones básicas de los componentes para los productos de tope (4.8a) y fondo (4.8b). De manera similar al caso operacional número 1, se evidencia una buena concordancia de las fracciones básicas predichas por DWSIM respecto a los datos reales, al presentar valores muy cercanos el coeficiente de correlación R^2 y la pendiente m obtenidas de la regresión lineal.

Tabla 4.5: Características de Caso de Estudio Operacional 2

| | |
|--------------------------------|---|
| $\Delta P_{Columna} (kPa)$ | 34,47 |
| Número de Etapas de Equilibrio | 30 |
| Tipo de Condensador | Total  |
| Presión de Condensador (kPa) | 1999,48 |
| Producto de Fondo (kg/s) | 10,576 |
| % Recuperación Propano | 96,0 |
| Alimentación | 1 |
| $H_2 S$ (kg/s) | 0,01946 |
| Etano (kg/s) | 0,02199 |
| Etileno (kg/s) | 0,00194 |
| Propileno (kg/s) | 1,60316 |
| Propano (kg/s) | 4,81219 |
| Isobutano (kg/s) | 3,553 |
| N-butano (kg/s) | 1,01403 |
| 1-buteno (kg/s) | 1,4392 |
| Isobuteno (kg/s) | 1,88237 |
| Trans-2-Buteno (kg/s) | 1,44066 |
| Cis-2-Buteno (kg/s) | 1,01054 |
| 1,3-butadieno (kg/s) | 0,07509 |
| 3-metilbuteno (kg/s) | 0,00576 |
| IsoPentano (kg/s) | 0,00597 |
| N-hexano (kg/s) | 0,00064 |
| Temperatura (°C) | 83 |
| Presión (kPa) | 2068 |
| Etapa | 14 |
| Paquete Termodinámico | CAPE-OPEN Peng-Robinson |



(a) Producto de Tope



(b) Producto de Fondo

Figura 4.8: Diagramas de Paridad para Caso Operacional 2

Por último se realiza la comparación de las temperaturas de tope y fondo junto con los flujos másicos de los productos de la columna del caso operacional número 2. Esta se puede observar en la Tabla (4.6). Se muestra un porcentaje de desviación de 0.45 % para la temperatura del fondo de la columna seguido de 2,948 % y 2,395 % para los flujos de producto de tope y fondo respectivamente y finalmente para la temperatura de tope de la columna con una desviación significativa del 15,25 %. A pesar de presentar una desviación

con una magnitud mayor al 10% para la predicción de la temperatura del tope de la columna, el modelo representa una descripción razonable de la columna deopropanizadora al predecir con bastante exactitud las demás variables de operación y las fracciones másicas correspondiente a los productos.

Tabla 4.6: Porcentajes de desviación de variables para Caso Operacional 2

| | DWSIM | Operacional | % Desviación |
|---|---------|-------------|--------------|
| <i>Temp. de Tope (°C)</i> | 53,750 | 46,636 | 15,254 |
| <i>Temp. de Fondo (°C)</i> | 104,475 | 104,950 | 0,453 |
| <i>Flujo de Producto de Tope (kg/s)</i> | 6,310 | 6,129 | 2,948 |
| <i>Flujo de Producto de Tope (kg/s)</i> | 10,576 | 10,329 | 2,395 |

En definitiva, estos resultados muestran que el modelo Inside-Out de Russell (1983) basado en el modelo de etapa de equilibrio implementado en DWSIM es capaz de reproducir razonablemente los datos de las columnas de fraccionamiento descritas en los casos operacionales. Ademas, se confirma de manera más contundente la correcta implementación del mismo dentro de DWSIM.

Capítulo 5

Conclusiones y Recomendaciones

Conclusiones

1. Se logró identificar los distintos elementos que conforman el código fuente de DWSIM a través de una metodología de ingeniería inversa. Esto permitió identificar tanto la arquitectura general del simulador y las clases específicas involucradas con la simulación de columnas de destilación en estado estacionario para ser modificadas.
2. Se construyeron los diagramas de actividades detallados que describen el algoritmo del método Inside-Out de Russell (1983) para destilación multicomponente. Estos favorecieron la comprensión del método y auditoría del código fuente al permitir identificar los problemas y las oportunidades de mejora.
3. Se realizó con éxito la adaptación de DWSIM para simular columnas de destilación reales pertenecientes al circuito nacional de refinación utilizando Inside-Out. Esto se comprobó al evidenciar su reproducibilidad junto con otros simuladores de procesos con casos de estudio de referencia y su eficacia en las predicciones obtenidas con las simulaciones estuvieron concordancia con los datos operacionales.
4. La compatibilidad de DWSIM con los estándares CAPE-OPEN brindó la posibilidad de incorporar paquetes termodinámico externo en escenarios donde existía baja calidad de los cálculos de EVL.
5. La adaptación de DWSIM se llevó a cabo a través de la participación de la academia, la industria y la comunidad de software libre, empleando una metodología de desarrollo de software colaborativo. A través del uso de la plataforma en linea GitHub empleando el sistema de control de versiones distribuido GIT, lográndose gestionar los diversos cambios que se realizaron sobre el código fuente de DWSIM.

6. El simulador de procesos DWSIM posibilita su uso como herramienta de aprendizaje para los estudiantes de ingeniería química e ingenieros químicos, de manera que permite comprender mejor la metodología de cálculos riguroso no solo del proceso de destilación, sino de otra operación unitaria disponible sin costo alguno fomentando el desarrollo de tecnologías propias.

Recomendaciones

1. Estudiar los métodos termodinámicos nativos de DWSIM, ya que presentan un desempeño no satisfactorio en algunos cálculos de EVL.
2. Adaptar el método Inside-Out para el soporte de reflujo circulante (pumparound), ya que son de suma importancia en el modelaje y simulación para muchos tipos de columnas de destilación en el circuito nacional de refinación de PDVSA.
3. Mejorar la herramienta para la creación de pseudocomponentes de DWSIM, ya que se considera herramienta útil para la simulación de procesos de refinación para modelar las corrientes de procesos.
4. En la implementación realizada se pueden presentar límites erróneos en las variables de iteración, que a su vez puede dar lugar a divergencias, especialmente para problemas de columnas de destilación complejas o problemas con estimaciones iniciales deficientes. Por esta razón se recomienda realizar un estudio de optimización para robustecer el algoritmo con técnicas que proporcionen garantías tanto matemáticas y computacionales más rigurosas.
5. Es importante resaltar que nuevas investigaciones deben ser orientadas hacia el mejoramiento de DWSIM, por lo que se recomienda incentivar este tipo de proyecto de investigación a través de la colaboración entre la academia, la industria y la comunidad del software libre. En este sentido, las universidades y cualquier otra entidad con capacidad de investigación y desarrollo pueden realizar grandes aportes enfocados en la mejora del simulador, fomentando la cooperación entre los sectores productivos y educación a nivel nacional e internacional.

Referencias Bibliográficas

- Abella, A., Sanchez, J., Santos, R., & Segovia, M. (2003). *Libro Blanco del Software Libre en España*. España: Documentación Libre GNU.
- Aguilar, L. J. (2003). *Fundamentos de Programación: Algoritmos, Estructuras de Datos y Objetos*. McGraw-Hill.
- Babu, B. V. (2004). *Process Plant Simulation*. New Delhi, India; New York: Oxford University Press.
- Barrett, J. & Yang, J. (2005). Development of a chemical process modeling environment based on cape-open interface standards and the microsoft .net framework. *Computers & Chemical Engineering*, 30(2), 191–201.
- Barrett, W. M., Pons, M., von Wedel, L., & Braunschweig, B. (2007). An overview of the interoperability roadmap for COM/.NET-based CAPE-OPEN.
- Boston, J. F. & Sullivan, S. L. (1972). An improved algorithm for solving the mass balance equations in multistage separation processes. *The Canadian Journal of Chemical Engineering*, 50, 663–669.
- Boston, J. F. & Sullivan, S. L. (1974). A new class of solution methods for multicomponent, multistage separation processes. *The Canadian Journal of Chemical Engineering*, 52(1), 52–63.
- Braunschweig, B. & Gani, R. (2002). *Computer-Aided Chemical Engineering: Software Architectures and Tools for Computer Aided Process Engineering*, volume 11. Amsterdam, The Netherlands: ELSEVIER SCIENCE B.V.
- Broyden, C. G. (1965). A class of methods for solving nonlinear simultaneous equations. *Mathematics of Computation*, 19(92), 577–593.
- Burningham, D. & Otto, F. (1967). Which computer design for absorbers? *Hydrocarbon Process*, 46(10), 163–170.

- Buschmann, F., Henney, K., & Schmidt, D. C. (2007). *A Pattern language for Distributed Computing*. Pattern-oriented software architecture / Frank Buschmann ..., Vol. 4.; Wiley series in software design patterns.; Wiley software patterns series. Wiley.
- CO-LaN (1999). *CAPE-OPEN Next Generation Computer Aided Process Engineering Open Simulation Environment*. Technical report, CAPE-OPEN Consortium.
- Culebro, M., Gómez, W., & Torres, S. (2006). *Software Libre vs Software Propietario Ventajas y Desventajas*. México: Creative Commons.
- Dimian, A. C. (2003). *Integrated Design and Simulation of Chemical Processes*. Amsterdam; Boston: Elsevier.
- Eckert, E. & Vaněk, T. (2001). Some aspects of rate-based modelling and simulation of three-phase distillation columns. *Computers & Chemical Engineering*, 25(4–6), 603–612.
- Finlayson, B. A. (2006). *Introduction to Chemical Engineering Computing*. Hoboken, N.J.: Wiley-Interscience.
- Grossmann, I. E., Aguirre, P. A., & Barttfeld, M. (2005). Optimal synthesis of complex distillation columns using rigorous models. *Computers & Chemical Engineering*, 29(6), 1203–1215.
- Higler, A., Chande, R., Taylor, R., Baur, R., & Krishna, R. (2004). Nonequilibrium modeling of three-phase distillation. *Computers & Chemical Engineering*, 28(10), 2021–2036.
- Khoury, F. M. (2005). *Multistage Separation Processes*. Boca Raton: CRC Press.
- King, C. J. (1980). *Separation processes*. New York: McGraw-Hill.
- Kister, H. Z. (1992). *Distillation Design*. New York: McGraw-Hill.
- Kooijman, H. A. & Taylor, R. (2000). *The ChemSep Book*. Germany: Printed by Books on Demand, 2 edition.
- Krishnamurthy, R. & Taylor, R. (1985). A nonequilibrium stage model of multicomponent separation processes. part i: Model description and method of solution. *AIChE Journal*, 31(3), 449–456.
- Kroll, P. & Kruchten, P. (2003). *The Rational Unified Process Made Easy : A Practitioner's Guide to the Rup*. Addison-Wesley object technology series. Addison-Wesley.

Luque, S. & Vega, A. B. (2005). *Simulación y optimización avanzadas en la industria química y de procesos*. Oviedo: Departamento de Ingeniería Química y Tecnología del Medio Ambiente, Universidad de Oviedo.

Martínez, V. H. (2000). *Simulación de Procesos en Ingeniería Química*. Plaza y Valdes.

Martínez de la Cuesta, P. J. & Rus, E. (2004). *Operaciones de separación en ingeniería química*. Madrid: Prentice Hall.

MathPro (2011). Introducción a la refinación del petróleo y producción de gasolina y diesel con contenido ultra bajo de azufre. <http://goo.gl/VoA8qt>.

McCabe, W. L., Smith, J. C., & Harriott, P. (2005). *Unit Operations of Chemical Engineering*. Boston: McGraw-Hill.

McMillan, M. (2004). *Object-oriented Programming with Visual Basic.NET*.

McMonnies, A. (2004). *Object-oriented Programming in Visual Basic .net*. Harlow, England; New York: Pearson Addison-Wesley.

Monroy-Loperena, R. & Vacahern, M. (2013). A simple, reliable and fast algorithm for the simulation of multicomponent distillation columns. *Chemical Engineering Research and Design*, 91(3), 389 – 395.

Naphtali, L. M. & Sandholm, D. P. (1971). Multicomponent separation calculations by linearization. *AIChE Journal*, 17, 148–153.

O'Connell, J. & Haile, J. (2005). *Thermodynamics: Fundamentals for Applications*. Cambridge Series in Chemical Engineering. Cambridge University Press.

PDVSA (2005). Sitio web pdvsa. <http://goo.gl/j09zD>.

Pernalete, C. (2013). Un agente inteligente para la optimización en lÃnea del proceso de mezclas de gasolina. Master's thesis, Universidad de los Andes.

Pernalete, C., Torres, B., & Moreno, A. (2012). Reactores de la tecnología HDHPLUS® como componentes de simulación interoperables. *Ciencia e Ingeniería*.

Perry, R. H. & Green, D. W. (2008). *Perry's chemical engineers' handbook*. New York: McGraw-Hill, 7 edition.

Pons, M. (2005). What is the cape-open laboratories network (CO-LaN).

- Russell, R. A. (1983). A flexible and reliable method solves single-tower and crude distillation-column problems. *Chemical Engineering*, 90(1), 53–59.
- Scenna, N. J., Aguirre, P. A., Benz, S. J., & Chiotti, O. J. (1999). *Modelado, Simulación y Optimización de Procesos Químicos*.
- Seader, J. D., Henley, E. J., & Roper, D. K. (2011). *Separation Process Principles : Chemical and Biochemical Operations*. Hoboken, NJ: Wiley.
- Sorel, E. (1893). La rectification de l'alcool. In *Encyclopedie Scientifique Des Aide-memoire*. Gauthier-Villars et fils.
- Speight, J. G. (2008). *Synthetic fuels handbook properties, process, and performance*. New York: McGraw-Hill.
- Taylor, J. R. (2007). Understanding and combating design error in process plant design. *Safety Science*, 45(1-2), 75 – 105. Safety by Design Based on a workshop of the New Technology and Work Network.
- Tomich, J. F. (1970). A new simulation method for equilibrium stage processes. *AIChE Journal*, 16(2), 229–232.
- Tonella, P. & Potrich, A. (2005). *Reverse Engineering of Object Oriented Code*. Monographs in computer science. Springer Science+Business Media.
- Torres, R. & Castro, J. (2002). *Análisis y Simulación de Procesos de Refinación del Petróleo*. México: Alfaomega.
- Treccani, P. (2008). *Encyclopaedia of Hydrocarbons: VOLUME II - REFINING AND PETRO-CHEMICALS*, volume 2. Istituto della Enciclopedia Italiana Iodata da Giovanni Treccani S.p.A.
- Wagner, D. (2006). Dwsim development blog: Notes and discussions about dwsim development. <http://goo.gl/8sN4A4>.
- Wang, J. C. & Henke, G. E. (1966). Tridiagonal matrix for distillation. *Hydrocarbon Process*, 45, 155–163.
- Wayburn, T. L. (1988). A review of continuation methods and their application to separation problems. *Comp. and Sys. Tech. Div. Commun.*, 11(1), –.

Wilson, I. D., Adlard, E. R., Cooke, M., & Poole, C. F. (2000). *Encyclopedia of Separation Science*. San Diego: Academic Press.

Zeigler, B. P., Kim, T. G., & Praehofer, H. (2000). *Theory of Modeling and Simulation*. Orlando, FL, USA: Academic Press, Inc., 2nd edition.

Zereshki, S. (2012). *Distillation - Advances from Modeling to Applications*. InTech.

www.bdigital.ula.ve

Apéndice A

Métodos Numéricos

A.1. Método de Matriz Tridiagonal

El algoritmo de la matriz Tridiagonal (TDMA), también conocido como el algoritmo de Thomas, es una forma simplificada de la eliminación gaussiana que puede utilizarse para resolver un sistema tridiagonal de ecuaciones.

$$A_k x_{k-1} + B_k x_k + C_k x_{k+1} = D_k, \quad k = 1, \dots, n, \quad (\text{A.1})$$

o, en forma de ecuación matricial $Mx = D$ donde $A_1 = 0$ y $C_n = 0$ (A.2).

$$\begin{pmatrix} B_1 & C_1 & \cdots & \cdots & \cdots & & 0 \\ A_2 & B_2 & C_2 & \cdots & \cdots & \cdots & 0 \\ \cdots & A_3 & B_3 & C_3 & \cdots & \cdots & 0 \\ \cdots & \cdots & \ddots & \ddots & & \cdots & \cdots \\ \cdots & & \ddots & \ddots & & \cdots & \cdots \\ 0 & \cdots & \cdots & 0 & A_{n-2} & B_{n-2} & C_{n-2} & \cdots \\ 0 & \cdots & \cdots & 0 & 0 & A_{n-1} & B_{n-1} & C_{n-1} \\ 0 & \cdots & \cdots & 0 & 0 & A_n & B_n & \end{pmatrix} \times \begin{pmatrix} x_1 \\ x_2 \\ x_3 \\ \cdots \\ \cdots \\ x_{n-2} \\ x_{n-1} \\ x_n \end{pmatrix} = \begin{pmatrix} D_1 \\ D_2 \\ D_3 \\ \cdots \\ \cdots \\ D_{n-2} \\ D_{n-1} \\ D_n \end{pmatrix} \quad (\text{A.2})$$

La Matriz principal es una matriz cuyos únicos elementos distintos de cero se encuentran en la diagonal principal y en las diagonales adyacentes por arriba y por debajo de esta.

El TDMA consta de dos partes: una fase de eliminación hacia delante y una fase de sustitución hacia atrás, con la finalidad de resolver o determinar los valores de x_k .

1. Fase de Eliminación

- a) En esta primera fase la ecuación A.2 se convierte a la forma $Ux = \rho$. Así el primer paso es dividir la fila 1 por B_1 para obtener x_1 en función de x_2 :

$$B_1 x_1 + C_1 x_2 = D_1$$

$$x_1 + \frac{C_1}{B_1} x_2 = \frac{D_1}{B_1}$$

Reescribiendo

$$x_1 + \gamma_1 x_2 = \rho_1, \quad \gamma_1 = \frac{C_1}{B_1}, \quad \rho_1 = \frac{D_1}{B_1}$$

$$x_1 = \rho_1 - \gamma_1 x_2 \quad (\text{A.3})$$

Reemplazando así los coeficientes B_1 , C_1 y D_1

$$\left(\begin{array}{cccccc|cc} 1 & \gamma_1 & \cdots & \cdots & \cdots & \cdots & 0 \\ A_2 & B_2 & C_2 & \cdots & \cdots & \cdots & 0 \\ \cdots & A_3 & B_3 & C_3 & \cdots & \cdots & 0 \\ \cdots & \cdots & \ddots & \ddots & \ddots & \cdots & \cdots \\ \cdots & & \ddots & \ddots & \ddots & \cdots & \cdots \\ 0 & \cdots & \cdots & 0 & A_{n-2} & B_{n-2} & C_{n-2} \\ 0 & \cdots & \cdots & 0 & 0 & A_{n-1} & B_{n-1} \\ 0 & \cdots & \cdots & 0 & 0 & A_n & B_n \end{array} \right) \times \begin{pmatrix} x_1 \\ x_2 \\ x_3 \\ \cdots \\ x_{n-2} \\ x_{n-1} \\ x_n \end{pmatrix} = \begin{pmatrix} \rho_1 \\ D_2 \\ D_3 \\ \cdots \\ D_{n-2} \\ D_{n-1} \\ D_n \end{pmatrix} \quad (\text{A.4})$$

- b) Luego la ecuación A.1 se combina con A.3 para despejar x_2 resultando en:

$$x_2 = \frac{D_2 - A_2 \rho_1}{B_2 - A_2 \gamma_1} - \left(\frac{C_2}{B_2 - A_2 \gamma_1} \right) x_3$$

reescribiendo

$$\rho_2 = \frac{D_2 - A_2 \rho_1}{B_2 - A_2 \gamma_1} \quad \gamma_2 = \frac{C_2}{B_2 - A_2 \gamma_1},$$

quedando:

$$x_2 = \rho_2 - \gamma_2 x_3 \quad (\text{A.5})$$

Así, se reemplazan los valores de los coeficientes A_2, B_2, C_2 y D_2

$$\left(\begin{array}{c|cccccccccc} 1 & \gamma_1 & \cdots & \cdots & \cdots & & \cdots & 0 \\ 0 & 1 & \gamma_2 & \cdots & \cdots & & \cdots & 0 \\ \cdots & A_3 & B_3 & C_3 & \cdots & & \cdots & 0 \\ \cdots & \cdots & \ddots & \ddots & \ddots & & \cdots & \cdots \\ \cdots & & \ddots & \ddots & \ddots & & \cdots & \cdots \\ 0 & \cdots & \cdots & 0 & A_{n-2} & B_{n-2} & C_{n-2} & \cdots \\ 0 & \cdots & \cdots & 0 & 0 & A_{n-1} & B_{n-1} & C_{n-1} \\ 0 & \cdots & \cdots & 0 & 0 & & A_n & B_n \end{array} \right) \times \begin{pmatrix} x_1 \\ x_2 \\ x_3 \\ \cdots \\ \cdots \\ x_{n-2} \\ x_{n-1} \\ x_n \end{pmatrix} = \begin{pmatrix} \rho_1 \\ \rho_2 \\ \rho_3 \\ \cdots \\ \cdots \\ D_{n-2} \\ D_{n-1} \\ D_n \end{pmatrix} \quad (\text{A.6})$$

c) Siguiendo esta secuencia, en general se puede decir:

$$\gamma_k = \frac{C_k}{B_k - A_k \gamma_{k-1}} \quad (\text{A.7})$$

$$\rho_k = \frac{D_k - A_k \rho_{k-1}}{B_k - A_k \gamma_{k-1}} \quad (\text{A.8})$$

$$x_k = \gamma_k - \rho_k x_{k+1} \quad (\text{A.9})$$

En este punto, con los valores sustituidos $A_k \leftarrow 0$, $B_k \leftarrow 1$, $C_k \leftarrow \gamma_k$ y $D_k \leftarrow \rho_k$ la matriz se ha reducido una forma diagonal superior, por lo que las ecuaciones quedan en la forma $Ux = \rho$ (A.10)

$$\left(\begin{array}{c|cccccccccc} 1 & \gamma_1 & \cdots & \cdots & \cdots & & \cdots & 0 \\ 0 & 1 & \gamma_2 & \cdots & \cdots & & \cdots & 0 \\ \cdots & 0 & 1 & \gamma_3 & \cdots & & \cdots & 0 \\ \cdots & \cdots & \ddots & \ddots & \ddots & & \cdots & \cdots \\ \cdots & & \ddots & \ddots & \ddots & & \cdots & \cdots \\ 0 & \cdots & \cdots & 0 & 0 & 1 & \gamma_{n-2} & \cdots \\ 0 & \cdots & \cdots & 0 & 0 & 0 & 1 & \gamma_{n-1} \\ 0 & \cdots & \cdots & 0 & 0 & 0 & 0 & 1 \end{array} \right) \times \begin{pmatrix} x_1 \\ x_2 \\ x_3 \\ \cdots \\ \cdots \\ x_{n-2} \\ x_{n-1} \\ x_n \end{pmatrix} = \begin{pmatrix} \rho_1 \\ \rho_2 \\ \rho_3 \\ \cdots \\ \cdots \\ \rho_{n-2} \\ \rho_{n-1} \\ \rho_n \end{pmatrix} \quad (\text{A.10})$$

2. Fase de Sustitución Hacia atrás

a) A partir de A.10 para la fila n , (A.9) queda:

$$x_n = \rho_n \quad (\text{A.11})$$

- b) Los valores sucesivos de x_k se calculan recursivamente mediante sustitución hacia atrás a partir de (A.9), desde la fila $n - 1$ hasta 1, así para la fila $n - 1$:

$$x_{n-1} = \gamma_{n-1} - \rho_{n-1}x_n \quad (\text{A.12})$$

El algoritmo de Thomas evita la acumulación de errores de truncamiento porque ninguno de los pasos que implica la sustracción de cantidades casi iguales. Además, los valores calculados de x_k son casi siempre positivos. El algoritmo es superior a las rutinas alternativas de inversión de matrices. Aunque es raro, el algoritmo puede ser inestable si el término $B_k - A_k\gamma_{k-1}$ es cero o numéricamente cero para cualquier k . Esto ocurrirá si la matriz tridiagonal es singular, pero en casos muy específicos puede ocurrir si es no singular. La condición para el algoritmo sea estable es que la matriz sea diagonalmente dominante, esto es:

$$\|B_k\| = \|A_k\| + \|C_k\| \quad (\text{A.13})$$

A.2. Método de Newton-Raphson

En análisis numérico, el método de Newton-Raphson es un algoritmo eficiente para encontrar aproximaciones de las raíces de una función real. Se puede utilizar el método de Newton para resolver sistemas de n ecuaciones no lineales, lo que equivale a la búsqueda de los ceros de funciones continuamente diferenciables.

Este tipo de sistemas se pueden representar como $F(X) = 0$ donde 0 es el vector nulo de n componentes, X es un vector de \mathbb{R} y F es la función vectorial dependiente de n variables reales dada por:

$$F : \mathbb{R}^n \rightarrow \mathbb{R}^n$$

$$X = (x_1, x_2, \dots, x_n)^T \rightarrow F(X) = \left\{ \begin{array}{l} f_1(x_1, x_2, \dots, x_n) = 0 \\ f_2(x_1, x_2, \dots, x_n) = 0 \\ \dots \\ f_n(x_1, x_2, \dots, x_n) = 0 \end{array} \right\} \quad (\text{A.14})$$

La iteración de Newton-Raphson se lleva a cabo mediante la resolución de correcciones de la ecuación matricial para el valor ΔX de las variables de salida de la forma :

$$\left(\frac{\partial F}{\partial X} \right) \cdot \Delta X^{(k)} = -F^{(k)} \quad (\text{A.15})$$

donde $\frac{\partial F}{\partial X}$ es el siguiente Jacobiano ($n \times n$):

$$\frac{\partial F}{\partial X} = J_F = \begin{bmatrix} \frac{\partial f_1}{\partial x_1} & \frac{\partial f_1}{\partial x_2} & \dots & \frac{\partial f_1}{\partial x_n} \\ \frac{\partial f_2}{\partial x_1} & \frac{\partial f_2}{\partial x_2} & \dots & \frac{\partial f_2}{\partial x_n} \\ \vdots & \vdots & \ddots & \vdots \\ \frac{\partial f_n}{\partial x_1} & \frac{\partial f_n}{\partial x_2} & \dots & \frac{\partial f_n}{\partial x_n} \end{bmatrix} \quad (\text{A.16})$$

$$\Delta X^{(k)} = - \left[\left(\frac{\partial F}{\partial X} \right)^{-1} \right]^{(k)} F^{(k)} \quad (\text{A.17})$$

Las correcciones ΔX se utilizan para calcular la siguiente aproximación para el conjunto de variables de salida a partir de:

$$X^{(k+1)} = X^{(k)} + \Delta X^{(k)} \quad (\text{A.18})$$

En este sentido el conjunto de funciones $F(X)$ se resuelven simultáneamente de forma iterativa mediante el cálculo de un conjunto de valores X sucesivos hasta que los valores de $F(X)$ se dirigan hacia un criterio de convergencia o valores cero. Durante las iteraciones, los valores distintos de cero de las funciones se denominan discrepancias o errores.

El procedimiento de Newton-Raphson requiere estimaciones iniciales para los valores de las variables de iteración. Basados en estos valores iniciales, se compara la suma de los cuadrados de las discrepancias o errores de las funciones con el criterio de convergencia τ para una tolerancia ϵ :

$$\tau = \sum_{i=1}^n (F_i)^2 \leq \epsilon \quad (\text{A.19})$$

$$\epsilon = n \left(\sum_{i=1}^n (F_i)^2 \right) 10^{-10} \quad (\text{A.20})$$

Alternativamente, es posible emplear un factor escalar no negativo t denominado factor de amortiguamiento, que se puede aplicar a los valores de las variables en cada iteración.

$$X^{(k+1)} = X^{(k)} + t \Delta X^{(k)} \quad (\text{A.21})$$

Haciendo que t varíe entre valores ligeramente mayores a 0 hasta 2, se puede amortiguar o acelerar la convergencia, según se requiera para cada iteración. Lo que se requiere es un valor de t que minimice la suma de los cuadrados dado por (A.19). Para encontrar t

en cada iteración se emplea un procedimiento de optimización como búsqueda de Fibonacci o minimización de Brent. De no existir un valor óptimo de t , este puede tomar un valor de 1

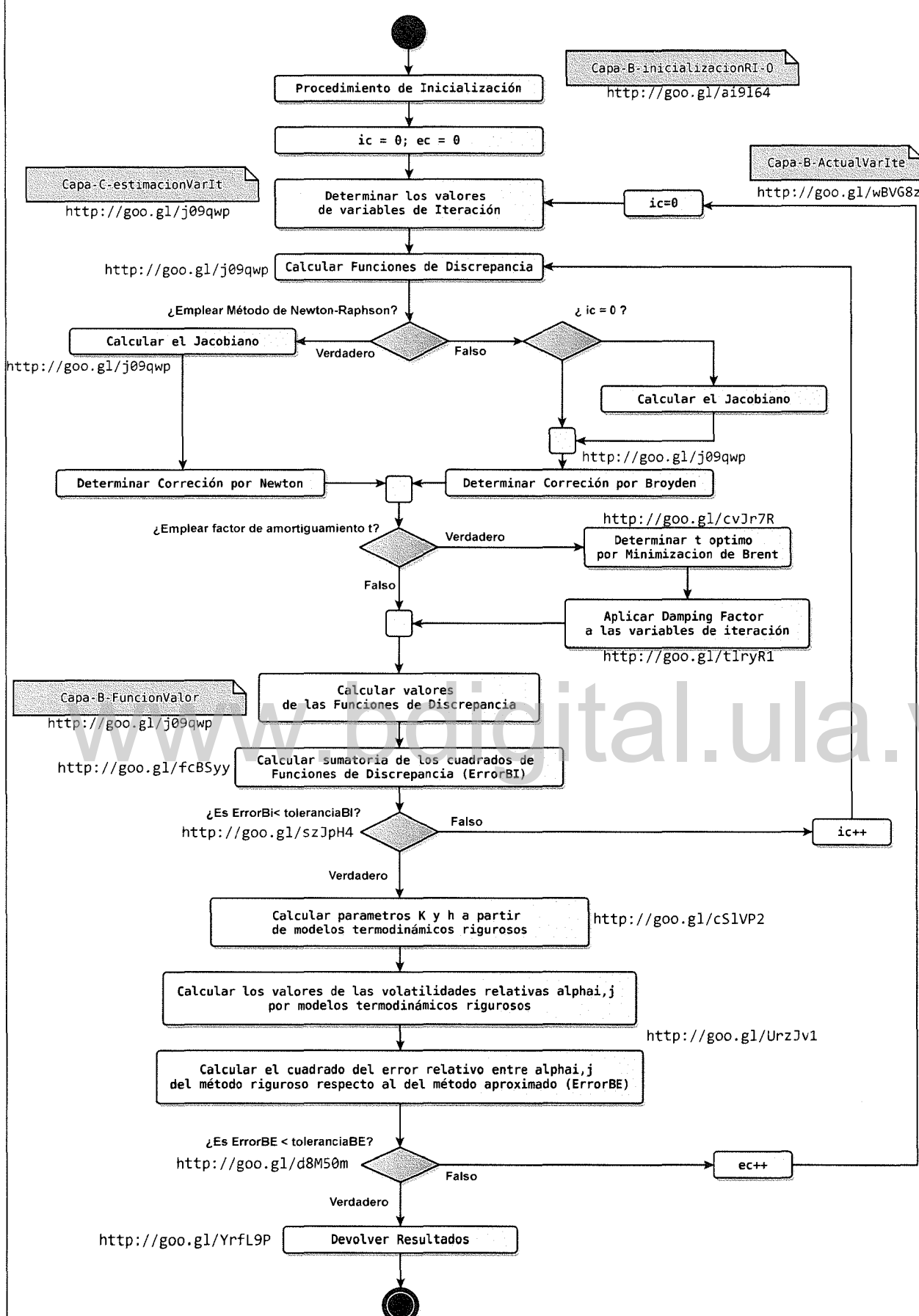
www.bdigital.ula.ve

Apéndice B

Diagramas de Actividades del Método Inside-Out Russell (1983)

B.1. Diagramas de Actividades Capa-A

www.bdigital.ula.ve



Apéndice B.1

Diagrama Capa-A-Russell

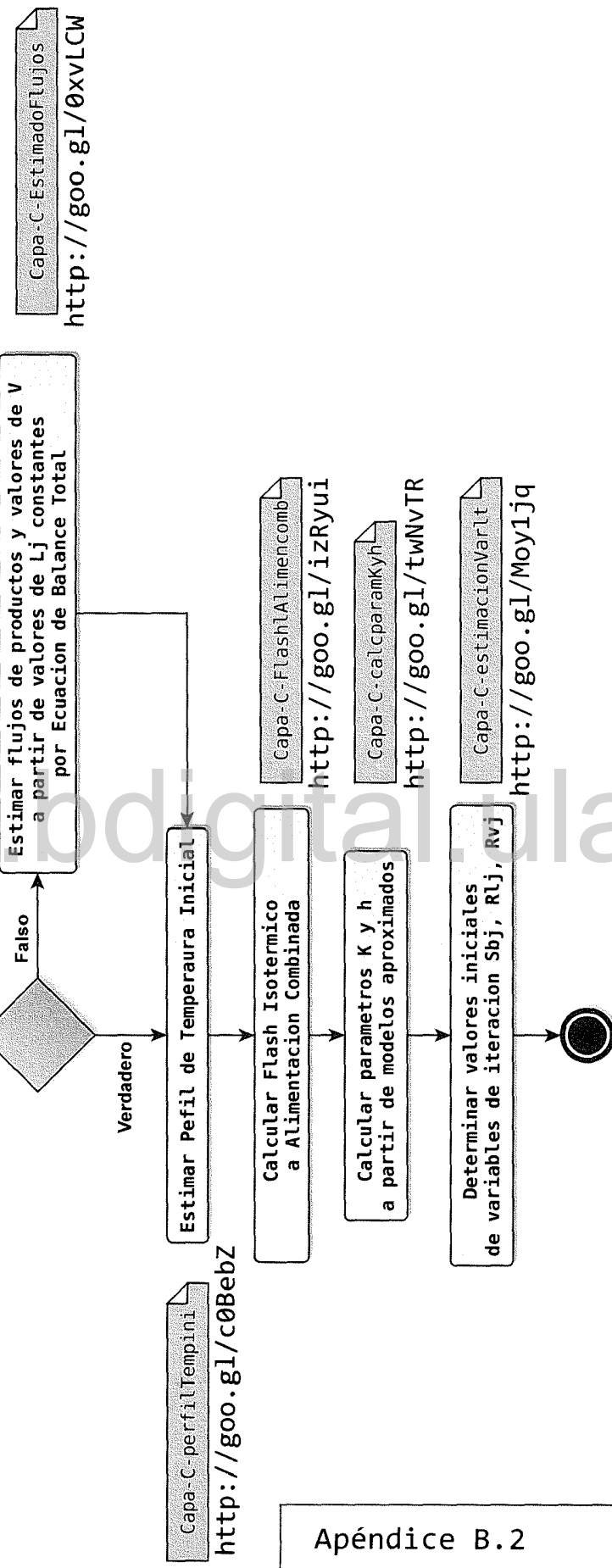
B.2. Diagramas de Actividades Capa-B

www.bdigital.ula.ve

Se debe Establecer el Número de Etapas, número de componentes, Perfil de Presión, Flujo de alimentación y Productos, Calores de intercambiadores interetapas, las Especificaciones de la Columna y Tipo de Condensador.

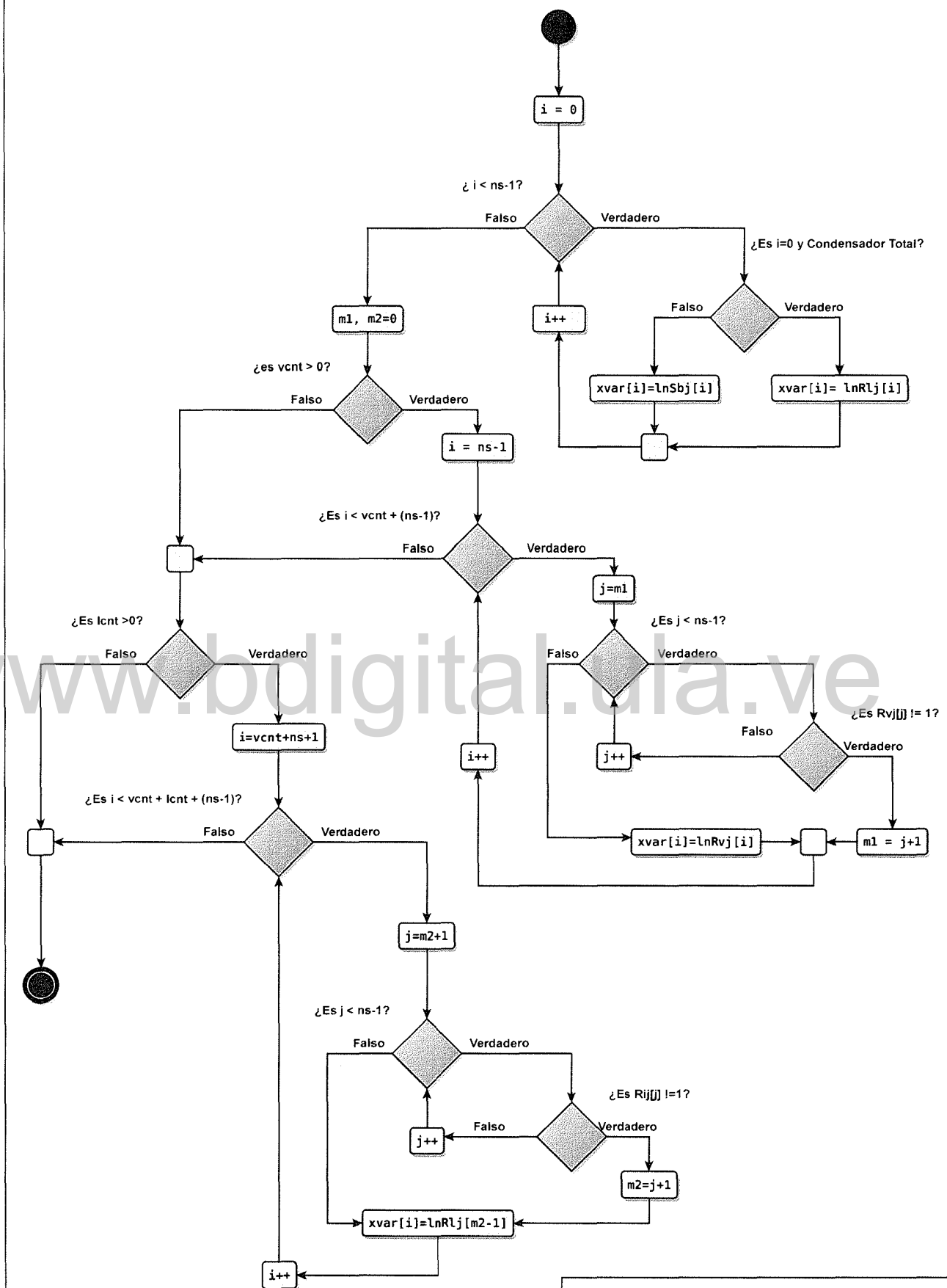
Especificar ns , nc , Pj , Fj , zi , Uj , Wj , Lns , Ui , $Specs$, Qj

¿Se tienen estimaciones de Flujo de Vapor y Líquido?



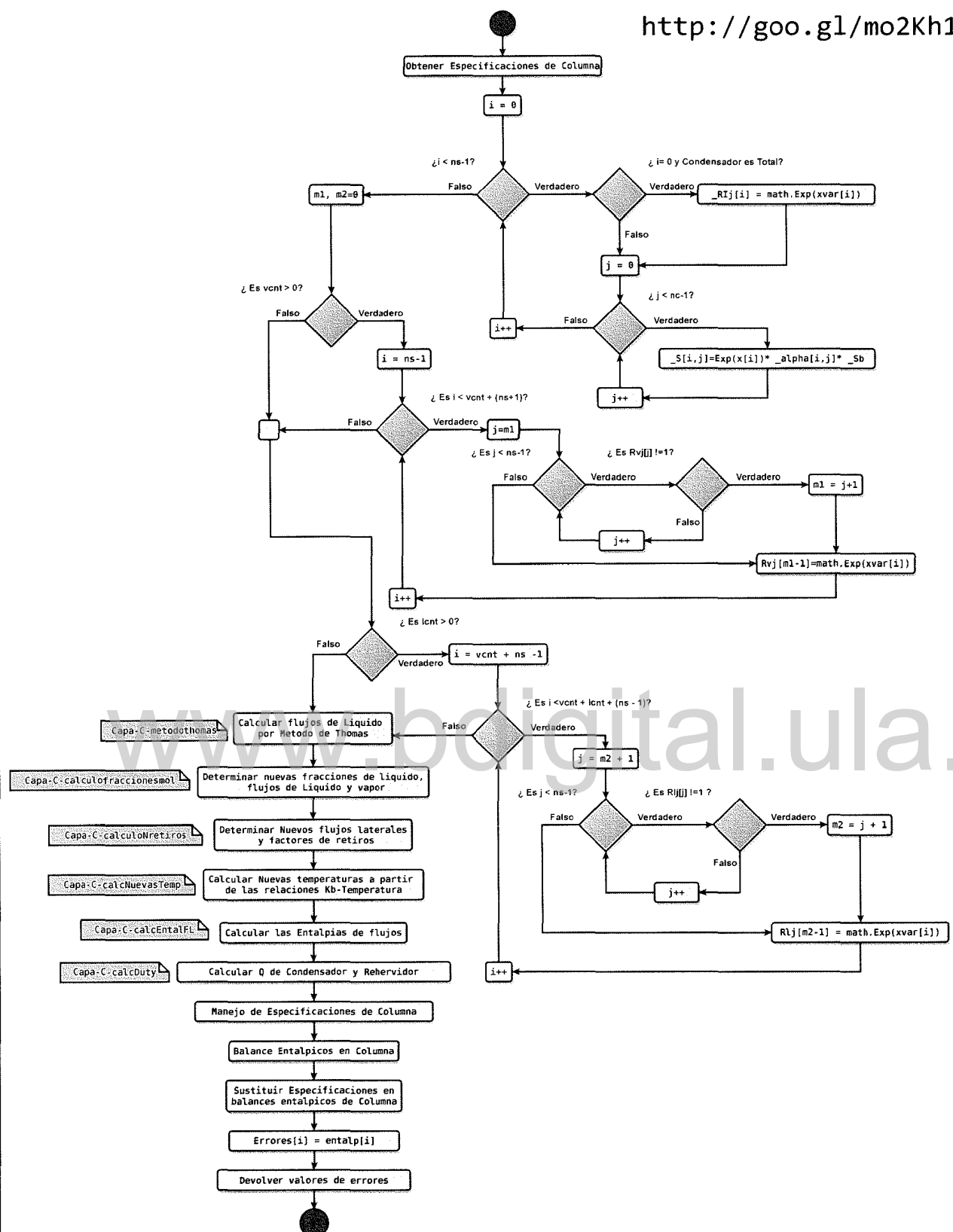
Apéndice B.2

Diagrama
 Capa-B-inicializacionRI-0



Apéndice B.2

Diagrama Capa-B-ActualVarIte

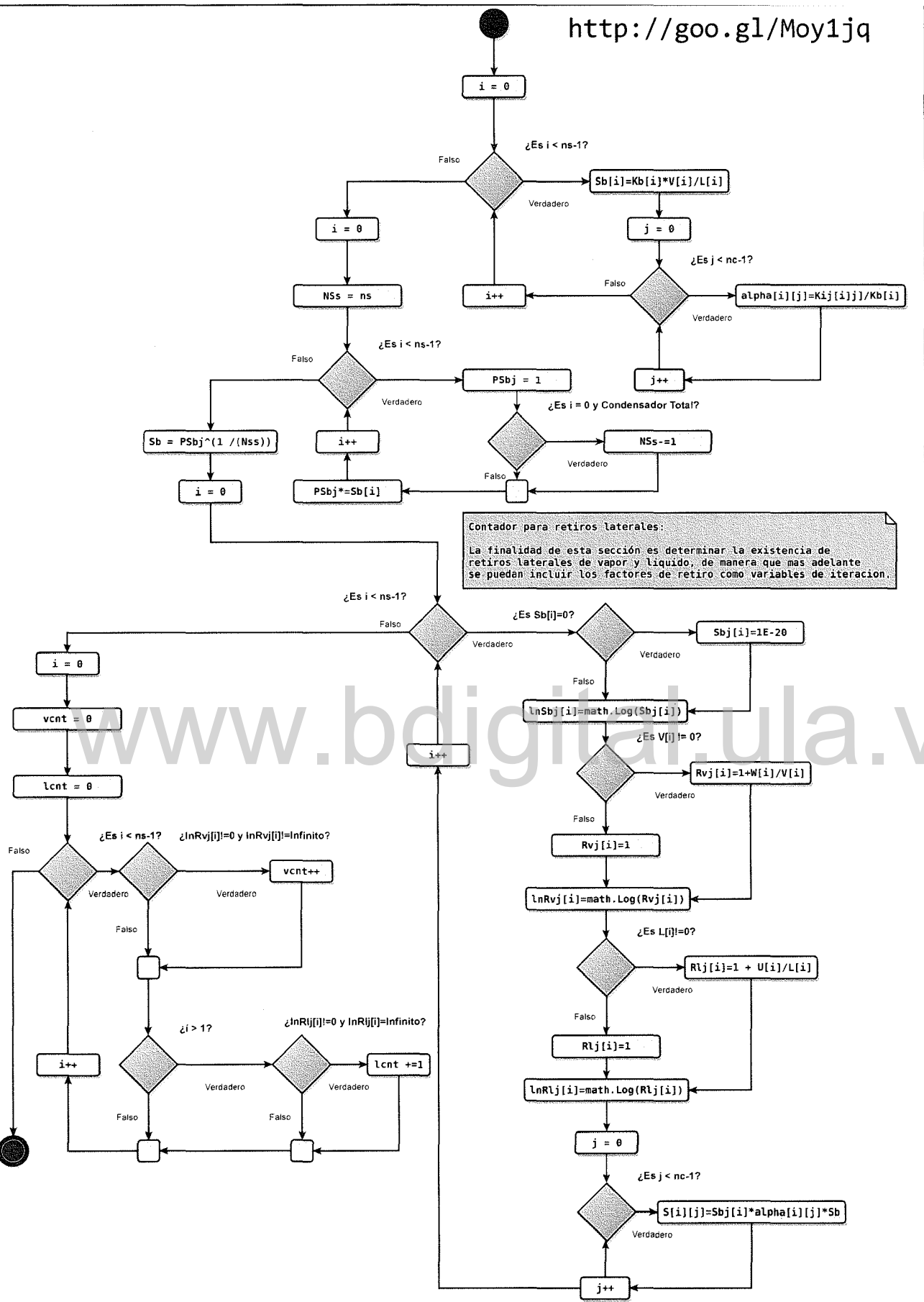


Apéndice B.2

Diagrama
Capa-B-FuncionValor

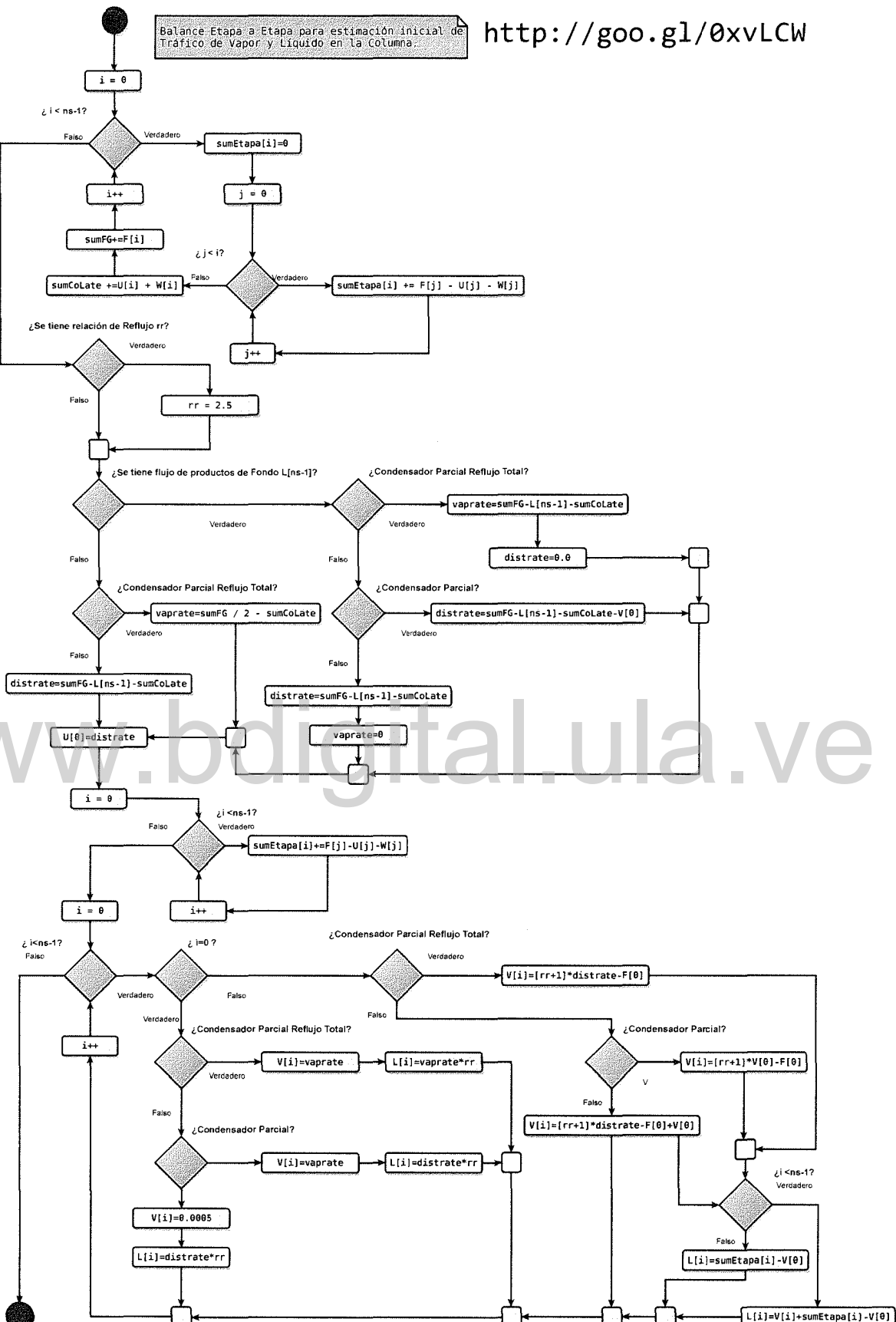
B.3. Diagramas de Actividades Capa-C

www.bdigital.ula.ve



Apéndice B.3

Diagrama Capa-C-estimacionVarIt

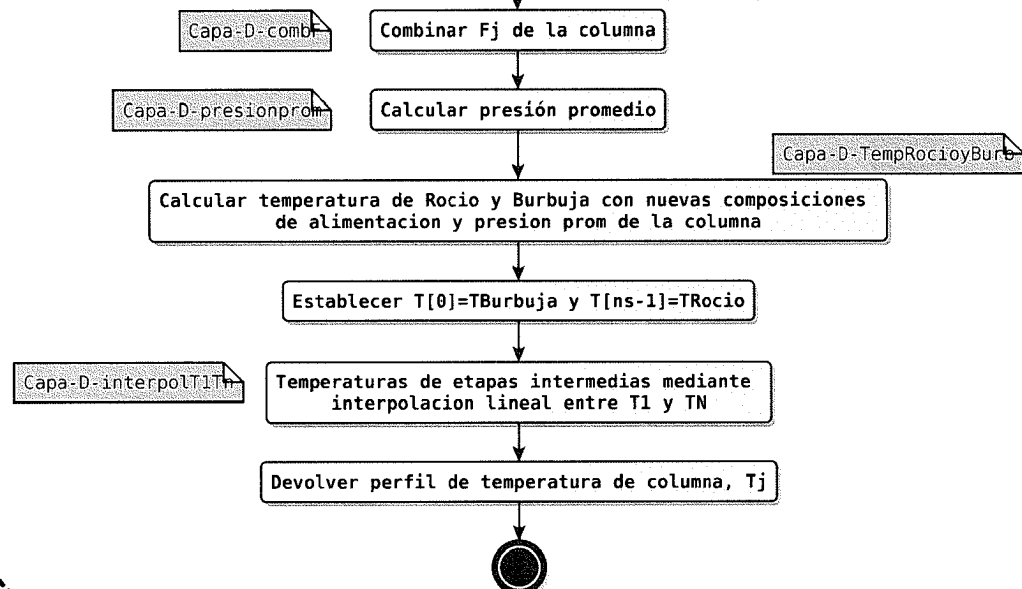


Apéndice B.3

Diagrama Capa-C-EstimadoFlujos

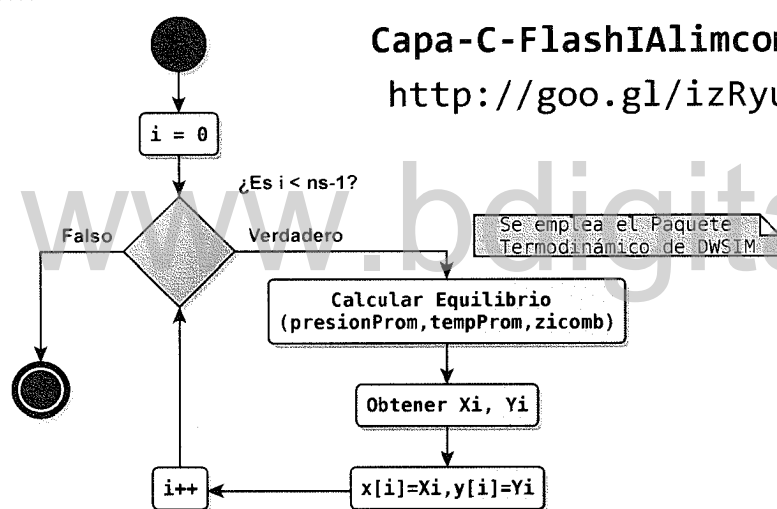
Capa-C-perfilTempini

<http://goo.gl/c0BebZ>



Capa-C-FlashIAlimcomb

<http://goo.gl/izRyui>



<http://goo.gl/cU0llM> → Capa-D-resolverMTD

Calcular parametros de matriz tridiagonal

Resolver matriz tridiagonal

Capa-E-TDMASolver

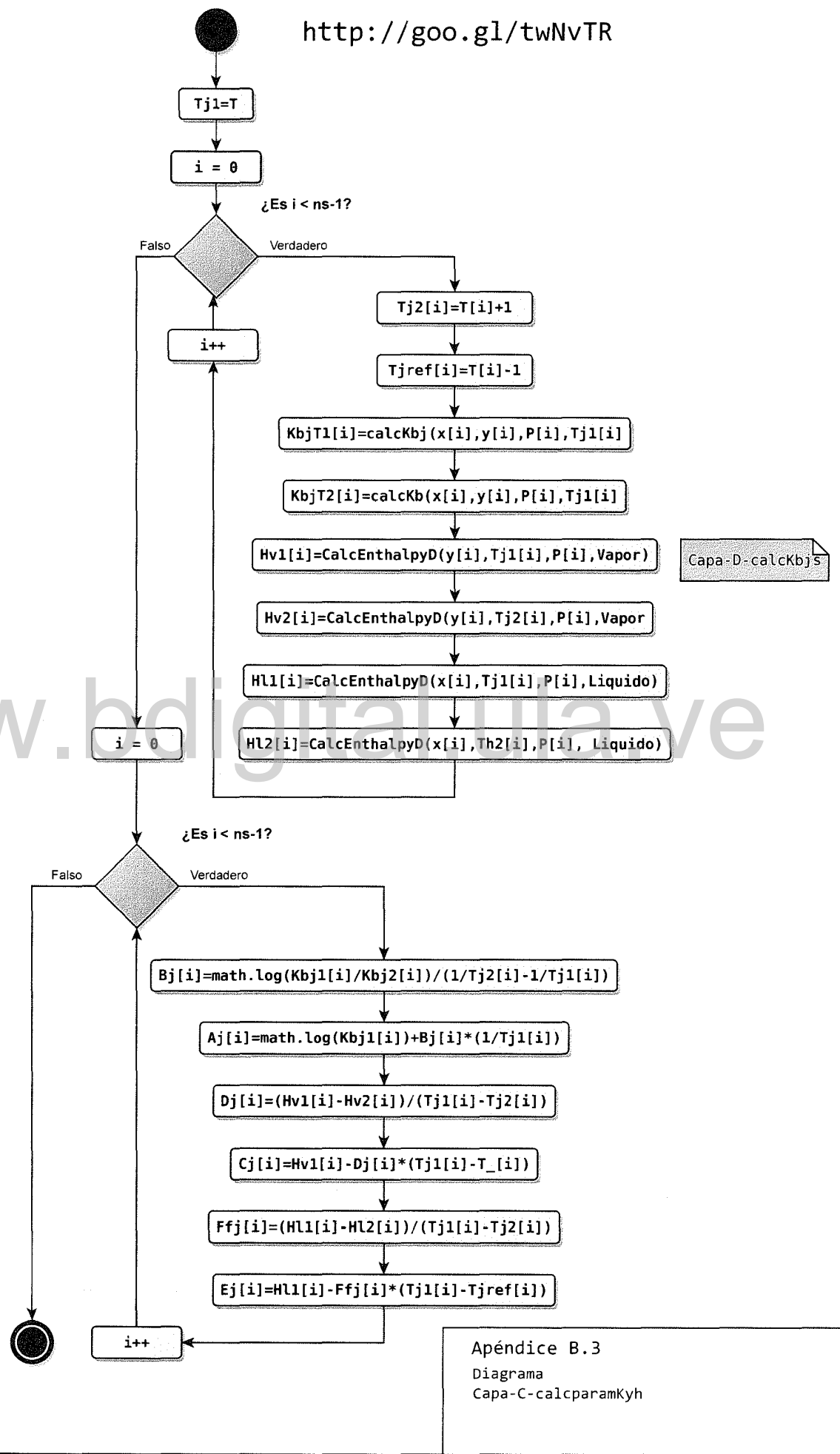
Devolver valores de flujos de liquido por componente

<http://goo.gl/qbMvH1>

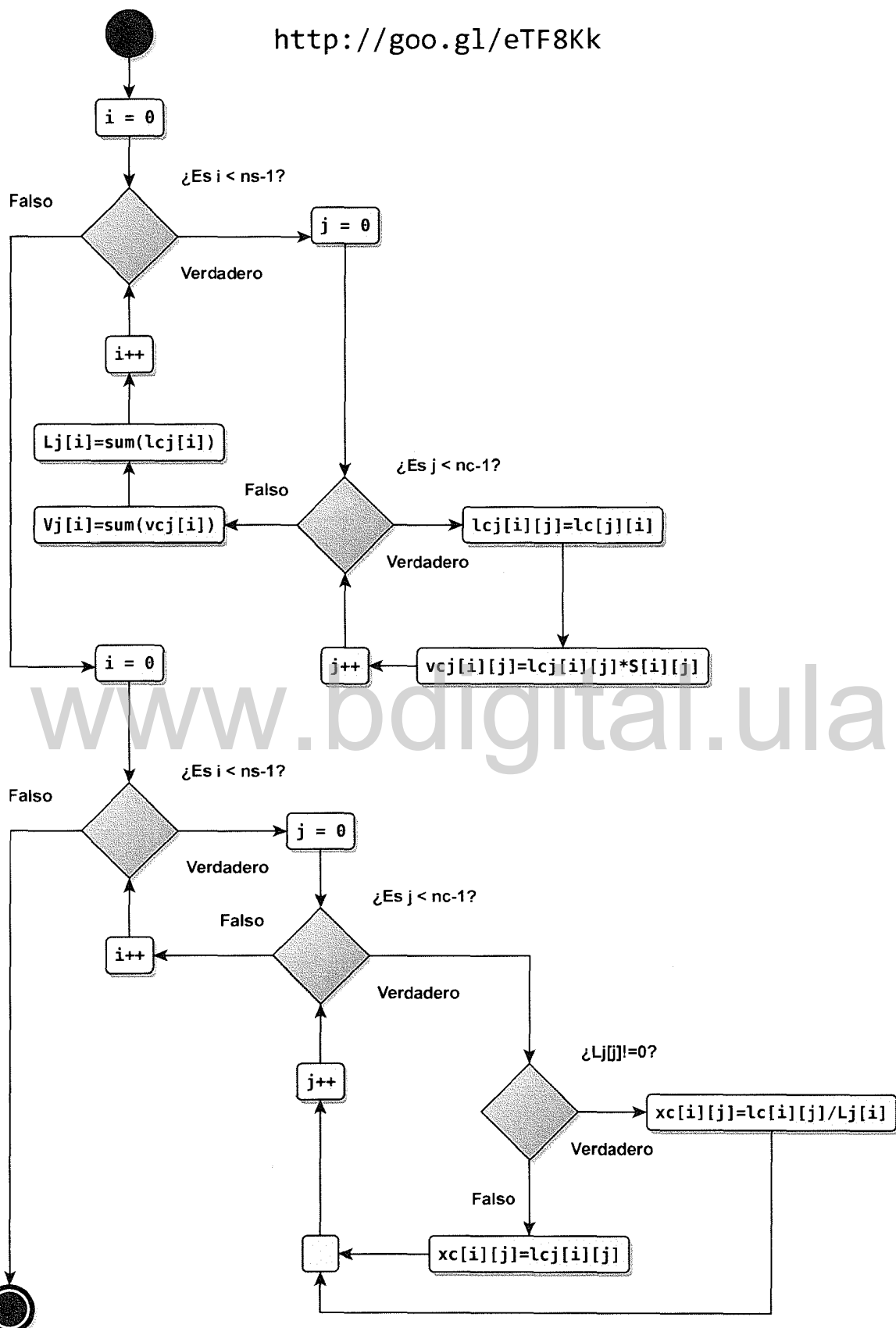
Capa-C-metodothomas

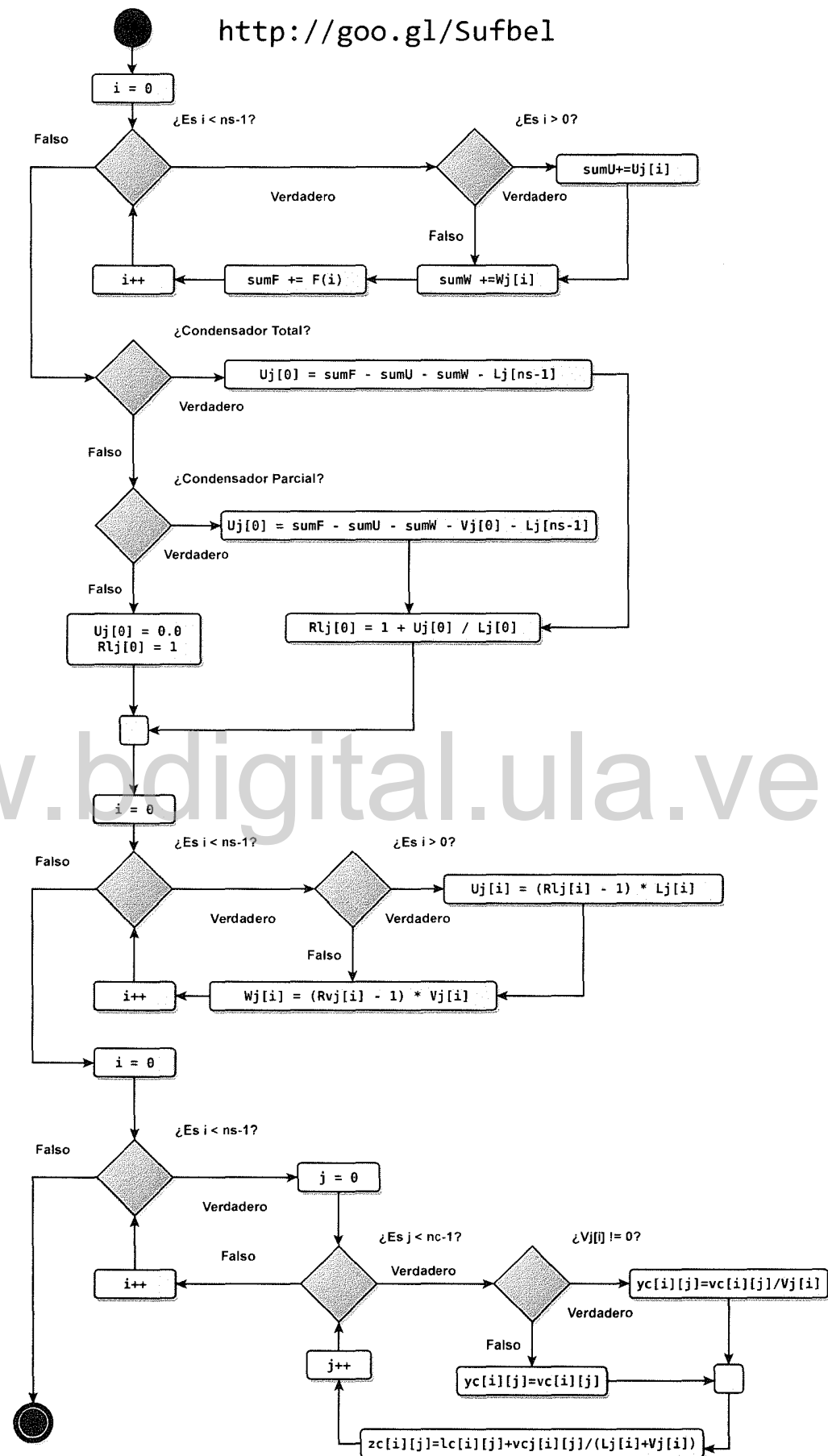
Apéndice B.3

Diagramas:
 Capa-C-perfilTempini
 Capa-C-FlashIAlimcomb
 Capa-C-metodothomas



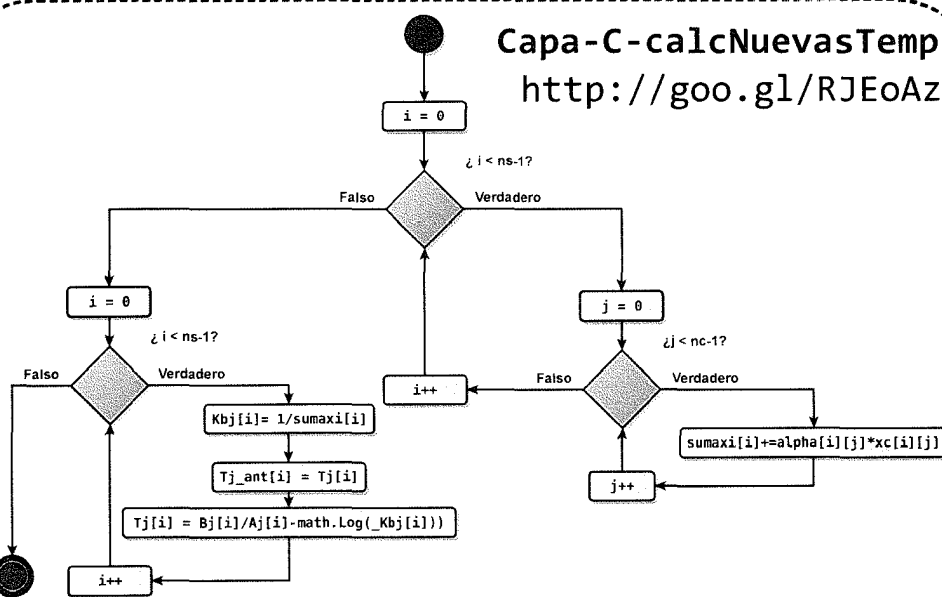
Apéndice B.3
Diagrama
Capa-C-calcparamKyh





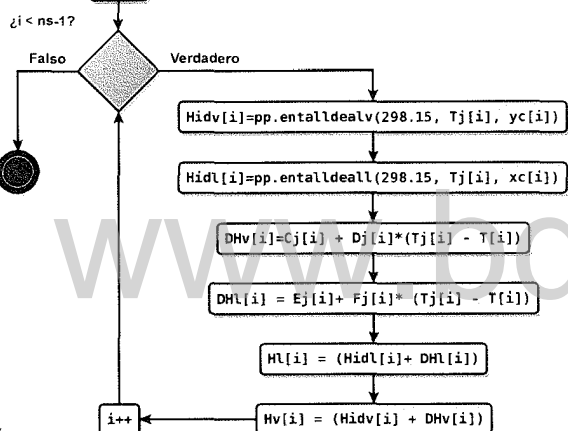
Capa-C-calcNuevasTemp

<http://goo.gl/RJEoAz>



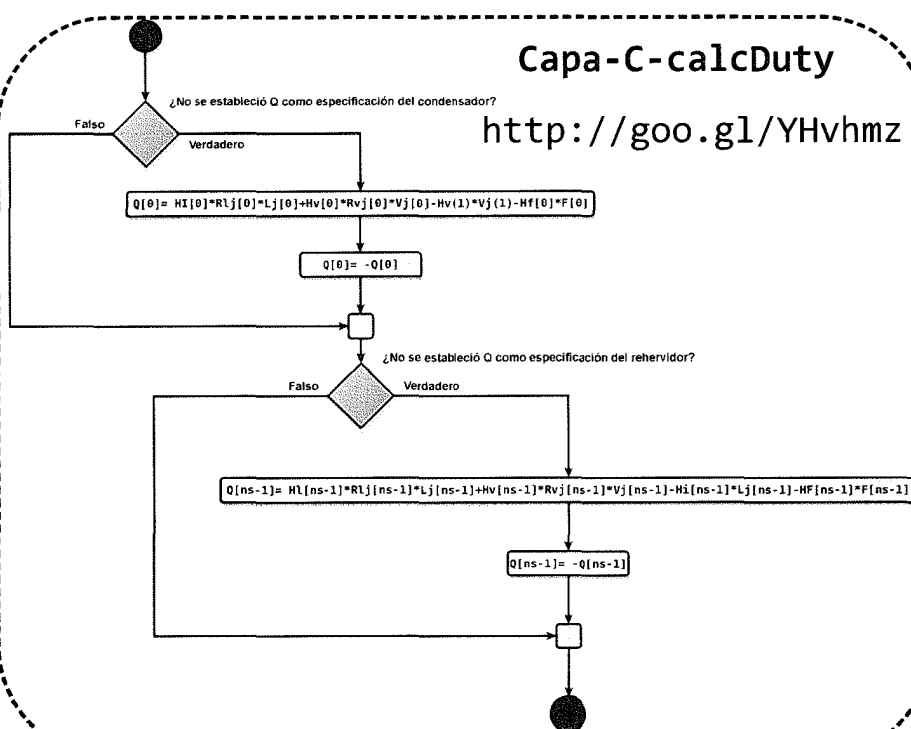
Capa-C-calcEntalFL

<http://goo.gl/b8wwNx>



Capa-C-calcDuty

<http://goo.gl/YHvhmz>

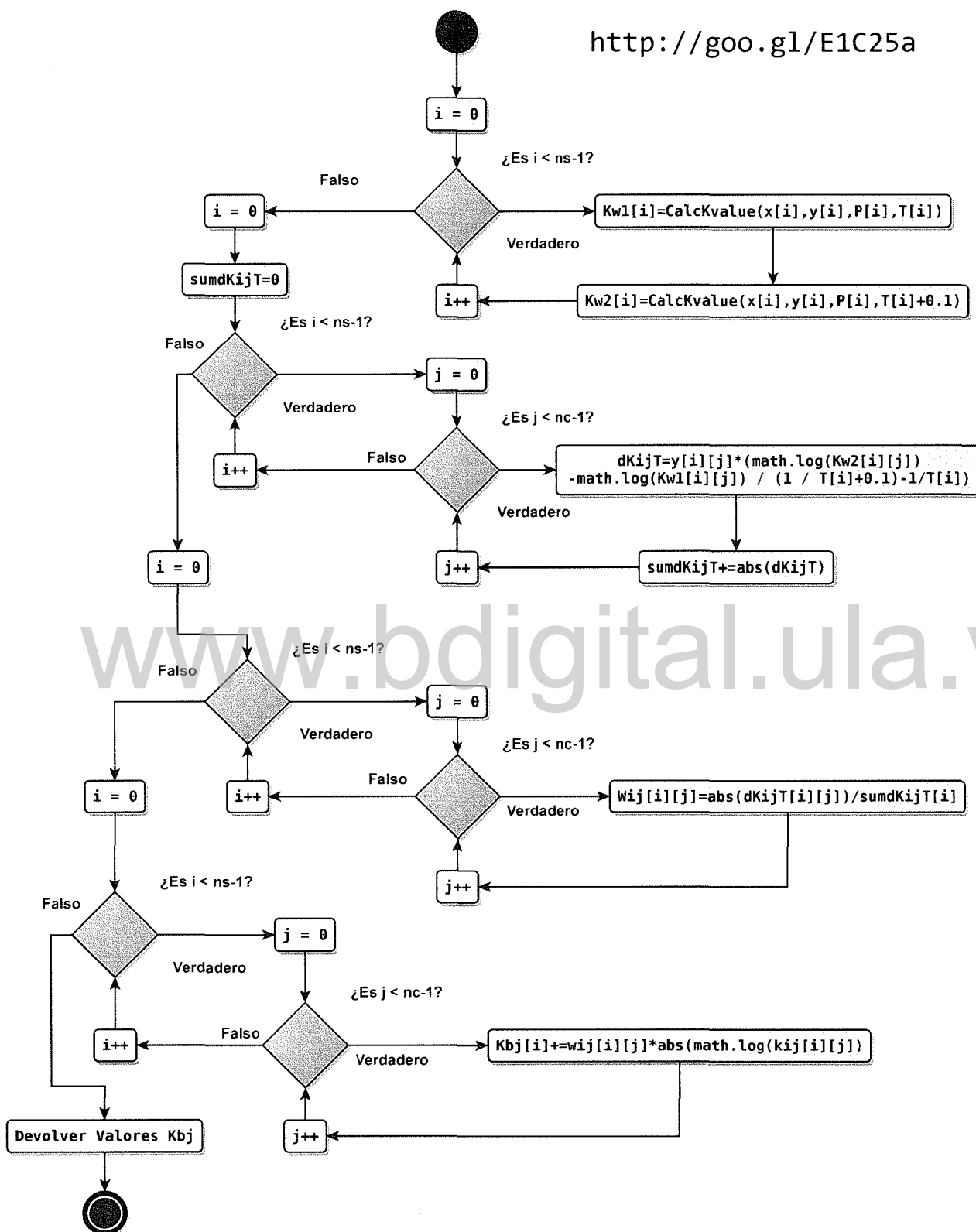


Apéndice B.3
 Diagramas:
 Capa-C-calcNuevasTemp
 Capa-C-calcEntalFL
 Capa-C-calcDuty

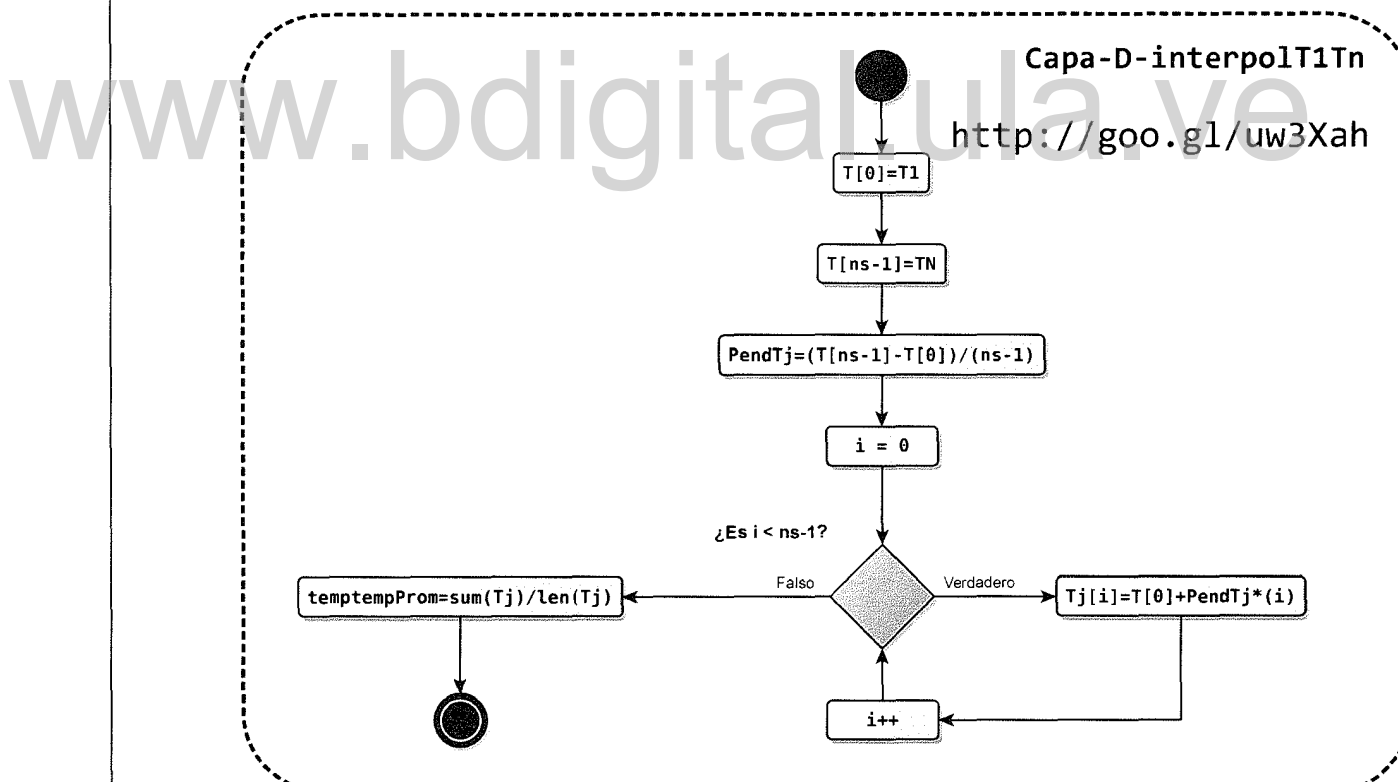
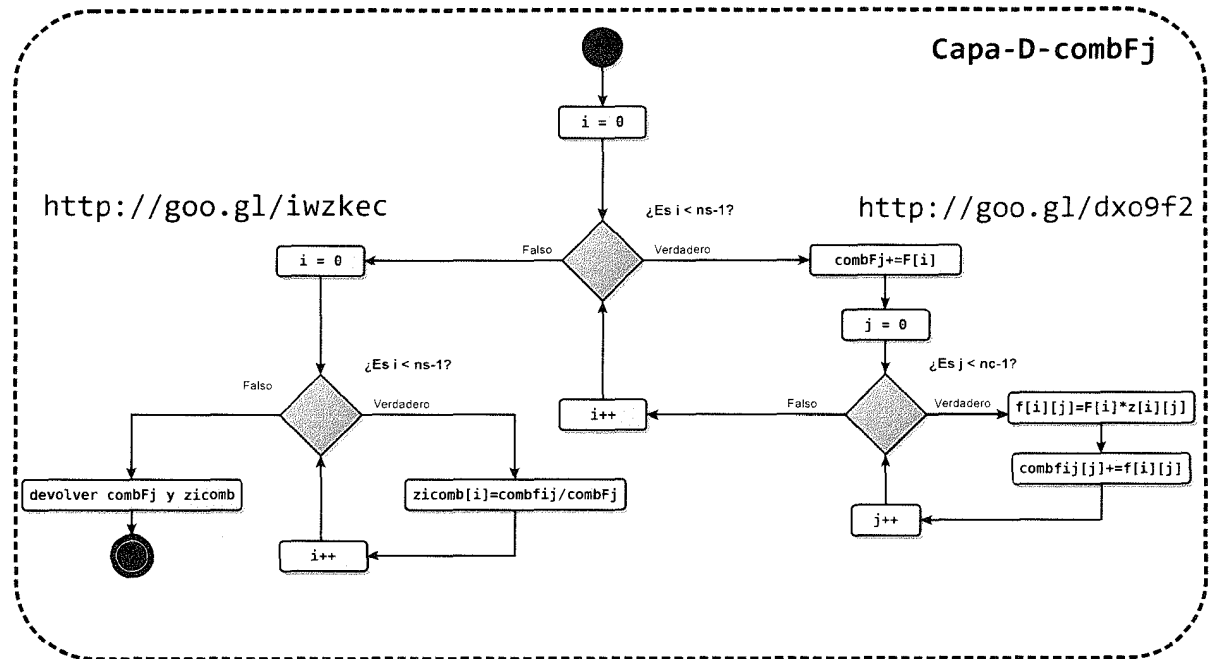
B.4. Diagramas de Actividades Capa-D

www.bdigital.ula.ve

<http://goo.gl/E1C25a>

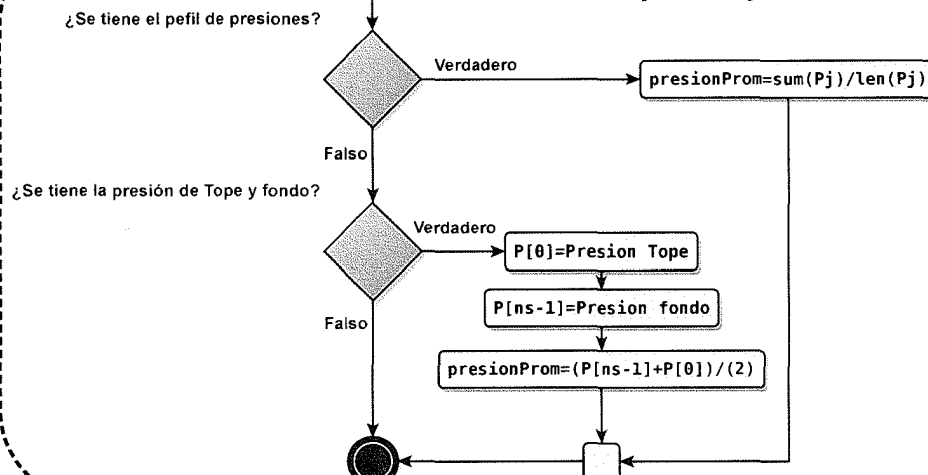


Apéndice B.4
Diagrama
Capa-D-calcKbjs



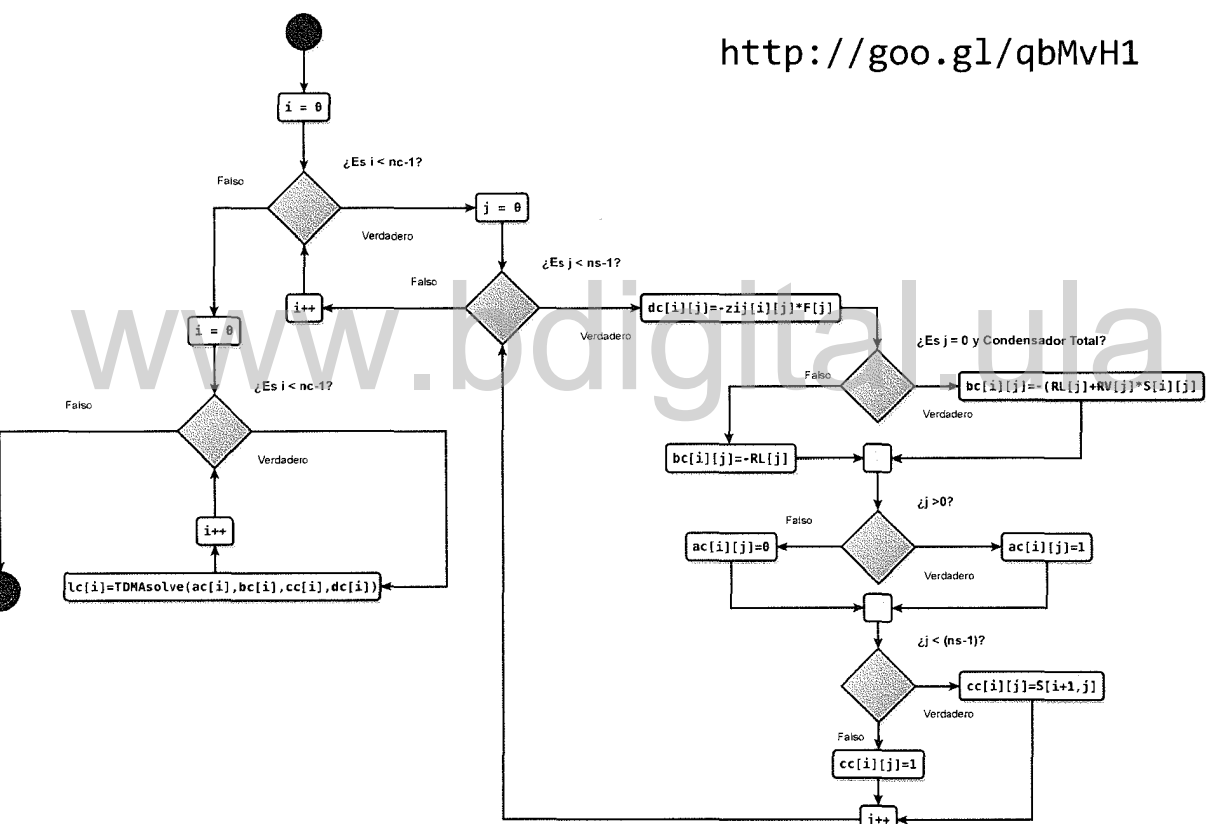
Apéndice B.4
 Diagramas:
 Capa-D-combFj
 Capa-D-interpolT1Tn

Capa-D-presionProm



Capa-D-resolverMTD

<http://goo.gl/qbMvH1>



Aqui se emplean las funciones del Paquete Termodinámico de DWSIM

TBurbuja=CalcBucT(zicomb, presionProm)

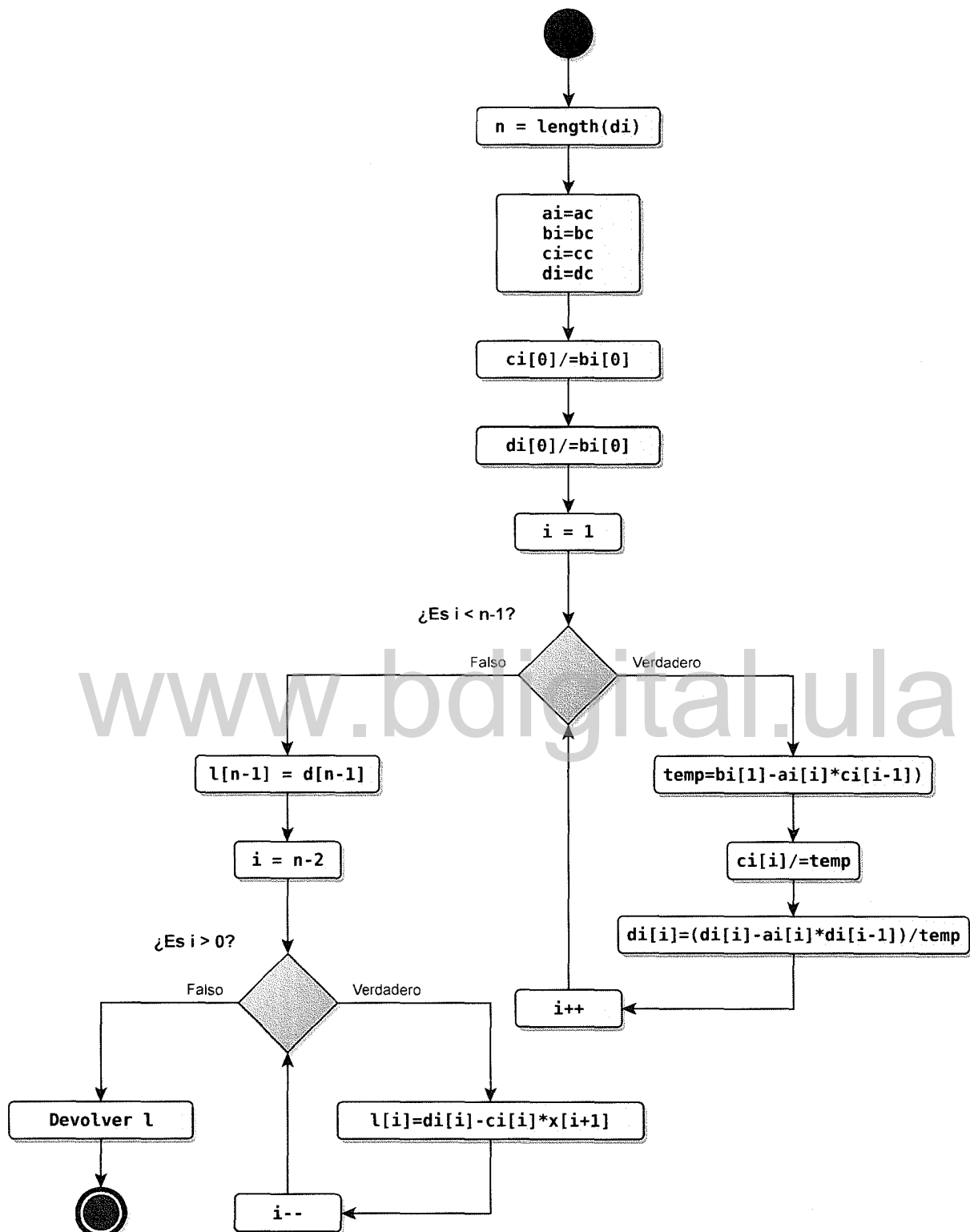
TRocio=CalcDewT(zicomb, presionProm) <http://goo.gl/iksTev>

Capa-D-tempRocioyBurb

Apéndice B.4
Diagramas:
Capa-D-presionProm
Capa-D-resolverMTD
Capa-D-tempRocioyBurb

B.5. Diagramas de Actividades Capa-E

www.bdigital.ula.ve



Apéndice B.5
Diagrama
Capa-E-TDMSolver

Apéndice C

Diagrama de Clases de DWSIM 3

www.bdigital.ula.ve

www.bdigital.ula.ve

Apéndice D

Tablas de Valores para Gráficas de Paridad de Simulaciones

D.1. Caso de Literatura 6

| | | DWSIM | PRO/II® | ChemSep™ | Referencia |
|---------------------------|-----------|-----------|-------------|------------|------------|
| Producto vapor de tope | Etano | 0,1812 | 0,1644 | 0,1715 | 0,1098 |
| | Propano | 0,8175 | 0,5923 | 0,7994 | 0,8518 |
| | N-Butano | 0,001324 | 0,2310 | 0,02909 | 0,0383 |
| | N-Pentano | 1E-07 | 0,0123 | 3,604E-05 | 0,0001 |
| | N-Hexane | 0,00000 | 2,667E-05 | 2,377E-08 | 0,0000 |
| Producto líquido de tope | Etano | 0,05162 | 0,05628 | 0,07320 | 0,25760 |
| | Propano | 0,9428 | 0,4725 | 0,85004 | 0,73020 |
| | N-Butano | 0,005542 | 0,4270 | 0,07653 | 0,01220 |
| | N-Pentano | 0,005542 | 0,04390 | 2,276E-04 | 0,00000 |
| | N-Hexane | 0,000 | 0,00028 | 3,492E-07 | 0,00000 |
| Retiro Lateral Líquido | Etano | 0,007996 | 0,03425 | 0,01879 | 0,020667 |
| | Propano | 0,9328728 | 0,3502 | 0,693 | 0,7763 |
| | N-Butano | 0,0589407 | 0,5088 | 0,285 | 0,2010 |
| | N-Pentano | 0,0001898 | 0,1040 | 0,00416 | 0,0020 |
| | N-Hexane | 0,0000 | 0,0027 | 3,0754E-05 | 0,0000 |
| Retiro Lateral Vapor | Etano | 1,9E-06 | 0,003992 | 1,3334E-04 | 8,1081E-05 |
| | Propano | 0,0060455 | 0,19153 | 0,04312 | 0,0321 |
| | N-Butano | 0,7967989 | 0,50933 | 0,6618 | 0,6836 |
| | N-Pentano | 0,190381 | 0,2777 | 0,2796 | 0,2709 |
| | N-Hexane | 0,0067727 | 0,01742 | 0,01525 | 0,0133 |
| Producto líquido de fondo | Etano | 0,00 | 3,99998E-05 | 7,2438E-07 | 0,00 |
| | Propano | 3,3E-05 | 0,01540 | 0,002195 | 0,001375 |
| | N-Butano | 0,1824 | 0,2757 | 0,2709 | 0,261700 |
| | N-Pentano | 0,6989 | 0,6002 | 0,61598 | 0,624250 |
| | N-Hexane | 0,1187 | 0,1086 | 0,1109 | 0,112675 |

Tabla D.1: Valores de fracciones molares para caso de literatura 6

D.2. Casos Operacionales

| | DWSIM | Referencia |
|-----------------------|--------|------------|
| Benceno | 0,9791 | 0,9994 |
| Tolueno | 0,021 | 0,00060 |
| Etilbenceno | 0,000 | 0,000 |
| P-xileno | 0,000 | 0,000 |
| M-xileno | 0,000 | 0,000 |
| O-xileno | 0,000 | 0,000 |
| Cumeno | 0,000 | 0,000 |
| 1,2,3-Trimetilbenceno | 0,000 | 0,000 |
| Nonano | 0,000 | 0,000 |
| N-propilbenceno | 0,000 | 0,000 |
| O-Etiltolueno | 0,000 | 0,000 |
| Indano | 0,000 | 0,000 |
| N-butilbenceno | 0,000 | 0,000 |
| N-pentilbenceno | 0,000 | 0,000 |
| Bifenil | 0,000 | 0,000 |

(a) Producto de Tope

| | DWSIM | Referencia |
|-----------------------|-----------|------------|
| Benceno | 0,00254 | 0,001 |
| Tolueno | 0,5557 | 0,511 |
| Etilbenceno | 0,05848 | 0,062 |
| P-xileno | 0,05974 | 0,063 |
| M-xileno | 0,1463 | 0,154 |
| O-xileno | 0,07369 | 0,078 |
| Cumeno | 0,0023736 | 0,003 |
| 1,2,3-Trimetilbenceno | 0,0317694 | 0,038 |
| Nonano | 8,56E-05 | 0,000 |
| N-propilbenceno | 0,0034691 | 0,004 |
| O-Etiltolueno | 0,0291224 | 0,035 |
| Indano | 0,0006499 | 0,001 |
| N-butilbenceno | 0,0206012 | 0,027 |
| N-pentilbenceno | 0,0073275 | 0,011 |
| Bifenil | 0,0081827 | 0,013 |

(b) Producto de Fondo

Tabla D.2: Valores de fracciones molares para caso operacional 1 escenario 1

| | DWSIM | Referencia |
|-----------------------|----------|------------|
| Benceno | 0,99840 | 1,000 |
| Tolueno | 0,001210 | 0,000 |
| Etilbenceno | 0,000 | 0,000 |
| P-xileno | 0,000 | 0,000 |
| M-xileno | 0,000 | 0,000 |
| O-xileno | 0,000 | 0,000 |
| Cumeno | 0,000 | 0,000 |
| 1,2,3-Trimetilbenceno | 0,000 | 0,000 |
| Nonano | 0,000 | 0,000 |
| N-propilbenceno | 0,000 | 0,000 |
| O-Etiltolueno | 0,000 | 0,000 |
| Indano | 0,000 | 0,000 |
| N-butilbenceno | 0,000 | 0,000 |
| N-pentilbenceno | 0,000 | 0,000 |
| Bifenil | 0,000 | 0,000 |

(a) Producto de Tope

| | DWSIM | Referencia |
|-----------------------|-----------|------------|
| Benceno | 0,000 | 0,03128 |
| Tolueno | 0,458749 | 0,4108 |
| Etilbenceno | 0,0673856 | 0,06941 |
| P-xileno | 0,0688143 | 0,07088 |
| M-xileno | 0,168464 | 0,1735 |
| O-xileno | 0,0848868 | 0,08746 |
| Cumeno | 0,0034791 | 0,004066 |
| 1,2,3-Trimetilbenceno | 0,0465664 | 0,0543 |
| Nonano | 0,000 | 0,000 |
| N-propilbenceno | 0,0050848 | 0,005943 |
| O-Etiltolueno | 0,0426866 | 0,0498 |
| Indano | 0,0009527 | 0,00109,5 |
| N-butilbenceno | 0,0301965 | 0,0393,2 |
| N-pentilbenceno | 0,0107405 | 0,0154,5 |
| Bifenil | 0,0119939 | 0,01795 |

(b) Producto de Fondo

Tabla D.3: Valores de fracciones molares para caso operacional 1 escenario 1

| | DWSIM | Referencia |
|-----------------------|---------|------------|
| Benceno | 0,00308 | 0,00262 |
| Tolueno | 0,00349 | 0,00352 |
| Etilbenceno | 0,00031 | 0,00031 |
| P-xileno | 0,25169 | 0,24520 |
| M-xileno | 0,73135 | 0,73942 |
| O-xileno | 0,00714 | 0,00637 |
| Cumeno | 0,00014 | 0,00005 |
| 1,2,3-Trimetilbenceno | 0,00098 | 0,00055 |
| Nonano | 0,00150 | 0,00096 |
| N-propilbenceno | 0,00020 | 0,00005 |
| O-Etiltolueno | 0,00007 | 0,00002 |
| Indano | 0,00004 | 0,00004 |
| N-butilbenceno | 0,00000 | 0,00000 |
| N-pentilbenceno | 0,00000 | 0,00000 |
| Bifenil | 0,00000 | 0,00090 |

(a) Producto de Tope

| | DWSIM | Referencia |
|-----------------------|---------|------------|
| Benceno | 0,000 | 0,000 |
| Tolueno | 0,000 | 0,000 |
| Etilbenceno | 0,000 | 0,000 |
| P-xileno | 0,00142 | 0,000 |
| M-xileno | 0,01868 | 0,00668 |
| O-xileno | 0,33168 | 0,33630 |
| Cumeno | 0,09579 | 0,09704 |
| 1,2,3-Trimetilbenceno | 0,13549 | 0,13744 |
| Nonano | 0,17709 | 0,17961 |
| N-propilbenceno | 0,13610 | 0,13788 |
| O-Etiltolueno | 0,09550 | 0,09672 |
| Indano | 0,00707 | 0,00716 |
| N-butilbenceno | 0,00054 | 0,00055 |
| N-pentilbenceno | 0,00056 | 0,00057 |
| Bifenil | 0,00006 | 0,00004 |

(b) Producto de Fondo

Tabla D.4: Valores de fracciones másicas para caso operacional 2

Apéndice E

Archivos de Código Fuente Modificados de DWSIM

E.1. Archivo *Script parcial* RigorousColumn.vb

```
3126 Public Overrides Function Calculate(Optional ByVal args As Object = Nothing) As Integer
3127
3128     Dim objargs As New DWSTM.Outros.StatusChangeEventArgs
3129
3130     'Validate unitop status.
3131     Me.Validate()
3132
3133     'Check connectors' positions
3134     Me.CheckConnPos()
3135
3136     'prepare variables
3137
3138     Dim llextractor As Boolean = False
3139     Dim myabs As AbsorptionColumn = TryCast(Me, AbsorptionColumn)
3140     If myabs IsNot Nothing Then
3141         If CType(Me, AbsorptionColumn).OperationMode = AbsorptionColumn.OpMode.Absorber
3142             Then
3143                 llextractor = False
3144             Else
3145                 llextractor = True
3146             End If
3147         End If
3148
3149     Dim pp As PropertyPackages.PropertyPackage = Me.PropertyPackage
3150
3151     Dim nc, ns, maxits, i, j As Integer
3152     Dim firstF As Integer = -1
3153     Dim lastF As Integer = -1
3154     nc = Me.FlowSheet.Options.SelectedComponents.Count
3155     ns = Me.Stages.Count - 1
3156     maxits = Me.MaxIterations
3157
3158     Dim tol(4) As Double
```

```

3158 tol(0) = Me.InternalLoopTolerance
3159 tol(1) = Me.ExternalLoopTolerance
3160
3161 Dim F(ns), Q(ns), V(ns), L(ns), VSS(ns), LSS(ns), HF(ns), T(ns), FT(ns), P(ns), fracv(
3162     ns), eff(ns), _
3163     distrate, rr, vaprate As Double
3164
3165 Dim x(ns)() As Double, y(ns)() As Double, z(ns)() As Double, fc(ns)() As Double
3166 Dim idealK(ns)(), Kval(ns)(), Pvap(ns)() As Double
3167
3168 For i = 0 To ns
3169     Array.Resize(x(i), nc)
3170     Array.Resize(y(i), nc)
3171     Array.Resize(fc(i), nc)
3172     Array.Resize(z(i), nc)
3173     Array.Resize(idealK(i), nc)
3174     Array.Resize(Kval(i), nc)
3175     Array.Resize(Pvap(i), nc)
3176 Next
3177
3178 Dim sumcf(nc - 1), sumF, zm(nc - 1) As Double
3179 i = 0
3180
3181 Dim stream As New SimulationObjects.Streams.MaterialStream("", "")
3182
3183 For Each ms As StreamInformation In Me.MaterialStreams.Values
3184     Select Case ms.StreamBehavior
3185         Case StreamInformation.Behavior.Feed
3186             stream = FlowSheet.Collections.CLCS_MaterialStreamCollection(ms.Name)
3187             pp.CurrentMaterialStream = stream
3188             F(StageIndex(ms.AssociatedStage)) = stream.Fases(0).SPMProperties.molarflow
3189                 .GetValueOrDefault
3190             HF(StageIndex(ms.AssociatedStage)) = stream.Fases(0).SPMProperties.enthalpy
3191                 .GetValueOrDefault * _
3192                     stream.Fases(0).SPMProperties.
3193                         molecularWeight.GetValueOrDefault
3194             FT(StageIndex(ms.AssociatedStage)) = stream.Fases(0).SPMProperties.
3195                 temperature.GetValueOrDefault
3196             sumF += F(StageIndex(ms.AssociatedStage))
3197             j = 0
3198             For Each comp As ClassesBasicasTermodinamica.Substancia In stream.Fases(0).
3199                 Componentes.Values
3200                     fc(StageIndex(ms.AssociatedStage))(j) = comp.FracaoMolar.
3201                         GetValueOrDefault
3202                     z(StageIndex(ms.AssociatedStage))(j) = comp.FracaoMolar.
3203                         GetValueOrDefault
3204                     sumcf(j) += comp.FracaoMolar.GetValueOrDefault * F(StageIndex(ms.
3205                         AssociatedStage))
3206                     j = j + 1
3207             Next
3208             If firstF = -1 Then firstF = StageIndex(ms.AssociatedStage)
3209             Case StreamInformation.Behavior.Sidedraw
3210                 If ms.StreamPhase = StreamInformation.Phase.L Then

```

```

3203             LSS(StageIndex(ms.AssociatedStage)) = ms.FlowRate.Value
3204         Else
3205             VSS(StageIndex(ms.AssociatedStage)) = ms.FlowRate.Value
3206         End If
3207     Case StreamInformation.Behavior.InterExchanger
3208         Q(StageIndex(ms.AssociatedStage)) = -FlowSheet.Collections.
3209             CLCS_EnergyStreamCollection(ms.Name).Energia.GetValueOrDefault
3210         End Select
3211         i += 1
3212     Next
3213 
3214     Dim cv As New SistemasDeUnidades.Conversor
3215     vaprate = cv.ConverterParaSI(Me.VaporFlowRateUnit, Me.VaporFlowRate)
3216 
3217     Dim sum1(ns), sum0_ As Double
3218     sum0_ = 0
3219     For i = 0 To ns
3220         sum1(i) = 0
3221         For j = 0 To i
3222             sum1(i) += F(j) - LSS(j) - VSS(j)
3223         Next
3224         sum0_ += LSS(i) + VSS(i)
3225     Next
3226 
3227     If Me.Specs("C").SType = ColumnSpec.SpecType.Stream_Ratio Then
3228         rr = Me.Specs("C").SpecValue
3229     Else
3230         rr = 2.5
3231     End If
3232     If Me.Specs("R").SType = ColumnSpec.SpecType.Product_Molar_Flow_Rate Then
3233         If Me.CondenserType = condtype.Full_Reflux Then
3234             vaprate = sumF - cv.ConverterParaSI(Me.Specs("R").SpecUnit, Me.Specs("R").
3235                 SpecValue) - sum0_
3236             distrate = 0.0
3237         ElseIf Me.CondenserType = condtype.Partial_Condenser Then
3238             If Me.Specs("C").SType = ColumnSpec.SpecType.Product_Molar_Flow_Rate Then
3239                 distrate = cv.ConverterParaSI(Me.Specs("C").SpecUnit, Me.Specs("C").
3240                     SpecValue)
3241             Else
3242                 distrate = sumF - cv.ConverterParaSI(Me.Specs("R").SpecUnit, Me.Specs("R").
3243                     SpecValue) - sum0_ - vaprate
3244             End If
3245         Else
3246             distrate = sumF - cv.ConverterParaSI(Me.Specs("R").SpecUnit, Me.Specs("R").
3247                 SpecValue) - sum0_
3248             vaprate = 0.0
3249         End If
3250     Else
3251         If Me.CondenserType = condtype.Full_Reflux Then
3252             vaprate = sumF / 2 - sum0_
3253         Else
3254             distrate = sumF / 2 - sum0_ - vaprate

```

```

3252         End If
3253     End If
3254
3255     compids = New ArrayList
3256     compids.Clear()
3257     For Each comp As ClassesBasicasTermodinamica.Substancia In stream.Fases(0).Componentes
3258         .Values
3259         compids.Add(comp.Nome)
3260     Next
3261
3262     For i = ns To 0 Step -1
3263         If F(i) <> 0 Then
3264             lastF = i
3265             Exit For
3266         End If
3267     Next
3268
3269     For i = 0 To nc - 1
3270         zm(i) = sumcf(i) / sumF
3271     Next
3272
3273     Dim T1, T2 As Double
3274
3275     Select Case Me.ColumnType
3276         Case ColType.DistillationColumn
3277             LSS(0) = distrate
3278         Case ColType.RefluxedAbsorber
3279             LSS(0) = distrate
3280     End Select
3281
3282     P(ns) = Me.ReboilerPressure
3283     P(0) = Me.CondenserPressure
3284
3285     Select Case Me.ColumnType
3286         Case ColType.AbsorptionColumn
3287             T1 = MathEx.Common.Max(FT)
3288             T2 = T1
3289         Case ColType.ReboiledAbsorber
3290             T1 = MathEx.Common.Max(FT)
3291             T2 = T1
3292         Case ColType.RefluxedAbsorber
3293             T1 = MathEx.Common.Max(FT)
3294             T2 = T1
3295         Case ColType.DistillationColumn
3296             Try
3297                 T1 = pp.DW_CalcBubT(zm, P(0))(4) '* 1.01
3298             Catch ex As Exception
3299                 T1 = MathEx.Common.Min(FT)
3300             End Try
3301             Try
3302                 T2 = pp.DW_CalcDewT(zm, P(ns))(4) '* 0.99
3303             Catch ex As Exception
3304                 T2 = MathEx.Common.Max(FT)
3305             End Try

```

```

3305     End Select
3306
3307     For i = 0 To ns
3308         sum1(i) = 0
3309         For j = 0 To i
3310             sum1(i) += F(j) - LSS(j) - VSS(j)
3311         Next
3312     Next
3313
3314     T(0) = T1
3315     T(ns) = T2
3316
3317     'Dim pv(nc - 1) As Double
3318     'For i = 0 To nc - 1
3319     '    pv(i) = pp.AUX_PVAPi(i, (T1 + T2) / 2)
3320     'Next
3321
3322     'Dim vapfrac As Double = Me.CalcIdealVapFrac(zm, pv, (P(0) + P(ns)) / 2)
3323
3324     i = 0
3325     For Each st As Stage In Me.Stages
3326         P(i) = st.P
3327         eff(i) = st.Efficiency
3328         If Me.UseTemperatureEstimates Then
3329             T(i) = Me.InitialEstimates.StageTemps(i).Value
3330         Else
3331             T(i) = (T2 - T1) * (i) / ns + T1
3332         End If
3333         If Me.UseVaporFlowEstimates Then
3334             V(i) = Me.InitialEstimates.VapMolarFlows(i).Value
3335         Else
3336             If i = 0 Then
3337                 Select Case Me.ColumnType
3338                     Case ColType.DistillationColumn
3339                         If Me.CondenserType = condtype.Total_Condenser Then
3340                             V(0) = 0.0005
3341                         Else
3342                             V(0) = vaprate
3343                         End If
3344                     Case ColType.RefluxedAbsorber
3345                         If Me.CondenserType = condtype.Total_Condenser Then
3346                             V(0) = 0.0005
3347                         Else
3348                             V(0) = vaprate
3349                         End If
3350                     Case Else
3351                         V(0) = F(lastF)
3352                 End Select
3353             Else
3354                 Select Case Me.ColumnType
3355                     Case ColType.DistillationColumn
3356                         If Me.CondenserType = condtype.Partial_Condenser Then
3357                             V(i) = (rr + 1) * (distrate + vaprate) - F(0)
3358                         ElseIf Me.CondenserType = condtype.Full_Refux Then

```

```

3359             V(i) = (rr + 1) * V(0) - F(0)
3360         Else
3361             V(i) = (rr + 1) * distrate - F(0)
3362         End If
3363     Case ColType.RefluxedAbsorber
3364         V(i) = (rr + 1) * distrate - F(0) + V(0)
3365     Case ColType.AbsorptionColumn
3366         V(i) = F(lastF)
3367     Case ColType.ReboiledAbsorber
3368         V(i) = F(lastF)
3369     End Select
3370 End If
3371 End If
3372 If Me.UseLiquidFlowEstimates Then
3373     L(i) = Me.InitialEstimates.LiqMolarFlows(i).Value
3374 Else
3375     If i = 0 Then
3376         Select Case Me.ColumnType
3377             Case ColType.DistillationColumn
3378                 If Me.CondenserType = condtype.Partial_Condenser Then
3379                     L(0) = (distrate + vaprate) * rr
3380                 ElseIf Me.CondenserType = condtype.Full_Reflux Then
3381                     L(0) = vaprate * rr
3382                 Else
3383                     L(0) = distrate * rr
3384                 End If
3385             Case ColType.RefluxedAbsorber
3386                 If Me.CondenserType = condtype.Partial_Condenser Then
3387                     L(0) = distrate * rr
3388                 ElseIf Me.CondenserType = condtype.Full_Reflux Then
3389                 Else
3390                     L(0) = distrate * rr
3391                 End If
3392             Case Else
3393                 L(0) = F(firstF)
3394                 If L(0) = 0 Then L(i) = 0.00001
3395             End Select
3396         Else
3397             Select Case Me.ColumnType
3398                 Case ColType.DistillationColumn
3399                     If i < ns Then L(i) = V(i) + sum1(i) - V(0) Else L(i) = sum1(i) - V
3400                         (0)
3401                 Case ColType.RefluxedAbsorber
3402                     If i < ns Then L(i) = V(i) + sum1(i) - V(0) Else L(i) = sum1(i) - V
3403                         (0)
3404                 Case ColType.AbsorptionColumn
3405                     L(i) = F(firstF)
3406                 Case ColType.ReboiledAbsorber
3407                     L(i) = F(firstF)
3408                 End Select
3409                 If L(i) = 0 Then L(i) = 0.00001
3410             End If
3411         End If
3412     If Me.UseCompositionEstimates Then

```

```

3411     j = 0
3412     For Each par As Parameter In Me.InitialEstimates.LiqCompositions(i).Values
3413         x(i)(j) = par.Value
3414         j = j + 1
3415     Next
3416     j = 0
3417     For Each par As Parameter In Me.InitialEstimates.VapCompositions(i).Values
3418         y(i)(j) = par.Value
3419         j = j + 1
3420     Next
3421     For j = 0 To nc - 1
3422         Kval(i)(j) = y(i)(j) / x(i)(j)
3423         z(i)(j) = zm(j)
3424     Next
3425 Else
3426     x(i) = pp.FlashBase.Flash_PT(zm, P(i), T(i), PropertyPackage)(2)
3427     y(i) = pp.FlashBase.Flash_PT(zm, P(i), T(i), PropertyPackage)(3)
3428     z(i) = zm
3429     For j = 0 To nc - 1
3430         Kval(i)(j) = y(i)(j) / x(i)(j)
3431     Next
3432     'Dim tmp As Object = pp.DW_CalcKvalue(zm, (T1 + T2) / 2, (P(0) + P(ns)) / 2)
3433     'For j = 0 To nc - 1
3434     '    fracv(i) = Me.CalcIdealVapFrac(zm, Pvap(i), P(i))
3435     '    If fracv(i) < 0 Then fracv(i) = 0.000001
3436     '    If fracv(i) > 1 Then fracv(i) = 0.999999
3437     '    y(i)(j) = zm(j) * idealK(i)(j) / ((idealK(i)(j) - 1) * fracv(i) + 1)
3438     '    x(i)(j) = y(i)(j) / idealK(i)(j)
3439     '    z(i)(j) = zm(j)
3440     'Next
3441     'Dim sumx, sumy As Double
3442     'sumx = 0
3443     'sumy = 0
3444     'For j = 0 To nc - 1
3445     '    sumx += x(i)(j)
3446     '    sumy += y(i)(j)
3447     'Next
3448     'For j = 0 To nc - 1
3449     '    x(i)(j) = x(i)(j) / sumx
3450     '    y(i)(j) = y(i)(j) / sumy
3451     'Next
3452     'For j = 0 To nc - 1
3453     '    Kval(i)(j) = idealK(i)(j)
3454     'Next
3455 End If
3456     i = i + 1
3457 Next
3458 Select Case Me.ColumnType
3459     Case ColType.DistillationColumn
3460         Q(0) = 0
3461         Q(ns) = 0
3462     Case ColType.ReboiledAbsorber
3463         Q(ns) = 0
3464     Case ColType.RefluxedAbsorber

```

```

3465             Q(0) = 0
3466         End Select
3467
3468     'store initial values
3469
3470     x0.Clear()
3471     y0.Clear()
3472     K0.Clear()
3473     For i = 0 To ns
3474         x0.Add(x(i))
3475         y0.Add(y(i))
3476         K0.Add(Kval(i))
3477     Next
3478     T0 = T
3479     P0 = P
3480     V0 = V
3481     L0 = L
3482     VSS0 = VSS
3483     LSS0 = LSS
3484
3485     'process specifications
3486     For Each sp As Auxiliary.SepOps.ColumnSpec In Me.Specs.Values
3487         If sp.SType = ColumnSpec.SpecType.Component_Fraction Or _
3488             sp.SType = ColumnSpec.SpecType.Component_Mass_Flow_Rate Or _
3489             sp.SType = ColumnSpec.SpecType.Component_Molar_Flow_Rate Or _
3490             sp.SType = ColumnSpec.SpecType.Component_Recovery Then
3491             i = 0
3492             For Each comp As DWSIM.ClassesBasicasTermodinamica.Substancia In stream.Fases
3493                 (0).Componentes.Values
3494                 If sp.ComponentID = comp.Nome Then sp.ComponentIndex = i
3495                 i = i + 1
3496             Next
3497         End If
3498         If sp.StageNumber = -1 And sp.SpecValue = Me.DistillateFlowRate Then
3499             sumF = 0
3500             Dim sumLSS As Double = 0
3501             Dim sumVSS As Double = 0
3502             For i = 0 To ns
3503                 sumF += F(i)
3504                 sumLSS += LSS(i)
3505                 sumVSS += VSS(i)
3506             Next
3507             sp.SpecValue = sumF - sumLSS - sumVSS - V(0)
3508             sp.StageNumber = 0
3509         End If
3510     Next
3511
3512     Dim result As Object
3513
3514     Select Case Me.SolvingMethod
3515         Case 0 'IO
3516             Dim rm As New SolvingMethods.RussellMethod
3517             result = rm.Solve(nc, ns, maxits, tol, F, V, Q, L, VSS, LSS, Kval, x, y, z, fc,
3518                             HF, T, P, Me.CondenserType, eff, Me.UseDampingFactor, Me.UseNewtonUpdate,

```

```

        Me.AdjustSb, Me.UseIdentityAsJacobianInverse, Me.ColumnType, Me.
        KbjWeightedAverage, pp, Me.Specs, Me.StoreAndReuseJacobian, Me.
        JacobianMatrix, Me.IO_NumericalDerivativeStep, Me.IO_MaxVarChgFac, Me.
        IO_DampingFactorMin, Me.IO_DampingFactorMax, Me.IO_ExtLoop_DeltaT,
        llextractor)
3517    ic = result(9)
3518    ec = result(11)
3519    Case 1 'BP
3520        result = SolvingMethods.WangHenkeMethod.Solve(nc, ns, maxits, tol, F, V, Q, L,
3521            VSS, LSS, Kval, x, y, z, fc, HF, T, P, Me.CondenserType, Me.
3522            StopAtIterationNumber, eff, Me.ColumnType, pp, Me.Specs)
3523        ic = result(9)
3524    Case 2 'SR
3525        result = SolvingMethods.BurninghamOttoMethod.Solve(nc, ns, maxits, tol, F, V, Q
3526            , L, VSS, LSS, Kval, x, y, z, fc, HF, T, P, Me.StopAtIterationNumber, eff,
3527            pp, Me.Specs, llextractor)
3528        ic = result(9)
3529    Case 3 'SC
3530        Dim scm As New SolvingMethods.NaphtaliSandholmMethod
3531        result = scm.Solve(nc, ns, maxits, tol, F, V, Q, L, VSS, LSS, Kval, x, y, z, fc
3532            , HF, T, P, Me.CondenserType, eff, Me.UseDampingFactor, Me.UseNewtonUpdate,
3533            Me.UseIdentityAsJacobianInverse, Me.ColumnType, pp, Me.Specs, Me.
3534            StoreAndReuseJacobian, Me.JacobianMatrix, Me.SC_DampingFactor, Me.
3535            SC_MaximumTemperatureChange, Me.SC_NumericalDerivativeStep, Me.
3536            SC_MaxVarChgFac, llextractor)
3537        ec = result(11)
3538    Case Else
3539        result = Nothing
3540    End Select
3541
3542    '{Tj, Vj, Lj, VSSj, LSSj, yc, xc, K, Q, ic, t_error}
3543
3544    Me.CondenserDuty = result(8)(0)
3545    Me.ReboilerDuty = result(8)(ns)
3546
3547    'store final values
3548    xf.Clear()
3549    yf.Clear()
3550    Kf.Clear()
3551    For i = 0 To ns
3552        yf.Add(result(5)(i))
3553        xf.Add(result(6)(i))
3554        If Me.SolvingMethod = SolvingMethods.DistColSolvingMethod.Russell_InsideOut Or _
3555        Me.SolvingMethod = SolvingMethods.DistColSolvingMethod.
3556            NaphtaliSandholm_SimultaneousCorrection Then
3557                Dim obj(nc - 1) As Double
3558                For j = 0 To nc - 1
3559                    obj(j) = result(7)(i, j)
3560                Next
3561                Kf.Add(obj)
3562                Me.JacobianMatrix = result(13)
3563            Else
3564                Kf.Add(result(7)(i))
3565            End If

```

```

3556     Next
3557     Tf = result(0)
3558     Vf = result(1)
3559     Lf = result(2)
3560     VSSf = result(3)
3561     LSSf = result(4)
3562     Q = result(8)

```

E.2. Archivo *Script parcial* RigorousColumnSolver.vb

```

52  <System.Serializable()> Public Class Tomich
53
54      Public Shared Function TDMA_solve(ByVal a As Double(), ByVal b As Double(), ByVal c As
55          Double(), ByVal d As Double()) As Double()
56
57          ' Warning: will modify c and d!
58
59          Dim n As Integer = d.Length
60          ' All arrays should be the same length
61          Dim x As Double() = New Double(n - 1) {}
62          Dim id As Double
63
64          ' Modify the coefficients.
65
66          c(0) /= b(0)
67          ' Division by zero risk.
68          d(0) /= b(0)
69          ' Division by zero would imply a singular matrix.
70          For i As Integer = 1 To n - 1
71              id = b(i) - c(i - 1) * a(i)
72              c(i) /= id
73              ' This calculation during the last iteration is redundant.
74              d(i) = (d(i) - d(i - 1) * a(i)) / id
75          Next
76
77          ' Now back substitute.
78
79          x(n - 1) = d(n - 1)
80          For i As Integer = n - 2 To 0 Step -1
81              x(i) = d(i) - c(i) * x(i + 1)
82          Next
83
84          Return x
85      End Function
86
87  End Class
88  <System.Serializable()> Public Class RussellMethod
89
90      Sub New()
91
92      End Sub
93

```

```

94
95  Private Function CalcKbj1(ByVal ns As Integer, ByVal nc As Integer, ByVal K(,) As
96      Object, -
97          ByVal z()() As Double, ByVal y()() As Double, ByVal T()
98          As Double, -
99          ByVal P() As Double, ByRef pp As PropertyPackages.
100         PropertyPackage) As Object
101
102
103     Dim i, j As Integer
104
105     Dim Kbj1(ns) As Object
106
107     For i = 0 To ns
108         Kbj1(i) = K(i, 0)
109         For j = 1 To nc - 1
110             If Abs(K(i, j) - 1) < Abs(Kbj1(i) - 1) And z(i)(j) <> 0 Then Kbj1(i) = K(i,
111                 j)
112             Next
113         Next
114
115         Return Kbj1
116
117     End Function
118
119
120
121
122
123
124
125
126
127
128
129
130
131
132
133
134
135
136
137
138
139

```

```

140      Next
141
142      For i = 0 To ns
143          If sumti(i) <> 0 Then
144              For j = 0 To nc - 1
145                  wi(i, j) = Abs(ti(i, j)) / sumti(i)
146              Next
147          Else
148              For j = 0 To nc - 1
149                  wi(i, j) = z(i)(j)
150              Next
151          End If
152      Next
153
154      For i = 0 To ns
155          Kbj1(i) = 0
156          For j = 0 To nc - 1
157              Kbj1(i) += wi(i, j) * Log(K(i, j))
158          Next
159          Kbj1(i) = Exp(Kbj1(i))
160          If Kbj1(i) < 0 Then
161              Kbj1(i) = K(i, 0)
162              For j = 1 To nc - 1
163                  If Abs(K(i, j) - 1) < Abs(Kbj1(i) - 1) Then Kbj1(i) = K(i, j)
164              Next
165          End If
166      Next
167
168      Return Kbj1
169
170  End Function
171
172  Dim ndeps As Double = 0.01
173
174  Dim _ns, _nc, _el As Integer
175  Dim _Bj, _Aj, _Cj, _Dj, _Ej, _Fj, _eff, _T_, _Tj, _Lj, _Vj, _LSSj, _VSSj, _LSS, _VSS,
176  _Rlj, _Rvj, _F, _P, _HF, _Q, Vjj As Double()
177  Dim _S, _alpha As Double,()
178  Dim _fc, _xc, _yc, _lc, _vc, _zc As Double()
179  Dim _Kbj As Object()
180  Dim _rr, _Sb, _maxF As Double
181  Dim _pp As PropertyPackages.PropertyPackage
182  Dim _coltype As Column.ColType
183  Dim _condtype As Column.condtype
184  Dim _bx, _dbx As Double()
185  Dim _vcnt, _lcnt As Integer
186  Dim _specs As Dictionary(Of String, SepOps.ColumnSpec)
187  Dim llextr As Boolean = False
188
189  Public Function FunctionValue(ByVal x() As Double) As Double()
190
191      Dim errors(x.Length - 1) As Double
192

```

```

193     Dim cv As New SistemasDeUnidades.Conversor
194     Dim spval1, spval2, spfval1, spfval2 As Double
195     Dim spci1, spci2 As Integer
196
197     spval1 = cv.ConverterParaSI(_specs("C").SpecUnit, _specs("C").SpecValue)
198     spci1 = _specs("C").ComponentIndex
199     spval2 = cv.ConverterParaSI(_specs("R").SpecUnit, _specs("R").SpecValue)
200     spci2 = _specs("R").ComponentIndex
201
202     Dim sum1(_ns) As Double
203     Dim i, j As Integer
204
205     For i = 0 To _ns
206         If i = 0 And _condtype <> Column.condtype.Full_Reflux Then
207             _Rlj(i) = Exp(x(i))
208         Else
209             For j = 0 To _nc - 1
210                 _S(i, j) = Exp(x(i)) * _alpha(i, j) * _Sb
211             Next
212         End If
213     Next
214
215     Dim m1, m2 As Integer
216     m1 = 0
217     m2 = 0
218
219     If _vcnt > 0 Then
220         For i = _ns + 1 To _vcnt + _ns
221             For j = m1 To _ns
222                 If _Rvj(j) <> 1 Then
223                     m1 = j + 1
224                     Exit For
225                 End If
226             Next
227             _Rvj(m1 - 1) = Exp(x(i))
228         Next
229     End If
230
231     If _lcnt > 0 Then
232         For i = _vcnt + _ns + 1 To _vcnt + _lcnt + _ns
233             For j = m2 + 1 To _ns
234                 If _Rlj(j) <> 1 Then
235                     m2 = j + 1
236                     Exit For
237                 End If
238             Next
239             _Rlj(m2 - 1) = Exp(x(i))
240         Next
241     End If
242     If _condtype = Column.condtype.Partial_Condenser Then
243         For j = 0 To _nc - 1
244             _S(0, j) = Exp(x(_el)) * _alpha(0, j) * _Sb
245         Next
246     End If

```

```

247     'step4
248
249     'find component liquid flows by the tridiagonal matrix method
250
251     Dim Bs(_ns, _nc - 1), Cs(_ns, _nc - 1) As Double
252     Dim at(_nc - 1)(), bt(_nc - 1)(), ct(_nc - 1)(), dt(_nc - 1)(), xt(_nc - 1)() As
253     Double
254
255     For i = 0 To _nc - 1
256         Array.Resize(at(i), _ns + 1)
257         Array.Resize(bt(i), _ns + 1)
258         Array.Resize(ct(i), _ns + 1)
259         Array.Resize(dt(i), _ns + 1)
260         Array.Resize(xt(i), _ns + 1)
261     Next
262
263     Dim ic0 As Integer = 0
264
265     For i = 0 To _ns
266         For j = 0 To _nc - 1
267             If i = 0 And _condtype = Column.condtype.Total_Condenser Then
268                 Bs(i, j) = -(_Rlj(i))
269             Else
270                 Bs(i, j) = -(_Rlj(i) + _S(i, j) * _Rvj(i))
271             End If
272             If i < _ns Then Cs(i, j) = _S(i + 1, j)
273         Next
274     Next
275     For i = 0 To _nc - 1
276         For j = 0 To _ns
277             dt(i)(j) = -_fc(j)(i) * _F(j)
278             bt(i)(j) = Bs(j, i)
279             If j < _ns Then ct(i)(j) = Cs(j, i)
280             If j > 0 Then at(i)(j) = 1
281         Next
282     Next
283
284     'solve matrices
285
286     'tomich
287     For i = 0 To _nc - 1
288         xt(i) = Tomich.TDMASolve(at(i), bt(i), ct(i), dt(i))
289     Next
290
291     For i = 0 To _ns
292         Array.Resize(_xc(i), _nc)
293         Array.Resize(_yc(i), _nc)
294         Array.Resize(_lc(i), _nc)
295         Array.Resize(_vc(i), _nc)
296         Array.Resize(_zc(i), _nc)
297     Next
298
299     'step5

```

```

300
301     For i = 0 To _ns
302         _Lj(i) = 0
303         For j = 0 To _nc - 1
304             _lc(i)(j) = xt(j)(i)
305             _Lj(i) += _lc(i)(j)
306             Next
307             'If _Lj(i) < 0 Then
308                 _Lj(i) = 1.0E-20
309             'End If
310             Next
311
312     For i = 0 To _ns
313         For j = 0 To _nc - 1
314             _xc(i)(j) = _lc(i)(j) / _Lj(i)
315             Next
316         Next
317
318     For i = _ns To 0 Step -1
319         _Vj(i) = 0
320         For j = 0 To _nc - 1
321             If i < _ns Then
322                 If _eff(i) <> 1.0 Then
323                     _vc(i)(j) = _eff(i) * (_S(i, j) * _lc(i)(j) - _vc(i + 1)(j) * _Vj(i)
324                     / _Vj(i + 1) + _vc(i + 1)(j) * _Vj(i) / _Vj(i + 1)
325                 Else
326                     _vc(i)(j) = _S(i, j) * _lc(i)(j)
327                 End If
328             Else
329                 _vc(i)(j) = _S(i, j) * _lc(i)(j)
330             End If
331             _Vj(i) += _vc(i)(j)
332             Next
333             'If _Vj(i) < 0 Then
334                 _Vj(i) = 1.0E-20
335             'End If
336             Next
337
338             'departures from product flows
339
340             Dim sumLSS As Double = 0
341             Dim sumVSS As Double = 0
342             Dim sumF As Double = 0
343             For i = 0 To _ns
344                 If i > 0 Then sumLSS += _LSSj(i)
345                 sumVSS += _VSSj(i)
346                 sumF += _F(i)
347             Next
348             If _condtype = Column.condtype.Total_Condenser Then
349                 _LSSj(0) = sumF - sumLSS - sumVSS - _Lj(_ns)
350                 _Rlj(0) = 1 + _LSSj(0) / _Lj(0)
351             ElseIf _condtype = Column.condtype.Partial_Condenser Then
352                 _LSSj(0) = sumF - sumLSS - sumVSS - _Vj(0) - _Lj(_ns)
353                 _Rlj(0) = 1 + _LSSj(0) / _Lj(0)

```

```

353     Else
354         _LSSj(0) = 0.0
355         _Rlj(0) = 1
356     End If
357     'If _Lj(0) <> 0 Or Not Double.IsNaN(_Lj(0)) Or Not Double.IsInfinity(_Lj(0)) Then
358     ' _Rlj(0) = 1 + _LSSj(0) / _Lj(0)
359     'Else
360     ' _Rlj(0) = 1
361     'End If
362
363     For i = 0 To _ns
364         _VSSj(i) = (_Rvj(i) - 1) * _Vj(i)
365         If i > 0 Then _LSSj(i) = (_Rlj(i) - 1) * _Lj(i)
366     Next
367
368     'For i = 0 To _ns
369     ' sum1(i) = 0
370     ' For j = 0 To i
371     ' sum1(i) += _F(j) - _LSSj(j) - _VSSj(j)
372     ' Next
373     'Next
374
375     ''Ljs
376     'For i = 0 To _ns
377     ' If i < _ns Then _Lj(i) = _Vj(i + 1) + sum1(i) - _Vj(0) Else _Lj(i) = sum1(i) -
378     ' _Vj(0)
379     ' If _Lj(i) < 0 Then
380     ' _Lj(i) = 0.0000000001
381     ' End If
382     'Next
383
384     For i = 0 To _ns
385         For j = 0 To _nc - 1
386             If _Vj(i) <> 0 Then
387                 _yc(i)(j) = _vc(i)(j) / _Vj(i)
388             Else
389                 _yc(i)(j) = _vc(i)(j)
390             End If
391             _zc(i)(j) = (_lc(i)(j) + _vc(i)(j)) / (_Lj(i) + _Vj(i))
392         Next
393     Next
394
395     Dim sum_axi(_ns) As Double
396
397     For i = 0 To _ns
398         sum_axi(i) = 0
399         For j = 0 To _nc - 1
400             sum_axi(i) += _alpha(i, j) * _xc(i)(j)
401         Next
402     Next
403
404     'step6
405     'calculate new temperatures

```

```

406
407     Dim _Tj_ant(_ns) As Double
408
409     For i = 0 To _ns
410         _Kbj(i) = 1 / sum_axi(i)
411         _Tj_ant(i) = _Tj(i)
412         _Tj(i) = _Bj(i) / (_Aj(i) - Log(_Kbj(i)))
413         If Abs(_Tj(i) - _Tj_ant(i)) > 100 Or Double.IsNaN(_Tj(i)) Or Double.IsInfinity(
414             _Tj(i)) Then
415             'switch to a bubble point temperature calculation...
416             Dim tmp = _pp.DW_CalcBubT(_xc(i), _P(i), _Tj(i), Nothing, False)
417             _Tj(i) = tmp(4)
418             CheckCalculatorStatus()
419         End If
420     Next
421
422     'step7
423
424     'calculate enthalpies
425
426     Dim Hv(_ns), Hl(_ns), Hidv(_ns), Hidl(_ns), DHv(_ns), DHl(_ns) As Double
427
428     For i = 0 To _ns
429         Hidv(i) = _pp.RET_Hid(298.15, _Tj(i), _yc(i))
430         Hidl(i) = _pp.RET_Hid(298.15, _Tj(i), _xc(i))
431         DHv(i) = _Cj(i) + _Dj(i) * (_Tj(i) - _T_(i))
432         DHl(i) = _Ej(i) + _Fj(i) * (_Tj(i) - _T_(i))
433         Hv(i) = (Hidv(i) + DHv(i)) * _pp.AUX_MMM(_yc(i)) / 1000
434         Hl(i) = (Hidl(i) + DHl(i)) * _pp.AUX_MMM(_xc(i)) / 1000
435         'If llextr Then
436             ' Hv(i) = _pp.DW_CalcEnthalpy(_yc(i), _Tj(i), _P(i), PropertyPackages.State.
437                 Liquid) * _pp.AUX_MMM(_yc(i)) / 1000
438         'Else
439             ' Hv(i) = _pp.DW_CalcEnthalpy(_yc(i), _Tj(i), _P(i), PropertyPackages.State.
440                 Vapor) * _pp.AUX_MMM(_yc(i)) / 1000
441         End If
442         'Hl(i) = _pp.DW_CalcEnthalpy(_xc(i), _Tj(i), _P(i), PropertyPackages.State.
443             Liquid) * _pp.AUX_MMM(_xc(i)) / 1000
444         CheckCalculatorStatus()
445     Next
446
447     'reboiler and condenser heat duties
448     Select Case _coltype
449         Case Column.ColType.DistillationColumn
450             If Not _specs("C").SType = ColumnSpec.SpecType.Heat_Duty Then
451                 _Q(0) = Hl(0) * _Rlj(0) * _Lj(0) + Hv(0) * _Rvj(0) * _Vj(0) - Hv(1) *
452                     _Vj(1) - _HF(0) * _F(0)
453                 _Q(0) = -_Q(0)
454             End If
455             If Not _specs("R").SType = ColumnSpec.SpecType.Heat_Duty Then
456                 _Q(_ns) = Hl(_ns) * _Rlj(_ns) * _Lj(_ns) + Hv(_ns) * _Rvj(_ns) * _Vj(
457                     _ns) - Hl(_ns - 1) * _Lj(_ns - 1) - _HF(_ns) * _F(_ns)
458                 _Q(_ns) = -_Q(_ns)
459             End If

```

```

454 Case Column.ColType.AbsorptionColumn
455   'use provided values
456 Case Column.ColType.RefluxedAbsorber
457   If Not _specs("C").SType = ColumnSpec.SpecType.Heat_Duty Then
458     _Q(0) = H1(0) * _Rlj(0) * _Lj(0) + Hv(0) * _Rvj(0) * _Vj(0) - Hv(1) *
459     _Vj(1) - _HF(0) * _F(0)
460     _Q(0) = -_Q(0)
461   End If
462 Case Column.ColType.ReboiledAbsorber
463   If Not _specs("R").SType = ColumnSpec.SpecType.Heat_Duty Then
464     _Q(_ns) = H1(_ns) * _Rlj(_ns) * _Lj(_ns) + Hv(_ns) * _Rvj(_ns) * _Vj(
465     _ns) - H1(_ns - 1) * _Lj(_ns - 1) - _HF(_ns) * _F(_ns)
466     _Q(_ns) = -_Q(_ns)
467   End If
468 End Select
469
470   'handle user specs
471
472   'Condenser Specs
473   Select Case _specs("C").SType
474     Case ColumnSpec.SpecType.Component_Fraction
475       If _condtype = Column.condtype.Total_Condenser Or _condtype = Column.
476         condtype.Partial_Condenser Then
477           If _specs("C").SpecUnit = "M" Then
478             spfval1 = _xc(0)(spci1) - spval1
479           Else 'W
480             spfval1 = _pp.AUX_CONVERT_MOL_TO_MASS(_xc(0))(spci1) - spval1
481           End If
482         Else
483           If _specs("C").SpecUnit = "M" Then
484             spfval1 = _yc(0)(spci1) - spval1
485           Else 'W
486             spfval1 = _pp.AUX_CONVERT_MOL_TO_MASS(_yc(0))(spci1) - spval1
487           End If
488         End If
489       End If
490     Case ColumnSpec.SpecType.Component_Mass_Flow_Rate
491       If _condtype = Column.condtype.Total_Condenser Or _condtype = Column.
492         condtype.Partial_Condenser Then
493           spfval1 = _LSSj(0) * _xc(0)(spci1) - spval1 / _pp.RET_VMM()(spci1) *
494             1000 / _maxF
495         Else
496           spfval1 = _Vj(0) * _yc(0)(spci1) - spval1 / _pp.RET_VMM()(spci1) * 1000
497             / _maxF
498         End If
499     Case ColumnSpec.SpecType.Component_Molar_Flow_Rate
500       If _condtype = Column.condtype.Total_Condenser Or _condtype = Column.
501         condtype.Partial_Condenser Then
502           spfval1 = _LSSj(0) * _xc(0)(spci1) - spval1 / _maxF
503         Else
504           spfval1 = _Vj(0) * _yc(0)(spci1) - spval1 / _maxF
505         End If
506     Case ColumnSpec.SpecType.Component_Recovery
507       Dim rec As Double = spval1 / 100
508       Dim sumc As Double = 0

```

```

501     For j = 0 To _ns
502         sumc += _fc(j)(spci1)
503     Next
504     sumc *= rec
505     If _condtype = Column.condtype.Total_Condenser Or _condtype = Column.
506         condtype.Partial_Condenser Then
507             If _specs("C").SpecUnit = "%_M/M" Then
508                 spfval1 = _xc(0)(spci1) * _LSSj(0) - sumc
509             Else '% W/W
510                 spfval1 = _pp.RET_VMM()(spci1) * 1000 * (_xc(0)(spci1) * _LSSj(0) -
511                     sumc)
512             End If
513         Else
514             If _specs("C").SpecUnit = "%_M/M" Then
515                 spfval1 = _yc(0)(spci1) * _Vj(0) - sumc
516             Else '% W/W
517                 spfval1 = _pp.RET_VMM()(spci1) * 1000 * (_yc(0)(spci1) * _Vj(0) -
518                     sumc)
519             End If
520         End If
521     Case ColumnSpec.SpecType.Heat_Duty
522         _Q(0) = spval1 / _maxF
523     Case ColumnSpec.SpecType.Product_Mass_Flow_Rate
524         If _condtype = Column.condtype.Total_Condenser Or _condtype = Column.
525             condtype.Partial_Condenser Then
526                 spfval1 = _LSSj(0) - spval1 / _pp.AUX_MMM(_xc(0)) * 1000 / _maxF
527             Else
528                 spfval1 = _Vj(0) - spval1 / _pp.AUX_MMM(_yc(0)) * 1000 / _maxF
529             End If
530     Case ColumnSpec.SpecType.Product_Molar_Flow_Rate
531         If _condtype = Column.condtype.Total_Condenser Or _condtype = Column.
532             condtype.Partial_Condenser Then
533                 spfval1 = _LSSj(0) - spval1 / _maxF
534             Else
535                 spfval1 = _Vj(0) - spval1 / _maxF
536             End If
537     Case ColumnSpec.SpecType.Stream_Ratio
538         If _condtype = Column.condtype.Total_Condenser Then
539             spfval1 = _Lj(0) - spval1 * _LSSj(0)
540         ElseIf _condtype = Column.condtype.Partial_Condenser Then
541             spfval1 = _Lj(0) - spval1 * (_LSSj(0) + _Vj(0))
542         Else
543             spfval1 = _Lj(0) - spval1 * _Vj(0)
544         End If
545     Case ColumnSpec.SpecType.Temperature
546         spfval1 = _Tj(0) - spval1
547     End Select
548
549     'Reboiler Specs
550     Select Case _specs("R").SType
551         Case ColumnSpec.SpecType.Component_Fraction
552             If _specs("R").SpecUnit = "M" Then
553                 spfval2 = _xc(_ns)(spci2) - spval2
554             Else 'W

```

```

550             spfval2 = _pp.AUX_CONVERT_MOL_TO_MASS(_xc(_ns))(spci2) - spval2
551         End If
552     Case ColumnSpec.SpecType.Component_Mass_Flow_Rate
553         spfval2 = _Lj(_ns) * _xc(_ns)(spci2) - spval2 / _pp.RET_VMM()(spci2) * 1000
554             / _maxF
555     Case ColumnSpec.SpecType.Component_Molar_Flow_Rate
556         spfval2 = _Lj(_ns) * _xc(_ns)(spci2) - spval2 / _maxF
557     Case ColumnSpec.SpecType.Component_Recovery
558         Dim rec As Double = spval2 / 100
559         Dim sumc As Double = 0
560         For j = 0 To _ns
561             sumc += _fc(j)(spci2)
562         Next
563         sumc *= rec
564         If _specs("R").SpecUnit = "%M/M" Then
565             spfval2 = _lc(_ns)(spci2) - sumc
566         Else ' % W/W
567             spfval2 = _pp.RET_VMM()(spci2) * 1000 * (_lc(_ns)(spci2) - sumc)
568         End If
569     Case ColumnSpec.SpecType.Heat_Duty
570         _Q(_ns) = spval2 / _maxF
571     Case ColumnSpec.SpecType.Product_Mass_Flow_Rate
572         spfval2 = _Lj(_ns) - spval2 / _pp.AUX_MMM(_xc(_ns)) * 1000 / _maxF
573     Case ColumnSpec.SpecType.Product_Molar_Flow_Rate
574         spfval2 = _Lj(_ns) - spval2 / _maxF
575     Case ColumnSpec.SpecType.Stream_Ratio
576         spfval2 = _Vj(_ns) - spval2 * _Lj(_ns)
577     Case ColumnSpec.SpecType.Temperature
578         spfval2 = _Tj(_ns) - spval2
579     End Select
580
581     'enthalpy balances
582
583     Dim entbal(_ns) As Double
584
585     For i = 0 To _ns
586         If i = 0 Then
587             entbal(i) = (Hl(i) * _Rlj(i) * _Lj(i) + Hv(i) * _Rvj(i) * _Vj(i) - Hv(i +
588             1) * _Vj(i + 1) - _HF(i) * _F(i) - _Q(i))
589         ElseIf i = _ns Then
590             entbal(i) = (Hl(i) * _Rlj(i) * _Lj(i) + Hv(i) * _Rvj(i) * _Vj(i) - Hl(i -
591             1) * _Lj(i - 1) - _HF(i) * _F(i) - _Q(i))
592         Else
593             entbal(i) = (Hl(i) * _Rlj(i) * _Lj(i) + Hv(i) * _Rvj(i) * _Vj(i) - Hl(i -
594             1) * _Lj(i - 1) - Hv(i + 1) * _Vj(i + 1) - _HF(i) * _F(i) - _Q(i))
595         End If
596         entbal(i) /= (Hv(i) - Hl(i))
597     Next
598
599     Select Case _coltype
600         Case Column.ColType.DistillationColumn
601             entbal(0) = spfval1
602             entbal(_ns) = spfval2
603         Case Column.ColType.AbsorptionColumn

```

```

600         'do nothing
601         Case Column.ColType.ReboiledAbsorber
602             entbal(_ns) = spfval2
603         Case Column.ColType.RefluxedAbsorber
604             entbal(0) = spfval1
605     End Select
606
607     For i = 0 To x.Length - 1
608         If i <= _ns Then
609             errors(i) = entbal(i)
610         ElseIf i > _ns And i <= _vcnt + _ns Then
611             For j = 0 To _ns
612                 If _Rvj(j) <> 1 Then
613                     errors(i) = (_VSS(j) - _VSSj(j)) '/ _VSS(j)
614                     i += 1
615                 End If
616             Next
617         End If
618         If i > _vcnt + _ns And i <= _vcnt + _lcnt + _ns Then
619             For j = 1 To _ns
620                 If _Rlj(j) <> 1 Then
621                     errors(i) = (_LSS(j) - _LSSj(j)) '/ _LSS(j)
622                     i += 1
623                 End If
624             Next
625         End If
626     Next
627     If _condtype = Column.condtype.Partial_Condenser Then errors(_el) = (_Vj(0) - Vjj
628     (0))
629     Return errors
630 End Function
631
632 Private Function FunctionGradient(ByVal x() As Double) As Double,()
633
634     Dim epsilon As Double = ndeps
635     Dim hs As Double
636     Dim f1(), f2() As Double
637     Dim g(x.Length - 1, x.Length - 1), x1(x.Length - 1), x2(x.Length - 1) As Double
638     Dim i, j, k As Integer
639
640     f1 = FunctionValue(x)
641     For i = 0 To x.Length - 1
642         For j = 0 To x.Length - 1
643             If i <> j Then
644                 'x1(j) = x(j)
645                 x2(j) = x(j)
646             Else
647                 'x1(j) = x(j)
648                 'x2(j) = x(j) * (1 + epsilon) + (epsilon / 2) ^ 2
649                 x2(j) = x(j) + epsilon
650             End If
651         Next
652         f2 = FunctionValue(x2)

```

```

653     For k = 0 To x.Length - 1
654         hs = epsilon
655         g(k, i) = (f2(k) - f1(k)) / hs
656     Next
657 Next
658
659     Return g
660
661 End Function
662
663 Public Function MinimizeError(ByVal t As Double) As Double
664
665     Dim cv As New SistemasDeUnidades.Conversor
666     Dim spval1, spval2, spfval1, spfval2 As Double
667     Dim spci1, spci2 As Integer
668
669     spval1 = cv.ConverterParaSI(_specs("C").SpecUnit, _specs("C").SpecValue)
670     spci1 = _specs("C").ComponentIndex
671     spval2 = cv.ConverterParaSI(_specs("R").SpecUnit, _specs("R").SpecValue)
672     spci2 = _specs("R").ComponentIndex
673
674     Dim sum1(_ns) As Double
675     Dim i, j As Integer
676
677     For i = 0 To _ns
678         If i = 0 And _condtype <> Column.condtype.Full_Reflux Then
679             _Rlj(i) = Exp(_bx(i) + _dbx(i) * t)
680         Else
681             For j = 0 To _nc - 1
682                 _S(i, j) = Exp(_bx(i) + _dbx(i) * t) * _alpha(i, j) * _Sb
683             Next
684         End If
685
686     Next
687
688     Dim m1, m2 As Integer
689
690     m1 = 0
691     m2 = 0
692
693     If _vcnt > 0 Then
694         For i = _ns + 1 To _vcnt + _ns
695             For j = m1 To _ns
696                 If _Rvj(j) <> 1 Then
697                     m1 = j + 1
698                     Exit For
699                 End If
700             Next
701             _Rvj(m1 - 1) = Exp(_bx(i) + _dbx(i) * t)
702         Next
703     End If
704
705     If _lcnt > 0 Then
706         For i = _vcnt + _ns + 1 To _vcnt + _lcnt + _ns

```

```

707     For j = m2 + 1 To _ns
708         If _Rlj(j) <> 1 Then
709             m2 = j + 1
710             Exit For
711         End If
712     Next
713     _Rlj(m2 - 1) = Exp(_bx(i) + _dbx(i) * t)
714     Next
715 End If
716 If _condtype = Column.condtype.Partial_Condenser Then
717     For j = 0 To _nc - 1
718         _S(0, j) = Exp(_bx(_el) + _dbx(_el) * t) * _alpha(0, j) * _Sb
719     Next
720 End If
721
722 'step4
723
724 'find component liquid flows by the tridiagonal matrix method
725
726 Dim Bs(_ns, _nc - 1), Cs(_ns, _nc - 1) As Double
727 Dim at(_nc - 1)(), bt(_nc - 1)(), ct(_nc - 1)(), dt(_nc - 1)(), xt(_nc - 1)() As
    Double
728
729 For i = 0 To _nc - 1
730     Array.Resize(at(i), _ns + 1)
731     Array.Resize(bt(i), _ns + 1)
732     Array.Resize(ct(i), _ns + 1)
733     Array.Resize(dt(i), _ns + 1)
734     Array.Resize(xt(i), _ns + 1)
735 Next
736
737 Dim ic0 As Integer = 0
738
739 For i = 0 To _ns
740     For j = 0 To _nc - 1
741         If i = 0 And _condtype = Column.condtype.Total_Condenser Then
742             Bs(i, j) = -(_Rlj(i))
743         Else
744             Bs(i, j) = -(_Rlj(i) + _S(i, j) * _Rvj(i))
745         End If
746         If i < _ns Then Cs(i, j) = _S(i + 1, j)
747     Next
748 Next
749
750 For i = 0 To _nc - 1
751     For j = 0 To _ns
752         dt(i)(j) = -_fc(j)(i) * _F(j)
753         bt(i)(j) = Bs(j, i)
754         If j < _ns Then ct(i)(j) = Cs(j, i)
755         If j > 0 Then at(i)(j) = 1
756     Next
757 Next
758
759 'solve matrices

```

```

760
761     'tomich
762     For i = 0 To _nc - 1
763         xt(i) = Tomich.TDMASolve(at(i), bt(i), ct(i), dt(i))
764         CheckCalculatorStatus()
765     Next
766
767     For i = 0 To _ns
768         Array.Resize(_xc(i), _nc)
769         Array.Resize(_yc(i), _nc)
770         Array.Resize(_lc(i), _nc)
771         Array.Resize(_vc(i), _nc)
772         Array.Resize(_zc(i), _nc)
773     Next
774
775     'step5
776
777     For i = 0 To _ns
778         _Lj(i) = 0
779         For j = 0 To _nc - 1
780             'lc(i)(j) = lm(j)(i, 0)
781             _lc(i)(j) = xt(j)(i)
782             'If _lc(i)(j) < 0 Then _lc(i)(j) = 0
783             _Lj(i) += _lc(i)(j)
784         Next
785         'If _Lj(i) < 0 Then _Lj(i) = 0.000000001
786     Next
787     For i = 0 To _ns
788         _Vj(i) = 0
789         For j = 0 To _nc - 1
790             _xc(i)(j) = _lc(i)(j) / _Lj(i)
791             'If Double.IsNaN(_xc(i)(j)) Then _xc(i)(j) = 0
792         Next
793     Next
794
795     For i = _ns To 0 Step -1
796         _Vj(i) = 0
797         For j = 0 To _nc - 1
798             If i < _ns Then
799                 If _eff(i) <> 1.0 Then
800                     _vc(i)(j) = _eff(i) * (_S(i, j) * _lc(i)(j) - _vc(i + 1)(j) * _Vj(i)
801                         / _Vj(i + 1)) + _vc(i + 1)(j) * _Vj(i) / _Vj(i + 1)
802                 Else
803                     _vc(i)(j) = _S(i, j) * _lc(i)(j)
804                 End If
805             Else
806                 _vc(i)(j) = _S(i, j) * _lc(i)(j)
807             End If
808             'If _vc(i)(j) < 0 Or Double.IsNaN(_vc(i)(j)) Then _vc(i)(j) = 0
809             _Vj(i) += _vc(i)(j)
810         Next
811         'If _Vj(i) < 0 Then _Vj(i) = 0.000000001
812     Next

```

```

813
814     'departures from product flows
815
816     Dim sumLSS As Double = 0
817     Dim sumVSS As Double = 0
818     Dim sumF As Double = 0
819     For i = 0 To _ns
820         If i > 0 Then sumLSS += _LSSj(i)
821         sumVSS += _VSSj(i)
822         sumF += _F(i)
823     Next
824     If _condtype = Column.condtype.Total_Condenser Then
825         _LSSj(0) = sumF - sumLSS - sumVSS - _Lj(_ns)
826         _Rlj(0) = 1 + _LSSj(0) / _Lj(0)
827     ElseIf _condtype = Column.condtype.Partial_Condenser Then
828         _LSSj(0) = sumF - sumLSS - sumVSS - _Vj(0) - _Lj(_ns)
829         _Rlj(0) = 1 + _LSSj(0) / _Lj(0)
830     Else
831         _LSSj(0) = 0.0
832         _Rlj(0) = 1
833     End If
834     'If _Lj(0) <> 0 Or Not Double.IsNaN(_Lj(0)) Or Not Double.IsInfinity(_Lj(0)) Then
835     '    _Rlj(0) = 1 + _LSSj(0) / _Lj(0)
836     'Else
837     '    _Rlj(0) = 1
838     'End If
839
840     For i = 0 To _ns
841         _VSSj(i) = (_Rvj(i) - 1) * _Vj(i)
842         If i > 0 Then _LSSj(i) = (_Rlj(i) - 1) * _Lj(i)
843     Next
844
845     'For i = 0 To _ns
846     '    sum1(i) = 0
847     '    For j = 0 To i
848     '        sum1(i) += _F(j) - _LSSj(j) - _VSSj(j)
849     '    Next
850     'Next
851
852     ''Ljs
853     'For i = 0 To _ns
854     '    If i < _ns Then _Lj(i) = _Vj(i + 1) + sum1(i) - _Vj(0) Else _Lj(i) = sum1(i) -
855     '        _Vj(0)
856     'Next
857
858     For i = 0 To _ns
859         For j = 0 To _nc - 1
860             If _Vj(i) <> 0 Then
861                 _yc(i)(j) = _vc(i)(j) / _Vj(i)
862             Else
863                 _yc(i)(j) = _vc(i)(j)
864             End If
865             _zc(i)(j) = (_lc(i)(j) + _vc(i)(j)) / (_Lj(i) + _Vj(i))
866     Next

```

```

866     Next
867
868     Dim sum_axi(_ns) As Double
869
870     For i = 0 To _ns
871         sum_axi(i) = 0
872         For j = 0 To _nc - 1
873             sum_axi(i) += _alpha(i, j) * _xc(i)(j)
874         Next
875     Next
876
877     'step6
878
879     'calculate new temperatures
880
881     Dim _Tj0(_ns) As Double
882
883     For i = 0 To _ns
884         _Kbj(i) = 1 / sum_axi(i)
885         _Tj0(i) = _Tj(i)
886         _Tj(i) = _Bj(i) / (_Aj(i) - Log(_Kbj(i)))
887         If Double.IsNaN(_Tj(i)) Or _Tj(i) = 0 Then _Tj(i) = _T_(i)
888     Next
889
890     'step7
891
892     'calculate enthalpies
893
894     Dim Hv(_ns), Hl(_ns), Hidv(_ns), Hidl(_ns), DHv(_ns), DHl(_ns) As Double
895
896     For i = 0 To _ns
897         Hidv(i) = _pp.RET_Hid(298.15, _Tj(i), _yc(i))
898         Hidl(i) = _pp.RET_Hid(298.15, _Tj(i), _xc(i))
899         DHv(i) = _Cj(i) + _Dj(i) * (_Tj(i) - _T_(i))
900         DHl(i) = _Ej(i) + _Fj(i) * (_Tj(i) - _T_(i))
901         Hv(i) = (Hidv(i) + DHv(i)) * _pp.AUX_MMM(_yc(i)) / 1000
902         Hl(i) = (Hidl(i) + DHl(i)) * _pp.AUX_MMM(_xc(i)) / 1000
903         'If llextr Then
904             ' Hv(i) = _pp.DW_CalcEnthalpy(_yc(i), _Tj(i), _P(i), PropertyPackages.State.
905             ' Liquid) * _pp.AUX_MMM(_yc(i)) / 1000
906             ' Else
907             ' Hv(i) = _pp.DW_CalcEnthalpy(_yc(i), _Tj(i), _P(i), PropertyPackages.State.
908             ' Vapor) * _pp.AUX_MMM(_yc(i)) / 1000
909             ' End If
910             ' Hl(i) = _pp.DW_CalcEnthalpy(_xc(i), _Tj(i), _P(i), PropertyPackages.State.
911             ' Liquid) * _pp.AUX_MMM(_xc(i)) / 1000
912             CheckCalculatorStatus()
913
914             Select Case _coltype
915                 Case Column.ColType.DistillationColumn
916                     If Not _specs("C").SType = ColumnSpec.SpecType.Heat_Duty Then
917                         _Q(0) = Hl(0) * _Rlj(0) * _Lj(0) + Hv(0) * _Rvj(0) * _Vj(0) - Hv(1) *

```

```

917           _Vj(1) - _HF(0) * _F(0)
918           _Q(0) = -_Q(0)
919           End If
920           If Not _specs("R").SType = ColumnSpec.SpecType.Heat_Duty Then
921               _Q(_ns) = H1(_ns) * _Rlj(_ns) * _Lj(_ns) + Hv(_ns) * _Rvj(_ns) * _Vj(_ns)
922               _ns) - H1(_ns - 1) * _Lj(_ns - 1) - _HF(_ns) * _F(_ns)
923               _Q(_ns) = -_Q(_ns)
924           End If
925           Case Column.ColType.AbsorptionColumn
926               'use provided values
927           Case Column.ColType.RefluxedAbsorber
928               If Not _specs("C").SType = ColumnSpec.SpecType.Heat_Duty Then
929                   _Q(0) = H1(0) * _Rlj(0) * _Lj(0) + Hv(0) * _Rvj(0) * _Vj(0) - Hv(1) *
930                   _Vj(1) - _HF(0) * _F(0)
931                   _Q(0) = -_Q(0)
932               End If
933               Case Column.ColType.ReboiledAbsorber
934               If Not _specs("R").SType = ColumnSpec.SpecType.Heat_Duty Then
935                   _Q(_ns) = H1(_ns) * _Rlj(_ns) * _Lj(_ns) + Hv(_ns) * _Rvj(_ns) * _Vj(_ns)
936                   _ns) - H1(_ns - 1) * _Lj(_ns - 1) - _HF(_ns) * _F(_ns)
937                   _Q(_ns) = -_Q(_ns)
938               End If
939           End Select
940           'enthalpy balances
941           Dim entbal(_ns) As Double
942           'handle user specs
943           'Condenser Specs
944           Select Case _specs("C").SType
945               Case ColumnSpec.SpecType.Component_Fraction
946                   If _condtype = Column.condtype.Total_Condenser Or _condtype = Column.
947                       condtype.Partial_Condenser Then
948                           If _specs("C").SpecUnit = "M" Then
949                               spfval1 = _xc(0)(spci1) - spval1
950                           Else 'W
951                               spfval1 = _pp.AUX_CONVERT_MOL_TO_MASS(_xc(0))(spci1) - spval1
952                           End If
953                           Else
954                               If _specs("C").SpecUnit = "M" Then
955                                   spfval1 = _yc(0)(spci1) - spval1
956                               Else 'W
957                                   spfval1 = _pp.AUX_CONVERT_MOL_TO_MASS(_yc(0))(spci1) - spval1
958                               End If
959                           End If
960                           Case ColumnSpec.SpecType.Component_Mass_Flow_Rate
961                               If _condtype = Column.condtype.Total_Condenser Or _condtype = Column.
962                                   condtype.Partial_Condenser Then
963                                   spfval1 = _LSSj(0) * _xc(0)(spci1) - spval1 / _pp.RET_VMM()(spci1) *
964                                       1000 / _maxF
965                               Else
966                                   spfval1 = _Vj(0) * _yc(0)(spci1) - spval1 / _pp.RET_VMM()(spci1) * 1000

```

```

        / _maxF
964  End If
965  Case ColumnSpec.SpecType.Component_Molar_Flow_Rate
966      If _condtype = Column.condtype.Total_Condenser Or _condtype = Column.
967          condtype.Partial_Condenser Then
968              spfval1 = _LSSj(0) * _xc(0)(spci1) - spval1 / _maxF
969      Else
970          spfval1 = _Vj(0) * _yc(0)(spci1) - spval1 / _maxF
971  End If
972  Case ColumnSpec.SpecType.Component_Recovery
973      Dim rec As Double = spval1 / 100
974      Dim sumc As Double = 0
975      For j = 0 To _ns
976          sumc += _fc(j)(spci1)
977      Next
978      sumc *= rec
979      If _condtype = Column.condtype.Total_Condenser Or _condtype = Column.
980          condtype.Partial_Condenser Then
981          If _specs("C").SpecUnit = "%_M/M" Then
982              spfval1 = _xc(0)(spci1) * _LSSj(0) - sumc
983          Else ' % W/W
984              spfval1 = _pp.RET_VMM()(spci1) * 1000 * (_xc(0)(spci1) * _LSSj(0) -
985                  sumc)
986          End If
987      Else
988          If _specs("C").SpecUnit = "%_M/M" Then
989              spfval1 = _yc(0)(spci1) * _Vj(0) - sumc
990          Else ' % W/W
991              spfval1 = _pp.RET_VMM()(spci1) * 1000 * (_yc(0)(spci1) * _Vj(0) -
992                  sumc)
993          End If
994  End If
995  Case ColumnSpec.SpecType.Heat_Duty
996      _Q(0) = spval1 / _maxF
997  Case ColumnSpec.SpecType.Product_Mass_Flow_Rate
998      If _condtype = Column.condtype.Total_Condenser Or _condtype = Column.
999          condtype.Partial_Condenser Then
1000          spfval1 = _LSSj(0) - spval1 / _pp.AUX_MMM(_xc(0)) * 1000 / _maxF
1001      Else
1002          spfval1 = _Vj(0) - spval1 / _pp.AUX_MMM(_yc(0)) * 1000 / _maxF
1003  End If
1004  Case ColumnSpec.SpecType.Product_Molar_Flow_Rate
1005      If _condtype = Column.condtype.Total_Condenser Or _condtype = Column.
1006          condtype.Partial_Condenser Then
1007              spfval1 = _LSSj(0) - spval1 / _maxF
1008      Else
1009          spfval1 = _Vj(0) - spval1 / _maxF
1010  End If
1011  Case ColumnSpec.SpecType.Stream_Ratio
1012      If _condtype = Column.condtype.Total_Condenser Then
1013          spfval1 = _Lj(0) - spval1 * _LSSj(0)
1014      ElseIf _condtype = Column.condtype.Partial_Condenser Then
1015          spfval1 = _Lj(0) - spval1 * (_LSSj(0) + _Vj(0))
1016      Else

```

```

1011         spfval1 = _Lj(0) - spval1 * _Vj(0)
1012     End If
1013     Case ColumnSpec.SpecType.Temperature
1014         spfval1 = _Tj(0) - spval1
1015     End Select
1016
1017     'Reboiler Specs
1018     Select Case _specs("R").SType
1019         Case ColumnSpec.SpecType.Component_Fraction
1020             If _specs("R").SpecUnit = "M" Then
1021                 spfval2 = _xc(_ns)(spci2) - spval2
1022             Else 'W
1023                 spfval2 = _pp.AUX_CONVERT_MOL_TO_MASS(_xc(_ns))(spci2) - spval2
1024             End If
1025         Case ColumnSpec.SpecType.Component_Mass_Flow_Rate
1026             spfval2 = _Lj(_ns) * _xc(_ns)(spci2) - spval2 / _pp.RET_VMM()(spci2) * 1000
1027             / _maxF
1028         Case ColumnSpec.SpecType.Component_Molar_Flow_Rate
1029             spfval2 = _Lj(_ns) * _xc(_ns)(spci2) - spval2 / _maxF
1030         Case ColumnSpec.SpecType.Component_Recovery
1031             Dim rec As Double = spval2 / 100
1032             Dim sumc As Double = 0
1033             For j = 0 To _ns
1034                 sumc += _fc(j)(spci2)
1035             Next
1036             sumc *= rec
1037             If _specs("R").SpecUnit = "%M/M" Then
1038                 spfval2 = _lc(_ns)(spci2) - sumc
1039             Else '% W/W
1040                 spfval2 = _pp.RET_VMM()(spci2) * 1000 * (_lc(_ns)(spci2) - sumc)
1041             End If
1042         Case ColumnSpec.SpecType.Heat_Duty
1043             _Q(_ns) = spval2 / _maxF
1044         Case ColumnSpec.SpecType.Product_Mass_Flow_Rate
1045             spfval2 = _Lj(_ns) - spval2 / _pp.AUX_MMM(_xc(_ns)) * 1000 / _maxF
1046         Case ColumnSpec.SpecType.Product_Molar_Flow_Rate
1047             spfval2 = _Lj(_ns) - spval2 / _maxF
1048         Case ColumnSpec.SpecType.Stream_Ratio
1049             spfval2 = _Vj(_ns) - spval2 * _Lj(_ns)
1050         Case ColumnSpec.SpecType.Temperature
1051             spfval2 = _Tj(_ns) - spval2
1052     End Select
1053
1054     For i = 0 To _ns
1055         If i = 0 Then
1056             entbal(i) = (Hl(i) * _Rlj(i) * _Lj(i) + Hv(i) * _Rvj(i) * _Vj(i) - Hv(i +
1057             1) * _Vj(i + 1) - _HF(i) * _F(i) - _Q(i))
1058         ElseIf i = _ns Then
1059             entbal(i) = (Hl(i) * _Rlj(i) * _Lj(i) + Hv(i) * _Rvj(i) * _Vj(i) - Hl(i -
1060             1) * _Lj(i - 1) - _HF(i) * _F(i) - _Q(i))
1061         Else
1062             entbal(i) = (Hl(i) * _Rlj(i) * _Lj(i) + Hv(i) * _Rvj(i) * _Vj(i) - Hl(i -
1063             1) * _Lj(i - 1) - Hv(i + 1) * _Vj(i + 1) - _HF(i) * _F(i) - _Q(i))
1064     End If

```

```

1061         entbal(i) = entbal(i) / (Hv(i) - Hl(i))
1062         Select Case _coltype
1063             Case Column.ColType.DistillationColumn
1064                 entbal(0) = spfval1
1065                 entbal(_ns) = spfval2
1066             Case Column.ColType.AbsorptionColumn
1067                 'do nothing
1068             Case Column.ColType.ReboiledAbsorber
1069                 entbal(_ns) = spfval2
1070             Case Column.ColType.RefluxedAbsorber
1071                 entbal(0) = spfval1
1072         End Select
1073     Next
1074
1075     For i = 0 To _ns
1076         _Tj(i) = _Tj0(i)
1077     Next
1078     Dim errors(_bx.Length - 1) As Double
1079
1080     For i = 0 To _bx.Length - 1
1081         If i <= _ns Then
1082             errors(i) = entbal(i)
1083         ElseIf i > _ns And i <= _vcnt + _ns Then
1084             For j = 0 To _ns
1085                 If _Rvj(j) <> 1 Then
1086                     errors(i) = (_VSS(j) - _VSSj(j)) '/ _VSS(j)
1087                     i += 1
1088                 End If
1089             Next
1090         End If
1091         If i > _vcnt + _ns And i <= _vcnt + _lcnt + _ns Then
1092             For j = 1 To _ns
1093                 If _Rlj(j) <> 1 Then
1094                     errors(i) = (_LSS(j) - _LSSj(j)) '/ _LSS(j)
1095                     i += 1
1096                 End If
1097             Next
1098         End If
1099     Next
1100     If _condtype = Column.condtype.Partial_Condenser Then errors(_el) = (_Vj(0) - Vjj(0))
1101
1102     Dim il_err As Double = 0
1103     For i = 0 To _el
1104         il_err += errors(i) ^ 2
1105     Next
1106
1107     Return il_err
1108
1109 End Function
1110
1111 Public Function Solve(ByVal nc As Integer, ByVal ns As Integer, ByVal maxits As
1112     Integer, _
1113             ByVal tol As Array, ByVal F As Array, ByVal V As Array, _

```

```

1113     ByVal Q As Array, ByVal L As Array, _
1114     ByVal VSS As Array, ByVal LSS As Array, ByVal Kval()() As Double
1115         , -
1116         ByVal x()() As Double, ByVal y()() As Double, ByVal z()() As
1117         Double, -
1118         ByVal fc()() As Double, -
1119         ByVal HF As Array, ByVal T As Array, ByVal P As Array, -
1120         ByVal condt As DistillationColumn.condtype, -
1121         ByVal eff() As Double, -
1122         ByVal UseDampingFactor As Boolean, -
1123         ByVal UseNewtonUpdate As Boolean, -
1124         ByVal AdjustSb As Boolean, ByVal UseIJ As Boolean, -
1125         ByVal coltype As Column.ColType, ByVal KbjWA As Boolean, -
1126         ByVal pp As PropertyPackages.PropertyPackage, -
1127         ByVal specs As Dictionary(Of String, SepOps.ColumnSpec), -
1128         ByVal reuseJ As Boolean, ByVal jac0 As Object, -
1129         ByVal epsilon As Double, -
1130         ByVal maxvarchgfac As Integer, -
1131         ByVal dfmin As Double, ByVal dfmax As Double, -
1132         ByVal deltat_el As Double, -
1133         Optional ByVal llex As Boolean = False) As Object
1134
1135     Dim doparallel As Boolean = My.Settings.EnableParallelProcessing
1136     Dim poptions As New ParallelOptions() With {.MaxDegreeOfParallelism = My.Settings.
1137         MaxDegreeOfParallelism}
1138
1139     llextr = llex 'liq-liq extractor
1140     ndeps = epsilon
1141
1142     Dim brentsolver As New BrentOpt.BrentMinimize
1143     brentsolver.DefineFuncDelegate(AddressOf MinimizeError)
1144
1145     Dim cv As New SistemasDeUnidades.Conversor
1146     Dim spval1, spval2 As Double
1147     Dim spci1, spci2 As Integer
1148
1149     spval1 = cv.ConverterParaSI(specs("C").SpecUnit, specs("C").SpecValue)
1150     spci1 = specs("C").ComponentIndex
1151     spval2 = cv.ConverterParaSI(specs("R").SpecUnit, specs("R").SpecValue)
1152     spci2 = specs("R").ComponentIndex
1153
1154     _ns = ns
1155     _nc = nc
1156
1157     Dim ic, ec, iic As Integer
1158     Dim Tj(ns), Tj_ant(ns), T_(ns) As Double
1159     Dim Lj(ns), Vj(ns), xc(ns)(), yc(ns)(), lc(ns)(), vc(ns)(), zc(ns)() As Double
1160     Dim sum1(ns) As Double
1161     Dim i, j, w, m1, m2 As Integer
1162
1163     'step0
1164     'normalize initial estimates

```

```

1164
1165     Dim maxF As Double = Common.Max(F)
1166
1167     For i = 0 To ns
1168         F(i) = F(i) / maxF
1169         HF(i) = HF(i) / 1000
1170         L(i) = L(i) / maxF
1171         V(i) = V(i) / maxF
1172         LSS(i) = LSS(i) / maxF
1173         VSS(i) = VSS(i) / maxF
1174         Q(i) = Q(i) / maxF
1175     Next
1176
1177     'step1
1178
1179     Dim sumF As Double = 0
1180     Dim sumLSS As Double = 0
1181     Dim sumVSS As Double = 0
1182     For i = 0 To ns
1183         sumF += F(i)
1184         If i > 0 Then sumLSS += LSS(i)
1185         sumVSS += VSS(i)
1186     Next
1187
1188     Dim B As Double
1189     If condt = Column.condtype.Total_Condenser Then
1190         B = sumF - sumLSS - sumVSS - LSS(0)
1191     ElseIf condt = Column.condtype.Partial_Condenser Then
1192         B = sumF - sumLSS - sumVSS - V(0) - LSS(0)
1193     Else
1194         B = sumF - sumLSS - sumVSS - V(0)
1195     End If
1196
1197     'step2
1198
1199     Dim lsi, vsi As New ArrayList
1200     Dim el As Integer
1201
1202     'size jacobian
1203
1204     el = ns
1205     For i = 0 To ns
1206         If VSS(i) <> 0 Then
1207             el += 1
1208             vsi.Add(i)
1209         End If
1210         If LSS(i) <> 0 And i > 0 Then
1211             el += 1
1212             lsi.Add(i)
1213         End If
1214     Next
1215     If condt = Column.condtype.Partial_Condenser Then el += 1
1216
1217     Dim hes(el, el) As Double

```

```

1218 Dim bx(el), bxb(el), bf(el), bfb(el), bp(el), bp_ant(el) As Double
1219
1220 Dim f1(el), f2(el), f3(el), f4(el) As Double
1221 Dim u As Integer = 0
1222
1223 'find Kbref
1224
1225 Dim Kbj(ns), Kbj_ant(ns) As Object
1226 Dim K(ns, nc - 1), K_ant(ns, nc - 1), K2j(ns, nc - 1) As Object
1227
1228 Dim Kw1(ns)(), Kw2(ns)() As Object
1229 Dim wi(ns, nc - 1), ti(ns, nc - 1), sumwi(ns), sumti(ns) As Double
1230 For i = 0 To ns
1231     Array.Resize(Kw1(i), nc)
1232     Array.Resize(Kw2(i), nc)
1233 Next
1234
1235 Dim tmp0 As Object = Nothing
1236
1237 For i = 0 To ns
1238     If Not llextr Then tmp0 = pp.DW_CalcKvalue(z(i), T(i), P(i))
1239     For j = 0 To nc - 1
1240         If Not llextr Then K(i, j) = tmp0(j) Else K(i, j) = Kval(i)(j)
1241         If Double.IsNaN(K(i, j)) Or Double.IsInfinity(K(i, j)) Or K(i, j) = 0 Then
1242             K(i, j) = pp.AUX_PVAPI(j, T(i)) / P(i)
1243             Next
1244             CheckCalculatorStatus()
1245             Next
1246             If KbjWA = False Then
1247                 Kbj = CalcKbj1(ns, nc, K, z, y, T, P, pp)
1248             Else
1249                 Kbj = CalcKbj2(ns, nc, K, z, y, T, P, pp)
1250             End If
1251
1252 'relative volatilities
1253
1254 Dim alpha(ns, nc - 1), alpha_ant(ns, nc - 1) As Double
1255
1256 For i = 0 To ns
1257     For j = 0 To nc - 1
1258         alpha(i, j) = K(i, j) / Kbj(i)
1259     Next
1260 Next
1261
1262 'initialize A/B/C/D/E/F
1263
1264 Dim Kbj1(ns), Kbj2(ns) As Object
1265 Dim Tj1(ns), Tj2(ns), Aj(ns), Bj(ns), Cj(ns), Dj(ns), Ej(ns), Fj(ns) As Double
1266 Dim Aj_ant(ns), Bj_ant(ns), Cj_ant(ns), Dj_ant(ns), Ej_ant(ns), Fj_ant(ns) As
1267     Double
1268 Dim Hl1(ns), Hl2(ns), Hv1(ns), Hv2(ns) As Double
1269 Dim K2(ns)() As Double
1270 Dim Hv(ns), Hl(ns), DHv(ns), DHl(ns), Hidv(ns), Hidl(ns) As Double

```

```

1270
1271     For i = 0 To ns
1272         T_(i) = T(i) - 1
1273         Tj(i) = T(i)
1274         'Kbjs, Ts
1275         Tj1(i) = T(i)
1276         Tj2(i) = T(i) + 1
1277         Kbj1(i) = Kbj(i)
1278         'new Ks
1279         If llextr Then
1280             K2(i) = pp.DW_CalcKvalue(x(i), y(i), Tj2(i), P(i), "LL")
1281             Hv1(i) = pp.DW_CalcEnthalpyDeparture(y(i), Tj1(i), P(i), PropertyPackages.
1282                 State.Liquid)
1282             Hv2(i) = pp.DW_CalcEnthalpyDeparture(y(i), Tj2(i), P(i), PropertyPackages.
1283                 State.Liquid)
1283         Else
1284             K2(i) = pp.DW_CalcKvalue(x(i), y(i), Tj2(i), P(i))
1285             Hv1(i) = pp.DW_CalcEnthalpyDeparture(y(i), Tj1(i), P(i), PropertyPackages.
1285                 State.Vapor)
1286             Hv2(i) = pp.DW_CalcEnthalpyDeparture(y(i), Tj2(i), P(i), PropertyPackages.
1286                 State.Vapor)
1287         End If
1288         Hl1(i) = pp.DW_CalcEnthalpyDeparture(x(i), Tj1(i), P(i), PropertyPackages.State
1288             .Liquid)
1289         Hl2(i) = pp.DW_CalcEnthalpyDeparture(x(i), Tj2(i), P(i), PropertyPackages.State
1289             .Liquid)
1290         For j = 0 To nc - 1
1291             K2j(i, j) = K2(i)(j)
1292             If Double.IsNaN(K2(i)(j)) Or Double.IsInfinity(K2(i)(j)) Then K2(i)(j) = pp
1292                 .AUX_PVAPi(j, T(i)) / P(i)
1293             Next
1294         Next
1295
1296         If KbjWA = False Then
1297             Kbj2 = CalcKbj1(ns, nc, K2j, z, y, Tj2, P, pp)
1298         Else
1299             Kbj2 = CalcKbj2(ns, nc, K2j, z, y, Tj2, P, pp)
1300         End If
1301
1302         For i = 0 To ns
1303             Bj(i) = Log(Kbj1(i) / Kbj2(i)) / (1 / Tj2(i) - 1 / Tj1(i))
1304             Aj(i) = Log(Kbj1(i)) + Bj(i) * (1 / Tj1(i))
1305             Dj(i) = (Hv1(i) - Hv2(i)) / (Tj1(i) - Tj2(i))
1306             Cj(i) = Hv1(i) - Dj(i) * (Tj1(i) - T_(i))
1307             Fj(i) = (Hl1(i) - Hl2(i)) / (Tj1(i) - Tj2(i))
1308             Ej(i) = Hl1(i) - Fj(i) * (Tj1(i) - T_(i))
1309         Next
1310
1311         'external loop
1312
1313         Dim Sb, sbf, sbf_ant, sbf_ant2, sbx, sbx_ant, sbx_ant2, fval As Double
1314         Dim SbOK As Boolean = True
1315         Dim BuildingJacobian As Boolean = False
1316

```

```

1317 If AdjustSb Then SbOK = False
1318
1319 Sb = 1
1320
1321 Dim el_err As Double = 0.0#
1322 Dim el_err_ant As Double = 0.0#
1323 Dim il_err As Double = 0.0#
1324 Dim il_err_ant As Double = 0.0#
1325
1326 'independent variables -> stripping and withdrawal factors
1327
1328 Dim Sbj(ns), lnSbj0(ns), lnSbj(ns), S(ns, nc - 1) As Double
1329 Dim Rvj(ns), Rlj(ns), lnRvj(ns), lnRlj(ns), lnRvj0(ns), lnRlj0(ns) As Double
1330 Dim VSSj(ns), LSSj(ns), PSbj As Double
1331 Dim NSS As Integer = ns + 1
1332 'Calculo de Sbj, Rlj y Rvj del Lazo Externo
1333
1334 For i = 0 To ns
1335     Sbj(i) = Kbj(i) * V(i) / L(i)
1336 Next
1337 If AdjustSb Then
1338     SbOK = False
1339     PSbj = 1
1340     For i = 0 To ns
1341         If i = 0 And condt = Column.condtype.Total_Condenser Then
1342             NSS -= 1
1343         Else
1344             PSbj *= Sbj(i)
1345         End If
1346     Next
1347     Sb = PSbj ^ (1 / (NSS))
1348 Else
1349     Sb = 1
1350 End If
1351
1352 For i = 0 To ns
1353     If Sbj(i) = 0 Then Sbj(i) = 1.0E-20
1354     lnSbj(i) = Log(Sbj(i))
1355     If V(i) <> 0 Then Rvj(i) = 1 + VSS(i) / V(i) Else Rvj(i) = 1
1356     lnRvj(i) = Log(Rvj(i))
1357     If L(i) <> 0 Then Rlj(i) = 1 + LSS(i) / L(i) Else Rlj(i) = 1
1358     lnRlj(i) = Log(Rlj(i))
1359     For j = 0 To nc - 1
1360         S(i, j) = Sbj(i) * alpha(i, j) * Sb
1361     Next
1362 Next
1363
1364 Dim vcnt, lcnt As Integer
1365
1366 vcnt = 0
1367 For i = 0 To ns
1368     If lnRvj(i) <> 0 And Not Double.IsInfinity(lnRvj(i)) Then
1369         vcnt += 1
1370     End If

```

```

1371     Next
1372
1373     lcnt = 0
1374     For i = 1 To ns
1375         If lnRlj(i) <> 0 And Not Double.IsInfinity(lnRlj(i)) Then
1376             lcnt += 1
1377         End If
1378     Next
1379
1380     'internal loop
1381
1382     Dim check1 As Boolean = False
1383     Dim num, denom, x0, fx0 As New ArrayList
1384
1385     w = 0
1386
1387 1: Dim ic0 As Integer = 0
1388
1389     Do
1390
1391         If Not SbOK Then
1392
1393             sbf_ant2 = sbf_ant
1394             sbf_ant = sbf
1395
1396             sumF = 0
1397             sumLSS = 0
1398             sumVSS = 0
1399             For j = 0 To _ns
1400                 sumF += F(j)
1401                 If j > 0 Then sumLSS += LSS(j)
1402                 sumVSS += VSS(j)
1403             Next
1404
1405             sbf = sumF - sumLSS - sumVSS - V(0) - L(ns) - LSS(0)
1406
1407             sbx_ant2 = sbx_ant
1408             sbx_ant = sbx
1409
1410             If ic0 > 1 Then
1411                 If Abs((-sbf * (sbx - sbx_ant2) / (sbf - sbf_ant2)) / sbx) > 1 Then
1412                     sbx = sbx_ant2 * 1.01
1413                 Else
1414                     sbx = sbx - sbf * (sbx - sbx_ant2) / (sbf - sbf_ant2)
1415                 End If
1416             Else
1417                 sbx = Sb * 1.01
1418             End If
1419
1420             If sbx < 0 Then sbx = Abs(sbx)
1421
1422             Sb = sbx
1423
1424             For i = 0 To ns

```

```

1425             Sbj(i) = Kbj(i) * V(i) / L(i)
1426             If Sbj(i) = 0 Then Sbj(i) = 1.0E-20
1427             lnSbj(i) = Log(Sbj(i))
1428             If V(i) <> 0 Then Rvj(i) = 1 + VSS(i) / V(i) Else Rvj(i) = 1
1429             lnRvj(i) = Log(Rvj(i))
1430             If L(i) <> 0 Then Rlj(i) = 1 + LSS(i) / L(i) Else Rlj(i) = 1
1431             lnRlj(i) = Log(Rlj(i))
1432             For j = 0 To nc - 1
1433                 S(i, j) = Sbj(i) * alpha(i, j) * Sb
1434                 Next
1435             Next
1436         End If
1437
1438         If SbOK Then Exit Do
1439
1440         If sbx > 10 Then Sb = sbx_ant2
1441
1442         ic0 += 1
1443
1444         CheckCalculatorStatus()
1445
1446         If Double.IsNaN(sbf) Then Throw New Exception(DWSIM.App.GetLocalizedString("
1447             DCSbError"))
1448
1449         Loop Until Abs(sbf) < 0.001
1450
1451         SbOK = True
1452         Dim fx(el), dfdx(el, el), dfdx_ant(el, el), dx(el), xvar(el), xvar_ant(el), itol
1453             As Double
1454         Dim jac As New Mapack.Matrix(el + 1, el + 1), hesm As New Mapack.Matrix(el + 1, el
1455             + 1)
1456         Dim perturb As Boolean = False, bypass As Boolean = False
1457
1458         ec = 0
1459         ic = 0
1460         Do
1461
1462             'step3
1463
1464
1465             For i = 0 To ns
1466                 'store initial values
1467                 lnSbj0(i) = lnSbj(i)
1468                 lnRvj0(i) = lnRvj(i)
1469                 lnRlj0(i) = lnRlj(i)
1470             Next
1471
1472             'update inner loop parameters
1473
1474             Dim lnSbj_ant(ns), lnRvj_ant(ns), lnRlj_ant(ns), df, df_ant, xlowbound As
1475                 Double

```

```

1475
1476      df_ant = df
1477
1478      _Bj = Bj.Clone
1479      _Aj = Aj.Clone
1480      _Cj = Cj.Clone
1481      _Dj = Dj.Clone
1482      _Ej = Ej.Clone
1483      _Fj = Fj.Clone
1484      _eff = eff.Clone
1485      _Tj = Tj.Clone
1486      _T_ = T_.Clone
1487      _Lj = Lj.Clone
1488      _Vj = Vj.Clone
1489      Vjj = V.Clone
1490      _LSSj = LSS.Clone
1491      _VSSj = VSS.Clone
1492      _LSS = LSS.Clone
1493      _VSS = VSS.Clone
1494      _Rlj = Rlj.Clone
1495      _Rvj = Rvj.Clone
1496      _F = F.Clone
1497      _P = P.Clone
1498      _HF = HF.Clone
1499      _Q = Q.Clone
1500      _S = S.Clone
1501      _condtype = condt
1502      _alpha = alpha.Clone
1503      _fc = fc.Clone
1504      _xc = xc.Clone
1505      _yc = yc.Clone
1506      _lc = lc.Clone
1507      _vc = vc.Clone
1508      _zc = zc.Clone
1509      _Kbj = Kbj.Clone
1510      _pp = pp
1511      _coltype = coltype
1512      _bx = bx.Clone
1513      _dbx = bp.Clone
1514      _Sb = Sb
1515      _vcnt = vcnt
1516      _lcnt = lcnt
1517      _specs = specs
1518      _maxF = maxF
1519      _el = el
1520
1521      'solve using newton's method
1522
1523      For i = 0 To ns
1524          If i = 0 And condtype <> Column.condtype.Full_Reflux Then
1525              xvar(i) = lnRlj(i)
1526          Else
1527              xvar(i) = lnSbj(i)
1528          End If

```

```

1529     Next
1530
1531     m1 = 0
1532
1533     If vcnt > 0 Then
1534         For i = ns + 1 To vcnt + ns
1535             For j = m1 To ns
1536                 If Rvj(j) <> 1 Then
1537                     m1 = j + 1
1538                     Exit For
1539                 End If
1540             Next
1541             xvar(i) = lnRvj(m1 - 1)
1542         Next
1543     End If
1544
1545     m2 = 0
1546
1547     If lcnt > 0 Then
1548         For i = vcnt + ns + 1 To vcnt + lcnt + ns
1549             For j = m2 + 1 To ns
1550                 If Rlj(j) <> 1 Then
1551                     m2 = j + 1
1552                     Exit For
1553                 End If
1554             Next
1555             xvar(i) = lnRlj(m2 - 1)
1556         Next
1557     End If
1558     If condt = Column.condtype.Partial_Condenser Then xvar(el) = lnSbj(0)
1559
1560     ic0 = 0
1561
1562     'first run (to initialize variables)
1563     'fx = Me.FunctionValue(xvar)
1564
1565     Do
1566
1567     restart: fx = Me.FunctionValue(xvar)
1568         If UseNewtonUpdate Then
1569             dfdx_ant = dfdx
1570             dfdx = Me.FunctionGradient(xvar)
1571             Dim success As Boolean
1572             success = MathEx.SysLin.rsolve.rmatrixsolve(dfdx, fx, el + 1, dx)
1573             If Not success Then
1574                 dfdx = dfdx_ant
1575                 success = MathEx.SysLin.rsolve.rmatrixsolve(dfdx, fx, el + 1, dx)
1576             End If
1577             For i = 0 To el
1578                 dx(i) = -dx(i)
1579             Next
1580             _bx = xvar.Clone
1581             _dbx = dx.Clone
1582         Else

```

```

1583     If ic = 0 Then
1584         If UseIJ Then
1585             For i = 0 To el
1586                 For j = 0 To el
1587                     If i = j Then hes(i, j) = 1 Else hes(i, j) = 0
1588                 Next
1589             Next
1590         Else
1591             dfdx = Me.FunctionGradient(xvar)
1592             For i = 0 To el
1593                 For j = 0 To el
1594                     jac(i, j) = dfdx(i, j)
1595                 Next
1596             Next
1597             hesm = jac.Inverse
1598             For i = 0 To el
1599                 For j = 0 To el
1600                     hes(i, j) = hesm(i, j)
1601                 Next
1602             Next
1603         End If
1604         bx = xvar
1605         bf = fx
1606         Broyden.broydn(el, bx, bf, bp, bxb, bfb, hes, 0)
1607         dx = bp
1608     Else
1609         bx = xvar
1610         bf = fx
1611         Broyden.broydn(el, bx, bf, bp, bxb, bfb, hes, 1)
1612         dx = bp
1613     End If
1614     _bx = xvar.Clone
1615     _dbx = bp.Clone
1616 End If
1617
1618 'this call to the brent solver calculates the damping factor which
1619     minimizes the error (fval).
1620     itol = tol(0) * ns
1621     df = 1
1622     If UseDampingFactor Then fval = brentsolver.brentoptimize(dfmin, dfmax, tol
1623     (0), df)
1624
1625     perturb = False
1626     bypass = False
1627     xlowbound = 0.1
1628     For i = 0 To el
1629         xvar_ant(i) = xvar(i)
1630         xvar(i) += dx(i) * df
1631
1632         'If Abs((dx(i) * df) / xvar_ant(i)) > 10 Then
1633             'perturb = True
1634             'xvar(i) = xvar_ant(i) - df * (xvar_ant(i) - xlowbound) * 0.5
1635         'End If
1636         'If Double.IsNaN(dx(i)) Or Double.IsInfinity(dx(i)) Then

```

```

1635          , bypass = True
1636          'End If
1637          Next
1638
1639          'If perturb Then
1640          ' For i = 0 To el
1641          ' xvar(i) = xvar_ant(i) * (1 + 0.3 * Math.Sign(dx(i)))
1642          ' Next
1643          'End If
1644
1645          'If bypass Then
1646          ' For i = 0 To el
1647          ' xvar(i) = xvar_ant(i) * 0.95
1648          ' Next
1649          'End If
1650
1651
1652          il_err_ant = il_err
1653
1654          il_err = 0
1655          For i = 0 To el
1656              il_err += fx(i) ^ 2
1657          Next
1658
1659          ic += 1
1660          ic0 += 1
1661
1662          'If bypass Then GoTo restart
1663
1664          If ic0 >= maxits Then Throw New Exception(DWSIM.App.GetLocalString("DCMaxIterationsReached"))
1665          If Double.IsNaN(il_err) Then Throw New Exception(DWSIM.App.GetLocalString("DCGeneralError"))
1666          If MathEx.Common.AbsSum(dx) = 0.0# Or Abs((il_err - il_err_ant) / il_err) <
1667              itol Then Exit Do
1668
1669
1670          CheckCalculatorStatus()
1671
1672          Loop Until il_err < itol
1673
1674          For i = 0 To ns
1675              If i = 0 And _condtype = Column.condtype.Total_Condenser Then
1676                  lnRlj_ant(i) = lnRlj(i)
1677                  lnRlj(i) = xvar(i)
1678                  Rlj(i) = Exp(lnRlj(i))
1679              Else
1680                  lnSbj_ant(i) = lnSbj(i)
1681                  lnSbj(i) = xvar(i)
1682                  Sbj(i) = Exp(lnSbj(i))
1683                  For j = 0 To nc - 1
1684                      S(i, j) = Sbj(i) * alpha(i, j) * Sb
1685                      Next
1686          End If

```

```

1686      Next
1687
1688      m1 = 0
1689
1690      If vcnt > 0 Then
1691          For i = ns To vcnt + ns
1692              For j = m1 To ns
1693                  If Rvj(j) <> 1 Then
1694                      m1 = j + 1
1695                      Exit For
1696                  End If
1697              Next
1698              lnRvj_ant(m1 - 1) = lnRvj(m1 - 1)
1699              lnRvj(m1 - 1) = xvar(i)
1700              Rvj(m1 - 1) = Exp(lnRvj(m1 - 1))
1701          Next
1702      End If
1703
1704      m2 = 0
1705
1706      If lcnt > 0 Then
1707          For i = vcnt + ns + 1 To vcnt + lcnt + ns
1708              For j = m2 + 1 To ns
1709                  If Rlj(j) <> 1 Then
1710                      m2 = j + 1
1711                      Exit For
1712                  End If
1713              Next
1714              lnRlj_ant(m2 - 1) = lnRlj(m2 - 1)
1715              lnRlj(m2 - 1) = xvar(i)
1716              Rlj(m2 - 1) = Exp(lnRlj(m2 - 1))
1717          Next
1718      End If
1719      If condt = Column.condtype.Partial_Condenser Then
1720          lnSbj_ant(0) = lnSbj(0)
1721          lnSbj(0) = xvar(e1)
1722          Sbj(0) = Exp(lnSbj(0))
1723          For j = 0 To nc - 1
1724              S(0, j) = Sbj(0) * alpha(0, j) * Sb
1725          Next
1726      End If
1727      ic += 1
1728      iic += 1
1729
1730      'step9 (external loop)
1731
1732      Tj_ant = Tj.Clone
1733      Tj = _Tj.Clone
1734      T_ = _T_.Clone
1735      Lj = _Lj.Clone
1736      Vj = _Vj.Clone
1737      Q = _Q.Clone
1738      LSSj = _LSSj.Clone
1739      VSSj = _VSSj.Clone

```

```

1740         xc = _xc.Clone
1741         yc = _yc.Clone
1742         lc = _lc.Clone
1743         vc = _vc.Clone
1744         zc = _zc.Clone
1745         Kbj = _Kbj.Clone
1746
1747         For i = 0 To ns
1748
1749             T_(i) = Tj(i)
1750             Tj1(i) = Tj(i)
1751             Tj2(i) = Tj(i) + deltat_el * (i + 1)
1752
1753         Next
1754
1755         'update external loop variables using rigorous models
1756
1757         el_err_ant = el_err
1758         el_err = 0
1759
1760         Dim tmp(ns) As Object
1761
1762         If doparallel Then
1763             If My.Settings.EnableGPUProcessing Then
1764                 My.MyApplication.gpu.EnableMultithreading()
1765             End If
1766             My.MyApplication.IsRunningParallelTasks = True
1767             Dim task1 As Task = Task.Factory.StartNew(Sub() Parallel.For(0, ns + 1,
1768                                         poptions,
1769                                         Sub(ipar)
1770                                         If llext Then
1771                                             tmp(ipar) = pp.DW_CalcKvalue(xc
1772                                             (ipar), yc(ipar), Tj(ipar),
1773                                             P(ipar), "LL")
1774                                         Else
1775                                             tmp(ipar) = pp.DW_CalcKvalue(xc
1776                                             (ipar), yc(ipar), Tj(ipar),
1777                                             P(ipar))
1778                                         End If
1779                                         End Sub))
1780
1781             While Not task1.IsCompleted
1782                 Application.DoEvents()
1783             End While
1784             For i = 0 To ns
1785                 For j = 0 To nc - 1
1786                     K_ant(i, j) = K(i, j)
1787                     K(i, j) = tmp(i)(j)
1788                 Next
1789                 Kbj_ant(i) = Kbj(i)
1790             Next
1791             My.MyApplication.IsRunningParallelTasks = False
1792             If My.Settings.EnableGPUProcessing Then
1793                 My.MyApplication.gpu.DisableMultithreading()
1794                 My.MyApplication.gpu.FreeAll()

```

```

1789     End If
1790
1791     For i = 0 To ns
1792         If llextr Then
1793             tmp(i) = pp.DW_CalcKvalue(xc(i), yc(i), Tj(i), P(i), "LL")
1794         Else
1795             tmp(i) = pp.DW_CalcKvalue(xc(i), yc(i), Tj(i), P(i))
1796         End If
1797         For j = 0 To nc - 1
1798             K_ant(i, j) = K(i, j)
1799             K(i, j) = tmp(i)(j)
1800         Next
1801         Kbj_ant(i) = Kbj(i)
1802     Next
1803 End If
1804
1805 If KbjWA = False Then
1806     Kbj1 = CalcKbj1(ns, nc, K, zc, yc, Tj1, P, pp)
1807 Else
1808     Kbj1 = CalcKbj2(ns, nc, K, zc, yc, Tj1, P, pp)
1809 End If
1810 'Kbj1 = Kbj
1811 Kbj = Kbj1
1812
1813 'update relative volatilities
1814
1815 For i = 0 To ns
1816     For j = 0 To nc - 1
1817         alpha_ant(i, j) = alpha(i, j)
1818         alpha(i, j) = K(i, j) / Kbj(i)
1819         el_err += Abs((alpha(i, j) - alpha_ant(i, j)) / alpha_ant(i, j)) ^ 2
1820     Next
1821 Next
1822
1823 For i = 0 To ns
1824     Sbj(i) = Kbj(i) * Vj(i) / Lj(i)
1825     If Sbj(i) = 0.0# Then Sbj(i) = 1.0E-20
1826     lnSbj(i) = Log(Sbj(i))
1827     If Vj(i) <> 0 Then Rvj(i) = 1 + VSSj(i) / Vj(i) Else Rvj(i) = 1
1828     lnRvj(i) = Log(Rvj(i))
1829     If Lj(i) <> 0 Then Rlj(i) = 1 + LSSj(i) / Lj(i) Else Rlj(i) = 1
1830     lnRlj(i) = Log(Rlj(i))
1831     For j = 0 To nc - 1
1832         S(i, j) = Sbj(i) * alpha(i, j) * Sb
1833     Next
1834 Next
1835
1836 'update A/B/C/D/E/F
1837
1838 If doparallel Then
1839     My.MyApplication.IsRunningParallelTasks = True
1840     If My.Settings.EnableGPUProcessing Then
1841         My.MyApplication.gpu.EnableMultithreading()
1842     End If

```

```

1843     Dim task1 As Task = Task.Factory.StartNew(Sub() Parallel.For(0, ns + 1,
1844         poptions,
1845             Sub(ipar)
1846                 'new Ks
1847                 K2(ipar) = pp.DW_CalcKvalue(xc(ipar),
1848                     , yc(ipar), Tj2(ipar), P(ipar)
1849                     )
1850             End Sub))
1851     While Not task1.IsCompleted
1852         Application.DoEvents()
1853     End While
1854     For i = 0 To ns
1855         For j = 0 To nc - 1
1856             K2j(i, j) = K2(i)(j)
1857             If Double.IsNaN(K2(i)(j)) Or Double.IsInfinity(K2(i)(j)) Then K2(i)(
1858                 j) = pp.AUX_PVAPi(j, Tj(i)) / P(i)
1859             Next
1860         Next
1861     My.MyApplication.IsRunningParallelTasks = False
1862     If My.Settings.EnableGPUProcessing Then
1863         My.MyApplication.gpu.DisableMultithreading()
1864         My.MyApplication.gpu.FreeAll()
1865     End If
1866     Else
1867         For i = 0 To ns
1868             'new Ks
1869             K2(i) = pp.DW_CalcKvalue(xc(i), yc(i), Tj2(i), P(i))
1870             For j = 0 To nc - 1
1871                 K2j(i, j) = K2(i)(j)
1872                 If Double.IsNaN(K2(i)(j)) Or Double.IsInfinity(K2(i)(j)) Then K2(i)(
1873                     j) = pp.AUX_PVAPi(j, Tj(i)) / P(i)
1874                 Next
1875             Next
1876         If doparallel Then
1877             My.MyApplication.IsRunningParallelTasks = True
1878             If My.Settings.EnableGPUProcessing Then
1879                 My.MyApplication.gpu.EnableMultithreading()
1880             End If
1881             Dim task1 As Task = Task.Factory.StartNew(Sub() Parallel.For(0, ns + 1,
1882                 poptions,
1883                     Sub(ipar)
1884                         'enthalpies
1885                         If llextr Then
1886                             Hv1(ipar) = pp.

```

```

1887 DW_CalcEnthalpyDeparture(
1888 yc(ipar), Tj2(ipar), P(
1889 ipar), PropertyPackages.
1890 State.Liquid)
1891 Else
1892 Hv1(ipar) = pp.
1893 DW_CalcEnthalpyDeparture(
1894 yc(ipar), Tj1(ipar), P(
1895 ipar), PropertyPackages.
1896 State.Vapor)
1897 Hv2(ipar) = pp.
1898 DW_CalcEnthalpyDeparture(
1899 yc(ipar), Tj2(ipar), P(
1900 ipar), PropertyPackages.
1901 State.Vapor)
1902 End If
1903 H11(ipar) = pp.
1904 DW_CalcEnthalpyDeparture(xc(
1905 ipar), Tj1(ipar), P(ipar),
1906 PropertyPackages.State.Liquid)
1907 H12(ipar) = pp.
1908 DW_CalcEnthalpyDeparture(xc(
1909 ipar), Tj2(ipar), P(ipar),
1910 PropertyPackages.State.Liquid)
1911 End Sub))
1912
1913 While Not task1.IsCompleted
1914 Application.DoEvents()
1915 End While
1916 My.MyApplication.IsRunningParallelTasks = False
1917 If My.Settings.EnableGPUProcessing Then
1918 My.MyApplication.gpu.DisableMultithreading()
1919 My.MyApplication.gpu.FreeAll()
1920 End If
1921 Else
1922 For i = 0 To ns
1923
1924 'enthalpies
1925 If llextr Then
1926 Hv1(i) = pp.DW_CalcEnthalpyDeparture(yc(i), Tj1(i), P(i),
1927 PropertyPackages.State.Liquid)
1928 Hv2(i) = pp.DW_CalcEnthalpyDeparture(yc(i), Tj2(i), P(i),
1929 PropertyPackages.State.Liquid)
1930 Else
1931 Hv1(i) = pp.DW_CalcEnthalpyDeparture(yc(i), Tj1(i), P(i),
1932 PropertyPackages.State.Vapor)
1933 Hv2(i) = pp.DW_CalcEnthalpyDeparture(yc(i), Tj2(i), P(i),
1934 PropertyPackages.State.Vapor)
1935 End If
1936 H11(i) = pp.DW_CalcEnthalpyDeparture(xc(i), Tj1(i), P(i),
1937 PropertyPackages.State.Liquid)
1938 H12(i) = pp.DW_CalcEnthalpyDeparture(xc(i), Tj2(i), P(i),
1939 PropertyPackages.State.Liquid)
1940
1941 Next

```

```

1917     End If
1918
1919     If KbjWA = False Then
1920         Kbj2 = CalcKbj1(ns, nc, K2j, zc, yc, Tj2, P, pp)
1921     Else
1922         Kbj2 = CalcKbj2(ns, nc, K2j, zc, yc, Tj2, P, pp)
1923     End If
1924
1925     Dim Aerr(ns), Berr(ns) As Double
1926
1927     For i = 0 To ns
1928         Bj_ant(i) = Bj(i)
1929         Bj(i) = Log(Kbj1(i) / Kbj2(i)) / (1 / Tj2(i) - 1 / Tj1(i))
1930         Berr(i) = Bj(i) - Bj_ant(i)
1931         Aj_ant(i) = Aj(i)
1932         Aj(i) = Log(Kbj1(i)) + Bj(i) * (1 / Tj1(i))
1933         Aerr(i) = Aj(i) - Aj_ant(i)
1934         Dj_ant(i) = Dj(i)
1935         Dj(i) = (Hv1(i) - Hv2(i)) / (Tj1(i) - Tj2(i))
1936         Cj_ant(i) = Cj(i)
1937         Cj(i) = Hv1(i) - Dj(i) * (Tj1(i) - T_(i))
1938         Fj_ant(i) = Fj(i)
1939         Fj(i) = (Hl1(i) - Hl2(i)) / (Tj1(i) - Tj2(i))
1940         Ej_ant(i) = Ej(i)
1941         Ej(i) = Hl1(i) - Fj(i) * (Tj1(i) - T_(i))
1942     Next
1943
1944     ec += 1
1945
1946     If ec >= maxits Then Throw New Exception(DWSIM.App.GetLocalString("DCMaxIterationsReached"))
1947     If Double.IsNaN(el_err) Then Throw New Exception(DWSIM.App.GetLocalString("DCGeneralError"))
1948
1949     If AdjustSb Then SbOK = False
1950     Sb = 1
1951
1952     CheckCalculatorStatus()
1953
1954     Loop Until Abs(el_err) < tol(1) * el
1955
1956     If Abs(il_err) > tol(0) * ns Then
1957         My.Application.ActiveSimulation.WriteLine("The sum of squared absolute errors (internal loop) isn't changing anymore. Final value is " & il_err & ".", Color.Green, FormClasses.TipoAviso.Aviso)
1958     End If
1959
1960     ' finished, de-normalize and return arrays
1961
1962     For i = 0 To ns
1963         Lj(i) = Lj(i) * maxF
1964         Vj(i) = Vj(i) * maxF
1965         LSSj(i) = LSSj(i) * maxF
1966         VSSj(i) = VSSj(i) * maxF

```

```

1967     F(i) = F(i) * maxF
1968     L(i) = L(i) * maxF
1969     V(i) = V(i) * maxF
1970     LSS(i) = LSS(i) * maxF
1971     VSS(i) = VSS(i) * maxF
1972     Q(i) = Q(i) * maxF
1973     Next
1974
1975     If Not UseNewtonUpdate Then
1976         For i = 0 To el
1977             For j = 0 To el
1978                 hesm(i, j) = hes(i, j)
1979             Next
1980         Next
1981         jac = hesm.Inverse
1982         For i = 0 To el
1983             For j = 0 To el
1984                 dfdx(i, j) = jac(i, j)
1985             Next
1986         Next
1987     End If
1988
1989     Return New Object() {Tj, Vj, Lj, VSSj, LSSj, yc, xc, K, Q, ic, il_err, ec, el_err,
1990                     dfdx}
1991 End Function
1992
1993 End Class

```

www.bdigital.ula.ve